

11-165
АЗАРБАЙЧАН ССР ЕЛМЛЭР АКАДЕМИЈАСЫ
АКАДЕМИЯ НАУК АЗЕРБАЙДЖАНСКОЙ ССР

МӨРҮЗЭЛЭР ДОКЛАДЫ

ТОМ XXVI ЧИЛД

6

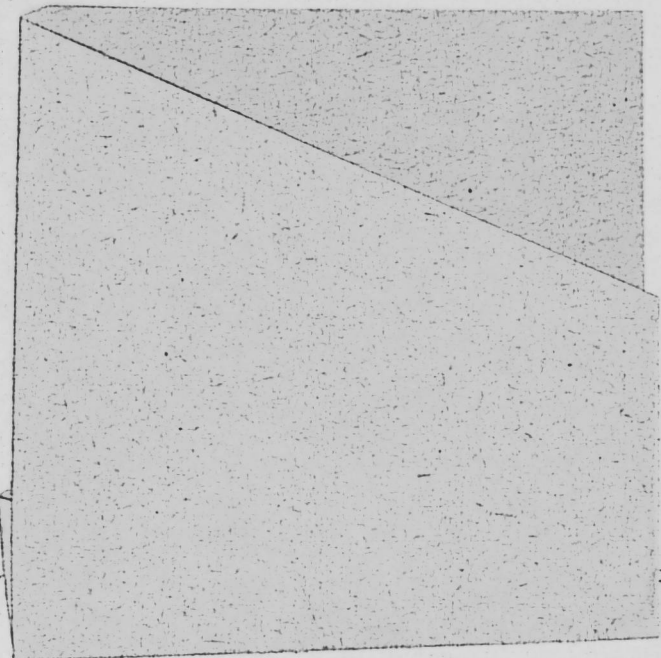
«ЕЛМ» НЭШРИЈАТЫ
ИЗДАТЕЛЬСТВО «ЭЛМ»
БАКЫ—1970—БАКУ

АЗӘРБАЙЧАН ССР ЕЛМЛӘР АКАДЕМИЯСЫ
АКАДЕМИЯ НАУК АЗЕРБАЙДЖАНСКОЙ ССР

МӘ'РҮЗӘЛӘР ДОКЛАДЫ

ТОМ XXVI ЧИЛД

№ 6



Азәрбайҹан ССР Елмләр Академиясының 1970-жылдың 20-мартында өткөн мә’рүзәләр докладының 26-томчыгы. Бул томда мә’рүзәләр докладының 6-нчы чилдің туралы мағлұматтар берилген. Академияның мә’рүзәләр докладының 6-нчы чилдің туралы мағлұматтар берилген.

ЕЛМ-НӘШРИЈАТЫ
ИЗДАТЕЛЬСТВО „ЭЛМ“
БАКЫ-1970-БАКУ

Э. И. ИБРАГИМОВ, Г. Г. САФАРОВ, Т. М. ГАМИДОВ

ОБ УСТАНОВИВШЕМСЯ ДВИЖЕНИИ ГЕТЕРОГЕННЫХ СМЕСЕЙ В ГОРИЗОНТАЛЬНЫХ ТРУБАХ

(Представлено академиком АН Азербайджанской ССР А. И. Гусейновым)

В технике часто встречаемся с процессами, связанными движением двухфазных систем, суспензией, эмульсией и различными примесями нефти. В данной работе на основе теории взаимопроникающих сред [1], рассматривается движение гетерогенного потока в горизонтальных трубах. Исходя из экспериментальных данных выяснено, что в зависимости от начальных скоростей компонентов, концентрации смеси, крупности частиц, истинных плотностей компонентов и т. д. оседание частиц в основном потоке образует пробку. Практические расчеты показывают, что после определенной длины, скорость частиц и концентрация смеси остаются постоянными. Нами представлены некоторые теоретические результаты вышеназвенного процесса, в частности формулы, позволяющие определить длину зоны смещения компонентов и критерий определения границы применимости выведенных формул.

Для случая одномерного установившегося движения двухкомпонентной смеси, система уравнений имеет следующий вид [2].

1. Уравнения движений:

$$\rho_1 \frac{du_1}{dx} = -\frac{2}{\rho_{11}} \frac{dP}{dx} + \frac{k}{\rho_1} (u_2 - u_1) \quad (1)$$

$$\rho_2 \frac{du_2}{dx} = -\frac{1}{\rho_{21}} \frac{dF}{dx} + \frac{k}{\rho_2} (u_1 - u_2) \quad (2)$$

2. Уравнения неразрывности:

$$\rho_1 u_1 F_0 = G_1 \quad (2)$$

$$\rho_2 u_2 F_0 = G_2.$$

3. Уравнения пористости:

$$\frac{\rho_1}{\rho_{11}} + \frac{\rho_2}{\rho_{21}} = 1. \quad (3)$$

РЕДАКЦИОННАЯ КОЛЛЕГИЯ: Р. Г. Исмайлова (главный редактор), Г. Б. Абдуллаев, Ш. А. Азизбеков, Г. А. Алиев, В. Ю. Ахундов, В. Р. Волобуев, Д. М. Гусейнов, М. А. Дадашзаде (зам. главного редактора), М. А. Далин, М. А. Кашибай (зам. главного редактора), С. М. Кулиев, С. Д. Мехтиев, М. Ф. Нагиев, А. С. Сумбатзаде, М. А. Топчибашев, З. И. Халилов, Г. Г. Зейналов (ответственный секретарь).

Адрес: г. Баку, Коммунистическая, 10. Редакция «Докладов Академии наук Азербайджанской ССР».

Сдано в набор 17/VI 1970 г. Подписано к печати 1/X 1970 г. Формат бумаги 70×108^{1/16}.
Бум. лист. 3,13. Печ. лист. 8,56. Уч.-изд. лист. 7,31. ФГ 00347. Заказ 631.
Тираж 830. Цена 40 коп.

Типография им. Рухуллы Ахундова государственного Комитета Совета Министров Азербайджанской ССР по печати. Баку, Рабочий проспект, 96.

753597

Центральная научная
БИБЛИОТЕКА
Академии науки Киргизской ССР

4. Уравнения состояния (в случае баротропных жидкостей)

$$\rho_{11} = F_1(P, P_0, \rho_{11}^0)$$

$$\rho_{21} = F_2(P, P_0, \rho_{21}^0)$$

Здесь u_1, u_2 — скорости первого и второго компонента, ρ_1, ρ_2 и ρ_{11}, ρ_{21} — истинная и приведенная плотность компонентов, F_0 — площадь сечения трубы (постоянная), G_1, G_2 — секундные массовые расходы сред, k — коэффициент взаимодействия между компонентами определяется из эксперимента. P_1, P_0 — давления.

После простых преобразований уравнений (1), (2), (3) и (4) можно разрешить их относительно производных искомых функций [3], что удобно для численного интегрирования при решении конкретных задач:

$$\begin{aligned} \frac{dP}{dx} &= \frac{k(u_1 - u_2)}{A} \left(\frac{1}{\rho_2^0 u_2^2} - \frac{1}{\rho_1^0 u_1^2} \right) \\ \frac{du_1}{dx} &= \frac{k(u_2 - u_1)}{\rho_1 u_1 A} \left(\frac{1}{\rho_2^0 u_2^2} - \xi \right) \\ \frac{du_2}{dx} &= \frac{k(u_1 - u_2)}{\rho_2 u_2 A} \left(\frac{1}{\rho_1^0 u_1^2} - \xi \right), \end{aligned} \quad (5)$$

$$\text{где } -A = \frac{\rho_1}{\rho_1^0} \left(\frac{1}{\rho_1^0 u_1^2} - \xi \right) + \frac{\rho_2}{\rho_2^0} \left(\frac{1}{\rho_2^0 u_2^2} - \xi \right)$$

$$\xi = \frac{\rho_1}{\rho_1^0 a_1^2} + \frac{\rho_2}{\rho_2^0 a_2^2}; \quad a_1 = \frac{dP}{d\rho_1^0}; \quad a_2 = \frac{dP}{d\rho_2^0}.$$

Непосредственное решение задачи при помощи численного интегрирования возможно в тех случаях, когда исходные величины P_0 и u_{10}, u_{20} заданы в одном и том же сечении. Если же исходные данные заданы в различных сечениях, то приходится решать подбором, что значительно усложняет и без того трудоемкие вычисления. Поэтому большой интерес представляет получение сравнительно простых расчетных формул, дающих при некоторых предположениях решения в отдельных случаях.

I случай: $u_1 \gg u_2$

Как следует из уравнений системы (2), условие $u_1 \gg u_2$ влечет за собой неравенство $\rho_1 \ll \rho_2$. Если расходы обеих сред являются величинами одного порядка, тогда из уравнения (1) получим:

$$\frac{1}{u_1} \frac{du_1}{dx} + \frac{1}{u_1^2 \rho_1^0} \frac{dP}{dx} + \frac{k}{G_1} F_0 = 0$$

Отсюда

$$\ln \frac{u_1}{u_{10}} + \int_{P_0}^P \frac{dP}{u_1^2 \rho_1^0} = - \frac{kF_0}{G_1} x \quad (6)$$

Уравнение импульса данного движения, очевидно, будет:

$$\rho_1 u_1 \frac{du_1}{dx} + \rho_2 u_2 \frac{du_2}{dx} + \frac{dP}{dx} = 0, \quad (7)$$

пронтегрировав которое получим соотношение:

$$\frac{G_1}{F_0} u_1 + \frac{G_2}{F_0} u_2 + P = c,$$

где

$$c = \frac{G_1}{F_0} u_{10} + \frac{G_2}{F_0} u_{20} + P$$

u_{10}, u_{20}, P_0 — начальные значения скоростей и давления, далее пренебрегая вторым членом, имеем:

$$u_1 = \frac{F_0}{G_1} (c - P), \quad (7a)$$

подставляя это выражение в предыдущее интегральное выражение получим:

$$\ln \left(1 - \frac{P_0 - P}{\rho_{10} u_{10}^2} \right) + \frac{G_1^2}{F_0^2} \int_{P_0}^P \frac{dP}{\rho_1^0 (c - P)^2} = - \frac{kF_0}{G_1} x \quad (8)$$

Отсюда, при известных значениях P , можно находить соответствующие сечения x . Остальные параметры определяются по формулам:

$$\begin{aligned} \rho_1 &= \frac{G_1}{F_0} \frac{1}{u_1} \\ \rho_2 &= \rho_2^0 \left(1 - \frac{G_1}{\rho_1^0 F_0} \frac{1}{u_1} \right) \\ u_2 &= \frac{G_2}{G_1} \frac{\rho_1^0}{\rho_2^0} \frac{u_1}{\left(\frac{\rho_1^0 F_0}{G_1} u_1 - 1 \right)} \end{aligned} \quad (9)$$

Вышеприведенными формулами целесообразно пользоваться в том случае, когда удовлетворяется условие $\rho_1^0 \ll \rho_2^0$. В других случаях можно пользоваться значительно более простыми соотношениями. Если ρ_1^0 и ρ_2^0 являются величинами одного порядка (или же $\rho_1^0 \gg \rho_2^0$), тогда, умножая первое уравнение системы (1) на ρ_1^0 , а второе — на ρ_2^0 и вычитая из первого уравнения второе, получим:

$$\rho_1^0 u_1 \frac{du_1}{dx} - \rho_2^0 u_2 \frac{du_2}{dx} = - k(u_1 - u_2) \left(\frac{\rho_1^0}{\rho_1} + \frac{\rho_2^0}{\rho_2} \right) \quad (10)$$

Из второго и третьего уравнений системы (5) имеем:

$$\frac{du_1}{du_2} = - \frac{G_2}{G_1} \frac{\frac{1}{\rho_1^0 u_2^2} - \xi}{\frac{1}{\rho_1^0 u_1^2} - \xi} \quad (11)$$

Откуда видно, что в рассматриваемых случаях

$$\left| \frac{du_1}{dx} \right| \gg \left| \frac{du_2}{dx} \right| \quad (12)$$

В силу неравенств $u_1 \gg u_2$ и $\rho_1 \ll \rho_2$ все вторые слагаемые в обеих частях уравнения (10) малы по сравнению с первыми и отбрасывая их получим:

$$\frac{du_1}{dx} = -\frac{kF_0}{G_1} u_1$$

Пронтегрировав, имеем

$$u_1 = u_{10} e^{-\frac{kF_0}{G_1} x} \quad (13)$$

Итак, скорость u_1 в любом заданном сечении определяется по формуле (13), давление P из выражения (7а), остальные параметры по формулам (9). Пользуясь формулой (13), можно легко определить то сечение, в котором разность скоростей еще настолько велика, что можно пользоваться рассматриваемым приближенным методом.

II случай $\frac{dP}{dx} = 0$, т. е. давление изменяется мало. Получим теперь формулы для того участка зоны смещения, где давление принимает экстремальное значение. Тогда в первых двух уравнениях (1) вторыми слагаемыми можно пренебречь по сравнению с остальными, т. е.

$$\frac{du_1}{dx} = -\frac{kF_0}{G_1} (u_1 - u_2) \quad (14)$$

$$\frac{du_2}{dx} = \frac{kF_0}{G_2} (u_1 - u_2)$$

Разделив переменные и проинтегрировав (14), будем иметь следующее соотношение:

$$u_1 - u_2 = (u_{10} - u_{20}) e^{-kF_0 \left(\frac{1}{G_1} + \frac{1}{G_2} \right) x} \quad (14a)$$

Подставляя в уравнение (14), получим:

$$\frac{du_1}{dx} = -\frac{kF_0}{G_1} (u_{10} - u_{20}) e^{-kF_0 \left(\frac{1}{G_1} + \frac{1}{G_2} \right) x} \quad (15)$$

$$\frac{du_2}{dx} = \frac{kF_0}{G_2} (u_{10} - u_{20}) e^{-kF_0 \left(\frac{1}{G_1} + \frac{1}{G_2} \right) x}$$

При следующих условиях $u_1 = u_{10}$; $u_2 = u_{20}$ при $x = 0$ уравнение допускает решение:

$$u_1 = u_{10} - G_1 \frac{u_{10} - u_{20}}{G_1 + G_2} [1 - e^{-kF_0 \left(\frac{1}{G_1} + \frac{1}{G_2} \right) x}] \quad (16)$$

$$u_2 = u_{20} - G_1 \frac{u_{10} - u_{20}}{G_1 + G_2} [1 - e^{-kF_0 \left(\frac{1}{G_1} + \frac{1}{G_2} \right) x}]$$

Приведенные плотности определяются по формулам

$$\rho_1 = \frac{G_1}{F_0} \frac{1}{u_1}; \quad \rho_2 = \frac{G_2}{F_0} \frac{1}{u_2},$$

а давление P соотношением

$$\frac{G_1}{u_1 F_1(P, P_0, \rho_{10}^0)} + \frac{G_2}{u_2 F_2(P, P_0, \rho_{20}^0)} = F_0 \quad (17)$$

Формулы, выведенные для вычисления параметров смеси применимы только лишь в случае малого изменения давления на рассматриваемом участке, что определяется сравнением экстремального давления с давлением на границах данного участка.

III случай. Один из компонентов смеси не сжимаем: $\rho_2^0 = \rho_{20}^0 = F_2 = \text{const}$, а другой является газом $\frac{P}{P_0} = \left(\frac{\rho_1^0}{\rho_{10}^0} \right)^n$. Очевидно, последнее соотношение (17) принимает следующий вид:

$$P = P_0 \left[\frac{\rho_{20}^0 G_1}{\rho_{10}^0 G_2 \left(\frac{\rho_{20}^0 F_0}{G_2} u_2 - 1 \right)} \frac{u_2}{u_1} \right]^{n_1} \quad (18)$$

Производную от последнего выражения, с учетом (14), приравнивая нулю, найдем условие экстремума давления:

$$u_1 = \frac{u_2}{G_1} (\rho_{20}^0 F_0 u_2 - G_2), \quad (19)$$

а из выражений (16), имеем:

$$u_1 = u_{10} + \frac{G_2}{G_1} (u_{20} - u_2) \quad (20)$$

Решая совместно уравнение (19) и (20), получаем формулы для скоростей в сечении с экстремальным давлением:

$$u_1 = u_{10} + \frac{G_2}{G_1} \left(u_{20} - \sqrt{\frac{G_1 u_{10} + G_2 u_{20}}{\rho_{20}^0 F_0}} \right); \quad u_2 = \sqrt{\frac{G_1 u_{10} + G_2 u_{20}}{\rho_{20}^0 F_0}}$$

Подставив u_1 и u_2 в выражении (18), определим экстремальное значение давления:

$$P_s = P_0 \left\{ \frac{\frac{\rho_{20}^0 G_1^2}{G_1}}{\rho_{10}^0 \left[\sqrt{\frac{\rho_{20}^0 F_0 (G_1 u_{10} + G_2 u_{20})}{G_1}} - G_2 \right]^2} \right\}^{n_1}$$

Для определения координаты x_p сечения соответствующего этому давлению, из выражения (16) с учетом условия экстремума давления (19) получим:

$$x_p = -\frac{G_1 G_2}{kF_0 (G_1 + G_2)} \ln \frac{G_1 u_{10} + G_2 u_{20}}{G_1 (u_{10} - u_{20})} \left[1 - \frac{G_1 + G_2}{\sqrt{\rho_{20}^0 F_0 (G_1 u_{10} + G_2 u_{20})}} \right]^{n_1}$$

В частности, из формул (16) и (18) при $x \rightarrow \infty$ имеем:

$$u_\infty = \frac{G_1 u_{10} + G_2 u_{20}}{G_1 + G_2}; \quad P_\infty = P \left[\frac{\rho_{20}^0 G_1}{\rho_{10}^0 (\rho_{20}^0 F_0 u_\infty - G_2)} \right]^{n_1}$$

Выражение для u_∞ , как и следовало ожидать, совпадает с результатами [4], в предположении постоянства давления.

Для рассматриваемого случая с малым изменением давления при помощи соотношения (14а) можно определить длину зоны смещения, при которой разность скоростей становится достаточно малой. Пусть точность расчета требует выполнения неравенства:

$$\frac{u_1 - u_2}{u_{10} - u_{20}} \leq x,$$

где — x заданная величина.

Следовательно:

$$e^{-kF_0 \left(\frac{1}{G_1} + \frac{1}{G_2} \right) x_\infty} \leq x$$

Искомая длина смещения:

$$x_\infty \geq \frac{G_1 \cdot G_2}{kF_0(G_1 + G_2)} \ln x$$

ЛИТЕРАТУРА

1. Рахматуллин Х. А. Основы газодинамики взаимопроникающих движений сплошных сред. ПММ, т. XX, вып. 2, 1956.
2. Клейман Я. З. Об установленном движении смесей в трубах. НДВШ, физико-матем. науки, № 4, 1958.
3. Фейзулаев Д. Ф. Ламинарное движение многофазных сред в трубопроводах. Узбек, ФАН ССР, 1966.
4. Абрамович Г. Н. Прикладная газовая динамика. ГИГТЛ, 1953.

Азерб. политех. ин-т

Поступило 8. V 1969

Э. И. Ибраһимов, Һ. Һ. Сәфәров, Т. М. Һәмидов

Үфғи боруларда гарышлыгының һәм олмајан
маје гарышынының һәрәкәти һағында

ХҮЛАСӘ

Мәгаләдә икикомпонентли сәлт мүнитин үфғи боруда һәрәкәтиндән бәһс едилмишdir. Тәчрүби җохламалар һиссәчикләрниң сүр'етинин вәтатылыгының мүәյҗән узунлугдан сонра сабит олдуғуну, бу кәсикдәтыхачының җарандыгының көстәрир. Бұна истинад едәрәк, һәрәкәтин диференциал тәнникләринің хүсуси һалдарда интегралламағла сүр'етин, гатылыгын, тәэжигиң пајланмасыны вә тыхачыны координатыны мүәйҗән етмәк үчүн әлверишили һесаблама формуллары верилмишdir.

АЗӘРБАЙЧАН ССР ЕЛМЛӘР АКАДЕМИЯСЫНЫН МӘРҮЗӘЛӘРИ

ДОКЛАДЫ АКАДЕМИИ НАУК АЗЕРБАЙДЖАНСКОЙ ССР

ТОМ XXVI

№ 6

1970

МАТЕМАТИКА

УДК 517.946.9

Р. С. ЭФЕНДИЕВ

АСИМПТОТИКА РЕШЕНИЯ ПО МАЛОМУ ПАРАМЕТРУ КРАЕВОЙ ЗАДАЧИ ДЛЯ ЭЛЛИПТИЧЕСКОГО УРАВНЕНИЯ 2m-го ПОРЯДКА В ТОНКИХ ОБЛАСТЯХ

(Представлено академиком АН Азербайджанской ССР З. И. Халиловым)

Некоторые задачи механики приводят к исследованию асимптотики решения краевой задачи по малому параметру, когда малый параметр входит в геометрию области. В связи с этим, в работе рассматривается следующая задача.

Пусть Q — цилиндр в n -мерном пространстве с высотой h , достаточно малой по сравнению с другими измерениями Q . Не уменьшая общности предположим, что ось x_n направлена по высоте цилиндра Q . Обозначим боковую поверхность Q через F .

В Q рассмотрим задачу:

$$Lu \equiv D_n^{2m}u + \sum_{|\alpha|=2m} a_\alpha D^\alpha u + \sum_{|\beta| < 2m-1} b_\beta D^\beta u = 0, \quad (1)$$

$$D_n^m u \Big|_{x_n=h} = P, \quad D_n^m u \Big|_{x_n=0} = 0, \quad (2)$$

$$D_n^k u \Big|_{x_n=h} = 0, \quad D_n^k u \Big|_{x_n=0} = 0, \quad k = m+1, m+2, \dots, 2m-1, \quad (3)$$

$$\frac{\partial^i u}{\partial v_i} \Big|_F = 0, \quad i = 0, 1, \dots, m-1. \quad (4)$$

где L — эллиптический оператор $2m$ -го порядка с постоянными коэффициентами.

$$D^\alpha = D_1^{\alpha_1} \cdot D_2^{\alpha_2} \cdots D_{n-1}^{\alpha_{n-1}}, \quad |\alpha| = \alpha_1 + \alpha_2 + \cdots + \alpha_{n-1},$$

$$D_j = \frac{\partial}{\partial x_j} \quad (j = 1, 2, \dots, n)$$

$$D^\beta = D_1^{\beta_1} D_2^{\beta_2} \cdots D_n^{\beta_n}, \quad |\beta| = \beta_1 + \beta_2 + \cdots + \beta_n, \quad x = (x_1, \dots, x_n), \quad \beta_n \geq m$$

$P(x_1, \dots, x_{n-1})$ — заданная гладкая функция, v — нормаль к боковой поверхности Q , h — малый параметр.

Цель работы заключается в построении асимптотики решения по h задачи (1) — (4).

Прежде чем приступить к построению асимптотики решения поставленной задачи, запишем оператор L в другом виде. Для этого сделаем замену переменных $x_n = th$ и учитывая, что $D_n^k = h^{-k} \frac{d^k}{dt^k}$, получим

$$L_1 u \equiv h^{-2m} (\partial^{2m} u / \partial t^{2m} + h L_1 u + \dots) = 0, \quad (5)$$

где все операторы L_i ($i = 1, 2, \dots$) — суть известные линейные дифференциальные операторы, например,

$$L_1 u \equiv b_{2m-1} \partial^{2m-1} u / \partial t^{2m-1}$$

Расщеплению (5) оператора L соответствует некоторый итерационный процесс, если приближенное решение уравнения (5) искать в виде:

$$u = W_{-m}/h^m + \dots + W_{-1}/h + W_0 + hW_1 + \dots \quad (6)$$

Подставив выражение для функции u из (6) в уравнение $L_1 u = 0$, граничные условия (2), (3) и сравнивая коэффициенты при одинаковых степенях h , получим

$$\partial^{2m} W_{-m} / \partial t^{2m} = 0, \quad \partial^k W_{-m} / \partial t^k = \begin{cases} 0, & t=1 \\ 0, & t=0 \end{cases} \quad k = m, m+1, \dots, 2m-1$$

Следовательно, $W_{-m} = \sum_{i=0}^{m-1} t^i W_{-m, i}(\eta)$ где функции $W_{-m, i}(\eta)$ и

все последующие функции такого типа подлежат определению $\eta(x_1, \dots, x_{n-1})$.

Продолжая процесс получим

$$\frac{\partial^{2m} W_{-m+s}}{\partial t^{2m}} = 0, \quad \left. \frac{\partial^k W_{-m+s}}{\partial t^k} \right|_{t=1} = 0, \quad \left. \frac{\partial^k W_{-m+s}}{\partial t^k} \right|_{t=0} = 0,$$

$$S = 1, 2, \dots, 2m-1, \quad k = m, m+1, \dots, 2m-1,$$

откуда

$$W_{-m+s} = \sum_{i=0}^{m-1} t^i W_{-m+s, i}(\eta), \quad S = 1, 2, \dots, 2m-1$$

В следующем шаге имеем

$$\frac{\partial^{2m} W_m}{\partial t^{2m}} = \sum_{i=0}^{m-1} t^i A W_{-m, i}, \quad (6)$$

$$\partial^m W_m / \partial t^m = \begin{cases} P, & t=1 \\ 0, & t=0 \end{cases} \quad \partial^k W_m / \partial t^k = \begin{cases} 0, & t=1 \\ 0, & t=0, \\ & k = m+1, \dots, 2m-1 \end{cases} \quad (7)$$

где

$$A \equiv \sum_{|\alpha|=2m} a_\alpha D^\alpha + \sum_{|\beta|<2m-1} b_\beta D^\beta$$

Очевидно, сопряженная однородная задача, соответствующая задаче (6) и (7) имеет отличное от нуля решение

$$z = \sum_{i=0}^{m-1} t^i C_i$$

Тогда для того, чтобы задача (6) и (7) была разрешимой, необходимо и достаточно, чтобы

$$\int_0^1 \frac{\partial^{2m} W_m}{\partial t^{2m}} z dt = (-1)^m \frac{\partial^m W_m}{\partial t^m} \left. \frac{\partial^{m-1} z}{\partial t^{m-1}} \right|_{t=0}^{t=1} \quad (8)$$

Подставив выражение для $\partial^{2m} W_m / \partial t^{2m}$, $\partial^m W_m / \partial t^m$ и z в равенство (8) и сравнивая коэффициенты при одинаковых C_i ($i = 0, 1, \dots, m-1$), получаем систему уравнений, откуда находим, что неизвестные функции $W_{-m, i}$ являются решениями следующих уравнений

$$AW_{-m, i} = f_{-m, i}(P), \quad i = 0, 1, \dots, m-1 \quad (9)$$

Тогда

$$W_m = \sum_{i=0}^{m-1} t^i W_{-m, i} + \sum_{j=0}^{m-1} \frac{t^{2m+j}}{(2m+j)!} f_{-m, j}(P)$$

Продолжая процесс аналогичным образом находим, что все функции $W_{-m+j, i}$ являются решениями таких же уравнений, как (9), только с другими правыми частями.

Функции $W_{-m+j, i}$ мы определяем из следующих задач:

$$\sum_{|\alpha|=2m} a_\alpha D^\alpha W_{-m+j, i} + \sum_{|\beta|<2m-1} b_\beta D^\beta W_{-m+j, i} = f_{-m+j, i}, \quad (10)$$

$$\left. \frac{\partial^k W_{-m+j, i}}{\partial v^k} \right|_F = \varphi_{i, j, k}, \quad j = 0, 1, \dots, i = 0, 1, \dots, m-1,$$

$$k = 0, 1, \dots, m-1; \quad (11)$$

Отметим, что функции $\varphi_{i, j, k}$ задаем так, чтобы $\varphi_{i, j, k} = 0$ при $j = 0, 1, \dots, 2m-1$, а следующие функции $\varphi_{i, j, k}$ были все отличны от нуля. Условия на функции $\varphi_{i, j, k}$ при $j = 2m, 2m+1, \dots$ будут сформулированы чуть позже.

Так как граница области и правые части эллиптического уравнения (10) гладкие, то решения задачи (10) и (11) будут гладкими функциями.

Очевидно, не все функции W_k , входящие в разложение (6) удовлетворяют всем граничным условиям. Поэтому к функциям W_k надо прибавить функции v_k -типа пограничного слоя, так, чтобы полученная сумма $W_k + v_k$ в точности удовлетворяла бы всем граничным условиям поставленной задачи.

Функции v_k строятся вторым итерационным процессом.

Для описания второго итерационного процесса, вблизи боковой поверхности Q вводим локальные координаты ρ и $y = (y_1, y_2, \dots, y_{n-2}, t)$, где ρ — расстояние по нормали к F , а $y = (y_1, y_2, \dots, y_{n-2}, t)$ — координаты точки на F .

Написав уравнение (5) в новых координатах и сделав замену переменных $\rho = \tau h$ в уравнении, получим

$$L_2 v = h^{-2m} (M_0 v + h M_1 v + \dots) = 0, \quad (12)$$

где

$$M_0 \equiv \partial^{2m} / \partial t^{2m} + a \partial^{2m} / \partial \tau^{2m},$$

где a — соответствующий коэффициент, а M_1 — линейные дифференциальные операторы.

Расщеплению (12) оператора L соответствует итерационный процесс;

если приближенное решение уравнения (12) искать в виде

$$v = v_{-m}/h^m + \dots + v_{-1}/h + v_0 + hv_1 + \dots \quad (13)$$

Подставив выражение для функции v из (13) в (12) и сравнивая члены при одинаковых степенях h , получим

$$M_0 v_{-m+k} = -M_1 v_{-m+k-1} - \dots - M_r v_k, \quad k = 0, 1, \dots$$

Функции v_k выбираем так, что сумма $W_k + v_k$ удовлетворяла всем граничным условиям (2), (3) и (4). Поэтому, подставив выражение для суммы $u + v$ в граничные условия (2), (3) и (4) и сравнивая коэффициенты при одинаковых степенях h находим, что функции v_k являются убывающими при $\tau \rightarrow \infty$ решениями следующих задач:

$$M_0 v_{-m+r} = -M_1 v_{-m+r-1} - \dots - M_r v_{-m}, \quad (14)$$

$$\frac{\partial^k v_{-m+r}}{\partial t^k} \Big|_{t=0}^{t=1} = 0, \quad \frac{\partial^i v_{-m+r}}{\partial \tau^i} \Big|_{t=0} = \psi_{r,i}, \quad r = 0, 1, \dots;$$

$$k = m, m+1, \dots, 2m-1 \quad i = 0, 1, \dots, m-1 \quad (15)$$

где $\psi_{0,1} = \psi_{1,1} = \dots = \psi_{2m-1,1} = 0$, $\psi_{2m}, \psi_{2m+j}, \dots$ известные функции.

Очевидно, $v_{-m+r} = 0$ при $r = 0, 1, \dots, 2m-1$. Тогда функция v_m будет определяться из следующей задачи

$$\frac{\partial^{2m} v_m}{\partial t^{2m}} + a \frac{\partial^{2m} v_m}{\partial \tau^{2m}} = 0, \quad (16)$$

$$\frac{\partial^k v_m}{\partial t^k} \Big|_{t=0}^{t=1} = 0, \quad \frac{\partial^i v_m}{\partial \tau^i} \Big|_{t=0} = \psi_{m,i}, \quad k = m, m+1, \dots, 2m-1 \quad i = 0, 1, \dots, m-1 \quad (17)$$

$v_m \rightarrow 0$ при $\tau \rightarrow \infty$

Решение задачи (16) и (17) типа пограничного слоя ищем в виде

$$v_m = \sum_{n=1}^{\infty} \sum_{\nu=0}^{m-1} C_n e^{\lambda_{n,\nu} \tau} \Phi_{n,\nu}(t), \quad (18)$$

где $\lambda_{n,\nu}$ — собственные числа, а $\Phi_{n,\nu}$ — соответствующие собственные функции следующей задачи

$$\Phi^{(2m)}(t) + a \lambda^{2m} \Phi(t) = 0, \quad \Phi^{(k)}(0) = \Phi^{(k)}(1) = 0, \\ k = m, m+1, \dots, 2m-1 \quad (19)$$

Теорема 1. Для того, чтобы задача (16), (17) имела решение типа пограничного слоя, т. е. решение вида (18), где $\operatorname{Re} \lambda_n > 0$, необходимо и достаточно, чтобы удовлетворились условия

$$\int_0^1 t^k \psi_{m,i}(t) dt = 0, \quad k = 0, 1, \dots, m-1 \quad (20)$$

Учитывая теорему 1, граничные условия (11) при $j = 2m$ зададим так, чтобы выполнялись условия (20). Следовательно, функция v_m — типа пограничного слоя.

Следующие функции v_k , $k > m$ определяем с помощью метода математической индукции.

Умножим все функции v_k на сглаживающую функцию и полученные функции снова обозначим через v_k .

Таким образом решение задачи (1) и (4) имеет следующее асимптотическое представление

$$u = \sum_{i=-m}^{N_1} h^i W_i + \sum_{j=0}^{N_2} h^j v_j + h^{N+1} z_N, \quad (21)$$

где z_N — остаточный член.

Оценим z_N . Очевидно, z_N есть решение следующей задачи.

$$L_1 z_N = g, \quad (22)$$

$$\frac{\partial^k z_N}{\partial t^k} \Big|_{t=0} = \begin{cases} 0, & t=1 \\ 0, & t=0 \end{cases} \quad \frac{\partial^r z_N}{\partial \tau^r} \Big|_{\tau=0} = 0, \quad k = m, m+1, \dots, 2m-1 \\ r = 0, 1, \dots, m-1 \end{cases}, \quad (23)$$

где g — известная гладкая функция.

Имеет место следующая

Теорема 2. Для решения задачи (22) и (23) справедлива оценка $\|z_N\| \leq C \|g\|_{L_1}$, где C не зависит от h .

Учитывая все изложенное, можно сформулировать следующую теорему:

Теорема 3. Если $P(x_1, \dots, x_{n-1})$ является гладкой функцией, то для решения задачи (1) — (4) имеет место асимптотическое представление (21), где функции W_i определяются первым итерационным процессом, v_i — суть функции типа пограничного слоя и определяются вторым итерационным процессом, z_N — остаточный член, который ограничен в смысле метрики пространства $L_2(Q)$.

ЛИТЕРАТУРА

1. Вишник М. И., Люстерник Л. А. УМН, т. 15, вып. 3, 1960.
2. Вишник М. И., Ладыженская О. А. УМН, т. 11, вып. 6, 1956.
3. Джавадов М. Г. ДАН СССР, т. 163, № 3, 1965.

Институт
математики и механики

Поступило 20. III 1969

Р. С. Эфандиев

Бир өлчүсү галан өлчүләринә нисбәтән чох кичик олан областларда $2m$ тәртибли сабит эмсаллы еллиптик типли тәнлик үчүн гојулмуш сәрһәд мәсәләсинин кичик параметрә көрә асимптотикасы

ХУЛАСӘ

Мәгаләдә ашағыда мәсәлә арашдырылыштыр.

Н өлчүлү фәзада һүндүрлүү h олан силиндр Q илә ишарә едәк. Фәрз едәк ки, координат охларындан бири x_n силиндрин һүндүрлүү нүн үстүнә дүшүр. Бундан башга, фәрз едәк ки, h силиндрин дикәр өлчүләринә нәзәрән чох кичикдир. Q силиндринде

$$D_n^m u + \sum_{|\alpha|=2m} a_\alpha \dot{D}^\alpha u + \sum_{|\beta|<2m-1} b_\beta L^\beta u = 0, \quad (1)$$

тәнлигинин елә һәлли, ахтарылыр ки, о һәлл ашағыда сәрһәд шәртләrinни өдәсии:

$$D_n^m u \Big|_{x_n=h} = P, \quad D_n^m u \Big|_{x_n=0} = 0, \quad (2)$$

$$D_n^k u \Big|_{x_n=h} = 0, \quad D_n^k u \Big|_{x_n=0} = 0, \quad (3)$$

$$\frac{\partial^i u}{\partial \tau^i} \Big|_{\tau=0} = 0, \quad k = m+1, \dots, 2m-1 \\ i = 0, 1, \dots, m-1 \quad (4)$$

Бурада (1) еллиптик типли тәнлик F силиндриң јан сәтін, $h > 0$ кичик параметр, $P(x_1, \dots, x_{n-1})$ верилмиш һамар функцијадыр.

Бурада

$$D^\alpha = D_1^{\alpha_1} \cdot D_2^{\alpha_2} \cdots D_{n-1}^{\alpha_{n-1}}, \quad |\alpha| = \alpha_1 + \alpha_2 + \cdots + \alpha_{n-1},$$

$$D_j = \frac{\partial}{\partial x_j}, \quad (j = 1, \dots, n)$$

$$D^\beta = D_1^{\beta_1} \cdot D_2^{\beta_2} \cdots D_n^{\beta_n}, \quad |\beta| = \beta_1 + \cdots + \beta_n, \quad (\alpha = x_1, \dots, x_n) \beta_n \geq m$$

Ишдә (1), (2), (3) вә (4) мәсәләсінин һәллинин асимптотик ифадәсінин

$$u = \sum_{l=-m}^{N_1} h^l W_l + \sum_{j=0}^{N_2} h^j v_j + h^{N+1} z_N,$$

олдуғу исбат едилир.

W_l -ләр биринчи итератсија просесиндән, v_j -ләр икinci итератсија просесиндән таптылыр. z_N исә галыг һәддид; 0, $L_2(Q)$ фәзасынын метрикасы мә'насында мәһдуддур.

АЗӘРБАЙЖАН ССР ЕЛМЛӘР АКАДЕМИЈАСЫНЫН МӘРҮЗӘЛӘРИ

ДОКЛАДЫ АКАДЕМИИ НАУК АЗЕРБАЙДЖАНСКОЙ ССР

ТОМ XXVI

№ 6

1970

АСТРОНОМИЯ

М. А. МАМЕДОВ

АНАЛИЗ НЕКОТОРЫХ ГИПОТЕЗ ПРОИСХОЖДЕНИЯ
КОМЕТ НА ОСНОВАНИИ РЕЗУЛЬТАТОВ ЧИСЛЕННОГО
АНАЛИЗА ГИПОТЕТИЧЕСКИХ КОМЕТ

(Представлено академиком АН Азербайджанской ССР Г. Б. Абдуллаевым)

В настоящее время существует целый ряд гипотез о происхождении комет. Первыми являются гипотезы Лапласа и Лангренжа, выдвинутые еще в XVIII в. По Лапласу, кометы образуются в межзвездном пространстве (за пределами солнечной системы), по Лангренжу, кометы образуются внутри солнечной системы. Все гипотезы, разрабатывавшиеся позднее, являются видоизменением гипотез Лангренжа или Лапласа.

Нами проведены исследования в рамках гипотезы Лангренжа. С этой целью было исследовано движение более, чем 2000 гипотетических комет (предполагаемых продуктов извержения на поверхности Юпитера), начиная от поверхности Юпитера до границы его сферы действия. Уравнения движения этих комет решались численно (с помощью метода Рунге—Кутта) на ЭВМ „Минск-22“. Принималось, что Юпитер—центральное тело, а Солнце движется вокруг Юпитера, по кругу с радиусом D ($D = 5,21$ а. е.), и является возмущающим телом. Мы варьировали при этом величину начальной скорости u_0 (скорость при извержении) и ее направление [16].

Далее было получено распределение орбит этих 2000 гипотетических комет по достижении ими границы сферы действия Юпитера, было проведено сопоставление этого теоретического распределения с распределениями орбит реальных комет.

Проводилось также исследование более, чем 300 гипотетических комет, начинаяющих свое движение от поверхности первого спутника Юпитера ИО, до границы сферы действия Юпитера. Оказалось, что последние не имеют кометных орбит, подобно наблюдаемым. Перигелиевые расстояния их больше 4 а. е. (при любой величине и направлении скорости u_0). Такие кометы вообще не наблюдаются с земли [19].

Исследование движения 1000 из 2000 гипотетических комет, достигших границы сферы действия Юпитера, было продолжено до тех пор, пока эти кометы не удалялись от Юпитера на расстояние $r = 4,33$ а. е. Цель этих исследований—учет возмущений от Юпитера на всем пути гипотетической кометы от поверхности Юпитера до

областей, где они могут наблюдаться с Земли. Оказалось, что дополнительные изменения орбит не очень велики. На этом участке пути гипотетических комет Солнце рассматривалось как центральное тело, а Юпитер — как возмущающее. Полученное новое распределение гипотетических комет было сопоставлено с распределениями реальных комет. Кроме того, из этих 1000 гипотетических комет были выбраны по афелийным расстояниям семейства больших планет (семейства Юпитера, Сатурна, Урана, Нептуна) и эти теоретические семейства были сопоставлены с семействами реальных комет. Такое сопоставление имеет вообще целью ответ на вопрос: могут ли извержения на поверхности Юпитера быть источником образования семейств комет других больших планет (Сатурна, Урана, Нептуна) [20].

После Лапласа ряд ученых — Скипарелли, Фабри, Ниссл и др. занимались разработкой гипотез о межзвездном происхождении комет. Но Н. А. Ньютона с помощью несложных вычислений в 1878 г. показал, что теория захвата не в состоянии объяснить происхождение короткопериодических комет в результате захвата параболических комет при их тесном сближении с большими планетами. Согласно исследованиям Н. А. Ньютона, можно ожидать, что из 100 000 параболических комет, доступных наблюдениям с Земли, только одна преобразуется в короткопериодическую комету, с большой полуосью $a < 10$ а. е. В действительности из 100 вновь открываемых комет около 15 являются короткопериодическими, около 24 комет имеют большую полуосью меньше 100 а. е. [3].

Вопрос о происхождении комет в результате мощного взрыва на поверхности больших планет рассматривался Лагранжем, Проктором, Кромеллином и др. учеными. Наиболее основательные работы по гипотезе извержения принадлежит С. К. Всехсвятскому [1—11].

Имея в виду анализ гипотезы извержения на основании результатов проведенных нами вычислений на ЭВМ, прежде всего отметим, что параболическая скорость на поверхности Юпитера равна 60,28 км/сек. Но при непосредственных вычислениях траектории на „Минск-22“ оказалось, что при значении скорости u_0 от 60,28 до 60,34 км/сек не получаются траектории, выходящие за пределы сферы действия Юпитера.

При значении начальной скорости $u_0 = 60,34$ км/сек, гипотетическая комета примерно через 36424 суток достигает границы сферы действия Юпитера и выходит на почти круговую орбиту вокруг Солнца с эксцентриситетом $e = 0,05$. Интересно, что лишь очень узкий интервал значения начальных скоростей u_0 от $u_0 = 60,34$ до $u_0 = 60,85$ км/сек дает гелиоцентрическую орбиту с перигельным расстоянием меньше 5 а. е.

С. К. Всехсвятский, обозначая через u относительную скорость на границе сферы действия Юпитера, а через v гелиоцентрическую скорость Юпитера, получает для начальной скорости взрыва u_0 на поверхности Юпитера в случае, когда направления u и v совпадают, значение $u_0 = 58$ км/сек, а когда u и v противоположны по направлению, то значение $u_0 = 67,8$ км/сек. Он отмечает также, что при некоторых условиях, а именно, при $u_0 < 60$ км/сек, получаются кометы с гелиоцентрическими орбитами. Как мы отмечали, при скорости взрыва $u_0 < 60,34$ км/сек вычисления не дают гелиоцентрических орбит для гипотетических комет [16].

Вычисления также показали, что кометы с минимальным эксцентриситетом и большим перигельным расстоянием получаются чаще, чем предполагает теория извержения [18]. Достаточно отметить, что из 346 Юпитеровых гипотетических комет всего 123 кометы имеют пе-

ригельные расстояния $4 < q < 5,5$. С. К. Всехсвятский отмечает, что при возрастании начальной скорости u_0 получаются кометы с обратным движением [2, 3]. Из полученных нами 2000 гипотетических комет нет ни одной с обратным движением.

Наши вычисления также показывают, что гипотеза извержения не может объяснить происхождение долгопериодических или непериодических комет. Из полученных 290 гипотетических долгопериодических и непериодических комет ни одна не имеет перигельные расстояния меньше 4 а. е.

В 1949 г. С. К. Всехсвятский, имея в виду малую вероятность огромных скоростей извержения на поверхности больших планет (порядка 60 км/сек), высказал гипотезу, что короткопериодические кометы образуются в результате извержения не на Юпитере, а на спутниках Юпитера и Сатурна [8, 11]. Как было уже сказано выше, из 300 гипотетических комет (от поверхности спутника Юпитера ИО) ни одна не имеет перигельное расстояние меньше 4 а. е. Такие же кометы вообще не наблюдаются с Земли [19]. Следовательно, наши вычисления не подтверждают гипотезу С. К. Всехсвятского о происхождении короткопериодических комет в результате извержений, во всяком случае, на поверхности спутника Юпитера ИО.

С. К. Всехсвятский анализирует данные наблюдений комет и указывает, что ярость реальных короткопериодических комет уменьшается довольно быстро после их открытия (через несколько оборотов вокруг Солнца). На основании этого, он делает вывод, что происхождение этих объектов относится к недалекому прошлому [2, 11].

Согласно С. К. Всехсвятскому, гипотетические кометы после извержения на поверхности больших планет сразу приближаются к Солнцу, имея еще неустойчивую структуру, за короткий срок теряют газовую оболочку, вместе с тем и свою яркость. Наши же вычисления показывают, что далеко не все гипотетические кометы после извержения сразу приближаются к Солнцу. Многие из них сначала удаляются от Солнца и могут наблюдаваться с Земли только на втором или последующих оборотах вокруг Солнца.

Имеется гипотеза о происхождении периодических комет, принадлежащая А. Д. Дубяго. Согласно этой гипотезе, кометы образуются в зоне движения Юпитера, в результате объединения твердых частиц и замерзших газов. После образования они приближаются к Юпитеру на каком-то обороте, в результате чего сильно изменяют свою орбиту и попадают в область видимости с Земли [12].

Как было отмечено, мы получили распределение продуктов извержения с поверхности Юпитера в тот момент, когда они достигают сферы его действия, а также распределение тех же гипотетических комет по достижении ими расстояния 4 а. е. от границы сферы действия Юпитера. Оба распределения подобны друг другу. Это дает возможность сделать вывод, что если кометы образуются не на поверхности планеты, а на границе сферы действия Юпитера, то мы можем получить в равной степени хорошее согласие с распределением реальных комет.

Таким образом можно сформулировать результаты наших исследований следующим образом:

1. Сопоставление распределения гипотетических комет с распределением реальных комет на расстоянии $r = 0,33$ а. е. и $r = 4,33$ а. е. от центра Юпитера показывает, что вообще короткопериодические кометы могут образовываться в результате извержений на поверхности Юпитера. Точнее говоря, наши вычисления не противоречат то-

му, что кометы образуются (начинают свое движение) на поверхности или в близкой окрестности Юпитера.

2. Происхождение долгопериодических и непериодических комет нельзя объяснить данным образом. По-видимому, эти кометы имеют совсем другое происхождение [14, 21—26].

3. Комета с орбитами, характерными для короткопериодических, долгопериодических или непериодических комет не дают извержений на поверхности спутника Юпитера ИО.

4. Короткопериодические кометы с обратным движением не являются продуктом извержений на поверхности больших планет. В такие кометы превращаются, по-видимому, долгопериодические или непериодические кометы в результате возмущений при тесном сближении с большими планетами.

5. Сопоставление короткопериодических комет, составляющих семейства Юпитера, Сатурна, Урана, Нептуна с „гипотетическими семействами“ показывает хорошее согласие.

6. Извержения на поверхности Юпитера с начальной скоростью $v_0 < 60,34 \text{ км/сек}$, по-видимому, не могут дать комет с гелиоцентрическими орбитами, как это утверждает С. К. Всехсвятский и П. Д. Духновский.

7. Короткопериодические кометы могут образовываться в окрестности Юпитера, как предполагал А. Д. Дубяго [15].

В заключение автор приносит глубокую благодарность С. Г. Маковеру и Ю. А. Рябову за ценные советы.

ЛИТЕРАТУРА

1. Всехсвятский С. К. Астроном. ж., 2, 68, 1925.
2. Всехсвятский С. К. Астроном. ж., 5, 40, 1928.
3. Всехсвятский С. К. Астроном. ж., 10, 1, 1933.
4. Всехсвятский С. К. Астроном. ж., 11, 437, 1934.
5. Всехсвятский С. К. Астроном. ж., 25, 4, 1948.
6. Всехсвятский С. К. Астроном. ж., 27, 1, 1950.
7. Всехсвятский С. К. Астроном. ж., 29, 63, 1952.
8. Всехсвятский С. К. Публикация Киевской обсерв., № 5, 1953.
9. Всехсвятский С. К. Астроном. ж., 34, 4, 1957.
10. Всехсвятский С. К. Бабич О. И. Казютинский В. В. Астроном. ж., 35, 3, 1958.
11. Всехсвятский С. К. Природа происх. комет и метеорного вещества. М., 1959.
12. Дубяго А. Д. Астроном. ж., 1957.
13. Духновский П. Г. Публикация Киевской обсерв., № 6, 1954.
14. Казимирчик-Полонская Е. И. Труды ИТА, 7, 1961.
15. Макендер С. Г. Бюлл. ИТА, II, № 2, 1967.
16. Мамедов М. А. Изв. АН Азерб. ССР, 3, 1969.
17. Мамедов М. А. Изв. АН Азерб. ССР, 5, 1969.
18. Мамедов М. А. Изв. АН Азерб. ССР, 6, 1969.
19. Мамедов М. А. ДАН АН Азерб. ССР, 9, 1969.
20. Мамедов М. А. Астроном. ж., 1969.
21. Орлов С. В. Астроном. ж., 13, 3, 1936.
22. Орлов С. В. Астроном. ж., 16, 1, 1939.
23. Шмидт О. Ю. ДАН СССР, 49, № 1, 1945.
24. Шмидт О. Ю. ДАН СССР, 45, № 6, 1955.
25. Штейнс К. А. Астроном. ж., 31, 1, 1957 а.
26. Штейнс К. А. Астроном. ж., 31, 1, 1957 а.

Шемахинская Астрофизическая обсерватория

Поступило 21.VII 1969

М. Э. Маммадов

Инженер каметных явлений анализирует каметы Юпитера
и их связь с планетами

ХУЛАСЭ

Мэглэдэ Юпитер сэтгүүндэйн вэ Юпитерээртрафы фазада эмэлэ каметы мүлахиэ олуулсан инженер каметы Юпитерийн ялангуяа каметы анализирахаар мэдүүлж верилмишдир. Албанай иштээжээ ялангуяа мөвчүд бир сырьа иштээжээлээрэ мугацаа олуулраг, периодик олмаажаан вэ гыса периодлу каметы Юпитер сэтгүүндэйн, яхуд Юпитерээртрафы фазада эмэлэ каметын ялангуяа мэдүүлж верилмишдир.

482-271

АЗЭРБАЙЧАН ССР ЕЛМЛЭР АКАДЕМИЯНЫН МЭРҮЗЭЛЭРИ

ДОКЛАДЫ АКАДЕМИИ НАУК АЗЕРБАЙДЖАНСКОЙ ССР

ТОМ XXVI

№ 6

1970

УДК 537.226 + 537.311.33] : [537 + 535]

ФИЗИКА

А. Г. РУСТАМОВ, И. Г. КЕРИМОВ, Л. М. ВАЛИЕВ, С. Х. БАБАЕВ,
П. Г. ИБРАГИМОВА

ЭЛЕКТРИЧЕСКИЕ СВОЙСТВА МОНОКРИСТАЛЛОВ ТЕЛЛУРИДОВ МАРГАНЦА, ЖЕЛЕЗА И НИКЕЛЯ

(Представлено академиком АН Азербайджанской ССР Х. И. Амирхановым)

Исследования электрических свойств халькогенидов переходных металлов представляют большой интерес с точки зрения выяснения влияния заполнения 3d-оболочки переходного элемента на физические свойства соединений, в частности, на тип и механизм проводимости. Известно также, что в этих соединениях, в электропроводности, а также в магнитных свойствах основную роль играют электроны не-заполненной 3d-оболочки переходного металла. Отсюда ясно, что изучение соединений переходных металлов с одним из халькогенидов (в частности, с теллуром) может дать некоторые данные по вышеуказанным вопросам. Кроме того, до сих пор изучение электрических свойств халькогенидов переходных металлов проводилось в поликристаллических и пресованных образцах [7, 8]. С этой целью нами были выбраны монокристаллы MnTe, FeTe и NiTe. Измерена электропроводность, коэффициент термоэдс и эффект Холла в области температур 80—700°К.

Образцы и методика измерения

Поликристаллы MnTe, FeTe и NiTe были получены по ранее описанной методике [1, 2]. Поликристаллические материалы вкладывались в эвакуированную кварцевую ампулу и нагревались до температуры на 50°К выше точки плавления соответствующей для каждого образца. После этого путем медленного охлаждения нами были получены монокристаллы этих образцов. При получении монокристаллов MnTe использовался графитовый тигель. Была снята лауреграмма этих образцов, которая подтвердила монокристаллическость полученных материалов.

Электропроводность, термоэдс и эффект Холла были измерены компенсационным методом [3].

Результаты эксперимента

Температурная зависимость электропроводности (δ), коэффициента термоэдс (α), монокристалла MnTe показана на рис. 1. Видно, что до точки Нееля (310°К), поведение δ и α аналогично металлическим сое-

динениям, а выше точки Нееля ($T > T_N$) полупроводниковым. Такое резкое изменение электрических параметров при переходе через точку магнитного превращения, по всей вероятности, связано с изменением энергетических электронных спектров. Эти изменения в основном могут определяться изменениями концентрации носителей тока. В данном случае, концентрация носителей тока почти постоянна и температурную зависимость σ можно связать с изменениями подвижности носителей тока (см. рис. 2).

На рис. 3 приведена температурная зависимость σ и α для монокристалла FeTe. Видно, что во всей температурной области оба параметра с

ростом температуры увеличиваются.

Известно, что FeTe так же, как MnTe, является антиферромагнитным полупроводником. Точка Нееля для FeTe лежит ниже темпе-

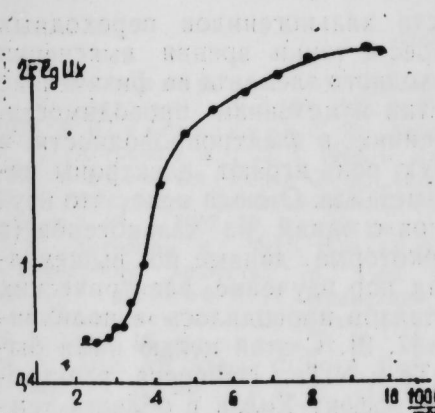


Рис. 2.

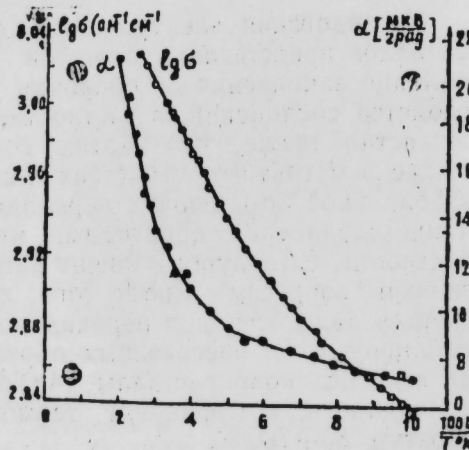


Рис. 3.

ратуры жидкого азота [4]. Температурная область исследования σ и α находится выше температуры Нееля ($T > T_N$). Температурная зависимость электропроводности для FeTe выше температуры Нееля, подобно MnTe при $T > T_N$. Около 200°К имеется заметное изменение наклона в зависимости $\lg \sigma = f\left(\frac{10^3}{T}\right)$. До этого предела коэффициент термоэдс медленно увеличивается с ростом температуры, а выше наблюдается резкий скачок. Изменение энергии активации около этой температуры (~200°К) составляет примерно 0,001 эв (в 2 раза). Природа данной точки нам неизвестна.

На рис. 4 приведена температурная зависимость σ и α для соединения NiTe, которое исследованной температурной области обладает металлической проводимостью.

До ~240°К коэффициент термоэдс и электропроводность почти

не зависит от температуры. Выше 270°К зависимость $\lg \sigma = f\left(\frac{10^3}{T}\right)$

и $\alpha = f\left(\frac{10^3}{T}\right)$ становится резкой. Примерно около этой точки наблюдается небольшое смещение кривой теплоемкости [5]. Измерение эффекта Холла в соединениях FeTe и NiTe не увенчалось успехом из-за малой подвижности ($n \ll 1 \text{ см}^2/\text{сек}$). Поэтому обсуждение полученных данных затрудняется. Для данных соединений проверялся критерий Л. Д. Дудкина [6]:

$$\Delta \% = \frac{(M - M_{\text{ди}})dm}{(M - M_{\text{ди}})} \times \times 100\%, \text{ где}$$

$M - M_{\text{ди}}$ — наименьшее расстояние между ионами переходного металла, dm — диаметр металлических атомов для координационного числа, отвечающего данному соединению.

Для MnTe критерий не выполняется ($\Delta = 25,1 > 14,5$), а для FeTe ($\Delta = 14,5$) и NiTe ($\Delta = 11$) выполняется.

Невыполнимость критерия Дудкина для некоторых соединений переходных металлов, обладающих структурой NiAs, по нашему мнению, связана с магнитной упорядоченностью, которая не учитывается в этом критерии.

ЛИТЕРАТУРА

1. Валиев Л. М., Рустамов А. Г., Керимов И. Г. ДАН Азерб. ССР. 11, 13, 1966.
2. Рустамов А. Г., Валиев Л. М., Бабаев С. Х., Ибраимова П. Г. Тез. докл. молодых ученых Азербайжана. Изд-во АН Азерб. ССР, 1970.
3. Рустамов А. В., Керимов И. Г., Валиев Л. М. Сложные полупроводники. Сб. статей под ред. Г. Б. Абдуллаева. Изд-во АН Азерб. ССР, 1970.
4. Абреков Н. Х., Дюльдина К. А. ИМЕТ, АН СССР, М., 1960.
5. Чижиков Д. М., Счастливый В. П. Теллур и теллуриды. М., 1960.
6. Дудкин Л. М. ФТТ, 2, 3 1960.
7. Al'berg W. and Haasch Phys of semiconductors. Paris, 1964.
8. Жузев В. П. Регель А. Р. ЖТФ, т. 25, вып. 6, 978, 1955.

Институт физики

Поступило 7. II 1969

Э. Н. Рустамов, И. К. Керимов, Л. М. Валиев, С. Х. Бабаев, П. Г. Ибраимова

Манганий и никел теллуридларының монокристалларының электрик хассаслары

ХУЛАСӘ

Тәдгигатларда көчид элементләри теллуридләринин монокристалларында (MnTe , FeTe , NiTe) электриккечирмә механизмында Зәвийәсинин долмасының электрик хассасларын тәсир итәрәнилмишdir. Бундан башга, бу бирләшмәләр учун Дудкиннин критеријасы юхланылышдыр! Бәзин магнит дүзүлүшүнә малик бирләшмәләр учун бу критеријаның өдәшилмәмәси магнит дүзүлүшүнүң бу критеријадан иәзә алынмамасы илә изән олунур.

УДК 665.455.2 001 5 (479.24)

ФИЗИЧЕСКАЯ ХИМИЯ

М. А. АШИМОВ, М. А. МАМЕДОВА, Т. Н. МАМЕДЗАДЕ, З. Д. НУРНЕВА

**ИССЛЕДОВАНИЕ ПРОЦЕССА ДЕЭМУЛЬСАЦИИ
НЕФТИНЫХ ЭМУЛЬСИЙ НПУ „КАРАДАГНЕФТЬ“
В ЗАВИСИМОСТИ ОТ ПРОЧНОСТИ АДСОРБЦИОННОЙ
ПЛЕНКИ**

(Представлено академиком АН Азербайджанской ССР А. М. Кулевым)

Трудность расслоения нефтяных эмульсий, как известно, связана с теми физико-химическими процессами, которые происходят на поверхности коллоидно-адсорбционной диффузной оболочки.

В этой связи, с целью рационального подбора деэмульгатора и проведения деэмульсации на уровне современных физико-химических представлений, нами проводилось предварительное исследование прочности (P_r) поверхностной пленки нефтяных эмульсий месторождений Локбатан (IV промысел), Кушхана, Карадаг на границе с дистиллированной и пластовой водами в широком интервале времени, а также с добавкой различных концентраций ПАВ.

Результаты исследований сведены в табл. 1. Прочность адсорбционной пленки (P_r) обусловливается наличием в нефтях структурных элементов.

Таблица 1
Механическая прочность адсорбционной пленки на границе нефти с различными водами и ПАВ

№ пп	Месторождение	Вода	Время, ч, pH дин/см						ПАВ в конц. 0,06 %			Азолят-А-2 при концентрациях акт. в-ва, %		
			0	30	2	4	12	24	Пр.	Н	Арзу	0,2	0,6	0,06
			Время формирования											
1	Лок-батан IV-пр. скв. 85	Дист.	0,11	0,11	1,5	1,85	2,3	3,0	1,8	1,5	2,2	4,85	4,07	296
		Пласт.	0,15	0,15	1,98	2,96	3,6	4,3	2,2	1,2	1,48	2,59	2,59	1,85
2	Кушхана скв. 146	Дист.	0,33	0,23	0,25	2,76	2,82	2,95	2,72	2,2	2,55	2,29	2,11	2,75
		Пласт.	0,26	1,18	1,6	3,54	3,8	4,53	3,25	304	2,15	2,42	1,83	1,59
3	Карадаг скв. 46	Дист.	0,63	0,7	7,0	7,1	7,4	7,8	0,96	0,99	0,78	1,22	1,07	1,04
		Пласт.	0,63	0,7	7,9	8,5	8,8	9,1	1,8	1,07	0,99	1,28	1,26	1,14

Так, наибольшую прочность адсорбционной пленке придают смолы и асфальтены, „цементирующие“ поверхность водной фазы.

Наибольшей прочностью адсорбционной пленки обладает нефть месторождения Карадаг, содержащая 2,2% асфальтенов и 30% смол.

Так, прочность адсорбционной пленки нефти этого месторождения на границе с дистиллированной и пластовой водами при времени формирования ее 24 ч составляет 7,8 и 9,1 дин/см соответственно.

Прочность поверхностной пленки нефти месторождения Кушхана в начальный момент ее образования (время = 0) значительно больше, чем P_r поверхностной пленки нефти месторождения Локбатан. Нефть месторождения Кушхана содержит большое количество высокомолекулярных парафинов (29,8%), поэтому прочность пленки ее за короткое время измеряется величиной 0,33 дин/см.

Однако при времени формирования пленки 24 ч величина нефти месторождения Локбатан превосходит значение прочности адсорбционной оболочки нефти месторождения Кушхана за то же время, что объясняется смолистостью нефти месторождения Локбатан.

При всех случаях определения P_r на границе с пластовой водой величина прочности увеличивается. В данном случае увеличение прочности происходит за счет минеральных солей пластовых вод.

С увеличением времени P_r увеличивается, затем стабилизируется, причем разница P_r на границе с дистиллированной и пластовой водами измеряется уже в целых числах.

В целях исследования взяты проксанол, НЧК, Арзу (НЧК + проксанол в соотношении 1:1) в различных концентрациях за время формирования пленки 2 ч.

В силу того, что исследуемые ПАВ обладают более сильными адсорбирующими свойствами, чем структурные элементы, входящие в состав поверхностных слоев, прочность адсорбционной пленки увеличивается.

Однако с увеличением теплового движения структурных элементов поверхностного слоя происходит разрыв пленки за счет используемых ПАВ.

ПАВ, применяемые в качестве реагентов-деэмульгаторов, оказывают двоякое действие на элементы поверхностного слоя.

При введении деэмульгатора в нефтяную эмульсию на защитных слоях капель эмульгированной воды происходит смачивание поверхности твердых частиц, входящих в состав защитных слоев и адсорбционное вытеснение более поверхностно-активным реагентом молекулярных и коллоидных эмульгаторов, адсорбировавшихся на нефте-водной границе раздела.

Одновременно реагент оказывает пептизирующее действие на природные эмульгаторы, т. е. адсорбируясь на поверхности коллоидных частиц, способствует их диспергации в объемных фазах эмульсии.

В результате этих процессов состав поверхностных слоев претерпевает коренные изменения: все природные эмульгаторы оказываются удаленными с границы раздела в объемные фазы и их место занимает слой адсорбированных молекул реагента-деэмульгатора, который в свою очередь не должен стабилизировать капли воды, эмульгированные в нефти.

Очевидно, эффективность применяемого деэмульгатора будет целиком зависеть от состава природных эмульгаторов, представляющих собой защитный слой на каплях эмульгированной воды.

Исходя из вышеизложенного, в целях исследования процесса де-

эмulsionации нами были взяты нефтяные эмульсии, сильно различающиеся между собой.

Так, нефтяная эмульсия месторождения Локбатан IV пром. мелкодисперсиальная, смолистая, прочность поверхности пленки $P_r = 3,0$ и $4,3 \text{ дин/см}$ на границе с дистиллированной и пластовой водами соответственно; характер поверхности пленки адсорбционный.

Нефтяная эмульсия месторождения Кушхана—крупнодисперсная, парафинистая, $P_r = 2,82$ и $3,8 \text{ дин/см}$ на границе с дистиллированной

Таблица 2
Деэмульсия нефтяных эмульсий месторождений
Лок-батан, Кушхана, Карадаг

Месторождение	Деэмульгатор	Дозировка деэмульгатора, %	Остаточная вода после деэмульсии	Механические примеси после деэмульсии
Лок-батан	Проксанол	0,06 0,04 0,01	9,0 11,0 —	— — —
	Азолят-А-2	0,06 0,04 0,01	14 20 —	— — —
	Азолят-А-2+проксанол 1:1	0,03+0,03 0,01+0,01	Отсутств. 0,23	Отсутств. 0,11
	НЧК	0,5 0,25 0,1	0,24 0,30 0,33	Отсутств. 0,12 0,15
	Проксанол	0,06 0,04 0,01	Следы Следы 0,24	Отсутств. Отсутств. Отсутств.
	Арзу	0,06 0,04 0,01	Следы Следы Следы	Отсутств. Отсутств. —
	Азолят-А-2	0,06 0,04 0,01	Следы Следы 2,0	Отсутств. Отсутств. Отсутств.
	НЧК	0,5 0,25 0,1	— — —	— — —
	Проксанол	0,06 0,04 0,01	Следы 0,2 0,28	Отсутств. Отсутств. Отсутств.
	Арзу	0,06 0,04 0,01	Следы Следы 0,21	Отсутств. Отсутств. 0,13
	Азолят-А-2	0,12 0,06 0,04	— — —	— — —
	Азолят-А-2+Проксанол 1:1	0,01 0,03+0,03 0,01+0,01	0,172 0,26	Отсутств. Следы

и пластовой водами соответственно; характер поверхности пленки—бронирующий.

По характеру поверхности пленки нефть месторождения Карадаг относится к адсорбционно-бронирующим, так как содержит большое количество смол и асфальтенов, $P_r = 7,8$ и $9,1 \text{ дин/см}$ на границе с дистиллированной и пластовой водами соответственно.

При деэмульсии нефтяных эмульсий нами были использованы ПАВ—НЧК в концентрации 0,5—1,0%, проксанол, арзу и азолят—А-2 в концентрации активного вещества 0,005—0,04%, а также синергетическая композиция азолята—А-2 с проксанолом в соотношении 1:1.

Деэмульсия проводилась при температуре 60—70°C, времени контактирования 5 мин и интенсивности перемешивания 1000 об/мин.

Результаты деэмульсии нефтяных эмульсий сведены в табл. 2. Исследованиями установлено, что легче всего подвергаются процессу деэмульсии крупнодисперсные нефтяные эмульсии с большим содержанием высокомолекулярных парафинов в составе поверхности адсорбционной пленки.

Так, в случае нефтяной эмульсии месторождения Кушхана одинаково эффективно использование реагентов-деэмульгаторов как анионоактивных, так и иононогенных.

Напротив, в случае деэмульсии нефтяных эмульсий с большим содержанием асфальтенов и смол (Карадаг и Локбатан) необходимо использование комплекса деэмульгаторов анионоактивных и иононогенных.

Нами установлено, что в случае трудноразрушаемых нефтяных эмульсий, содержащих в составе поверхности защитной пленки большое количество асфальтенов и смол, рационально использовать в качестве реагентов-деэмульгаторов синергетические композиции типа арзу и азолят—А-2 + проксанол.

Высокий деэмульгирующий эффект таких синергетических композиций наблюдается в силу того, что они состоят из ПАВ различной молекулярно-химической структуры и сочетают в себе комплекс поверхности-активных свойств.

Выводы

1. Нефтяные эмульсии с большим содержанием асфальтенов и смол образуют наиболее прочную коллоидно-диффузионную адсорбционную оболочку.

2. Нефтяные эмульсии с прочной поверхностью оболочки требуют для своего разрушения использования синергетических композиций.

Институт нефтехимич. процессов

Поступило 12.VI 1969

М. Э. Йөшиков, М. А. Мәммәдова, Т. Н. Мәммәдзәдә, З. Д. Нуриева

„Гарадагнефт“ нефт өмулсијасының адсорбсијаедици тәбәгәнин давамлылығындан асылы олараг деемулсија просесинин өјрәнилмәсі

ХУЛАСЭ

Мәгаләдә Ләкбатан, Гушхана вә Гарадаг нефтләринин дистиллэ олунмуш дәнис вә лај сују сөрһәддинде адсорбсијаедици тәбәгәнин давамлылығының өјрәнилмәсіндән бәйс едилмишdir.

Мұхтәлиф гатылыгларда һазырланыш мұхтәлиф синифләрдән олар сәтін-актив маддәләрин: НГК, проксанол, арзу (проксанол + НГК) вә азолят-А-2-нин тә'сириндән адсорбсијаедиң тәбәгәсінин дәјишилмәсі тәдгиг олунмушдур.

Нефт емулсијасының тәбәгәсі бронлашмыш адсорбсија хассеси дашијырса, белә эмулсијалары сусузлашдырмаг үчүн синеркетик гарышыдан (арзу) истифадә едилмәлидир.

АЗӘРБАЙЧАН ССР ЕЛМЛӘР АКАДЕМИЈАСЫНЫН МӘРУЗӘЛӘРИ
ДОКЛАДЫ АКАДЕМИИ НАУК АЗЕРБАЙДЖАНСКОЙ ССР

ТОМ XXVI

№ 6

1970

УДК 543—422. 540—72

АНАЛИТИЧЕСКАЯ ХИМИЯ

Г. Б. ШАХТАХТИНСКИЙ, Г. А. АСЛАНОВ, Г. А. ДЖАФАРОВ

АРСЕНАТНЫЙ МЕТОД ЙОДОМЕТРИЧЕСКОГО ОПРЕДЕЛЕНИЯ
БАРИЯ И СТРОНЦИЯ ПРИ ИХ СОВМЕСТНОМ ПРИСУТСТВИИ

Нами ранее разработан точный арсенатно-йодометрический метод определения стронция и бария в отдельности [1—2]. В настоящем исследовании рассматривается случай определения стронция и бария при их совместном присутствии, что имеет большое практическое значение.

При определении суммарного содержания этих элементов было проведено исследование всех условий работы и разработаны два варианта проведения анализа.

В 1-ом варианте из исследуемого раствора, содержащего ионы стронция и бария, берутся две пробы. В одной из них стронций и барий осаждаются в виде арсенатов и проводится определение суммарного содержания этих двух катионов арсенато-йодометрическим методом, а в другом осаждается барий хромат ионами в виде хромата в уксуснокислой среде рН 5—6 [3], затем йодометрическим методом определяется только барий.

Для первого варианта определения стронция и бария при их совместном присутствии рекомендуется нижеприведенная пропись: в одной части исследуемого раствора, содержащего ионы стронция и бария производится осаждение этих элементов арсенат ионами. Для этого исследуемый раствор подкисляется раствором соляной кислоты, доводится дистиллированной водой до 50 мл, прибавляется 50 мл 15%-ного раствора хлористого аммония и 15—20 мл 0,5 раствора арсената натрия, затем на холода (без нагревания) производится осаждение 10%-ным раствором аммиака, прибавляемого по каплям при размешивании магнитной мешалкой до появления запаха аммиака. После этого продолжается размешивание в течение 5 мин, прибавляется избыток концентрированного аммиака в количестве 1/10 объема раствора, осадок отфильтровывается через пористый стеклянный фильтр № 4 с применением отсасывания. Осадок промывается 3%-ным раствором аммиака 6—7 раз. Затем приступают к растворению. Для этого отмеривают в мензурке 25—30 мл соляной кислоты (1 : 1) и в 5—6 приемов вливают в стакан, в котором производилось осаждение, споласкивают его и обливают воронку с фильтром из пористого стекла. При прибавлении первой порции кислоты стараются легким встряхиванием полностью растворить осадок. Последующими порциями

фактически промывают стакан и фильтр, прибавляют 25 мл бензола, 3 мл 2 н раствора йодистого калия, усиленно взбалтывают в течение 20—30 сек, разбавляют в 15 мл дистиллированной воды и титруют раствором тиосульфата натрия соответствующей концентрации.

Титрование продолжается до полного обесцвечивания слоя бензола. При этом в конце титрования, когда слой бензола окрашен в слабо-розовый цвет, после каждой капли прибавляемого раствора тиосульфата натрия производят взбалтывание в течение нескольких секунд.

Из другой части исследуемого раствора, содержащего ионы бария и стронция, производится осаждение бария в виде хромата и определение заканчивается йодометрическим титрованием хромат ионов [3].

Количество бария и стронция в граммах соответственно рассчитывается по следующим формулам:

$$V \cdot K \cdot 0,004578$$

$$\left(V_1 - \frac{3}{2} V \right) K \cdot 0,00438$$

V —количество 0,1 н раствора тиосульфата натрия, пошедшего на титрование хромата, связанного с барием в миллилитрах.

V_1 —количество 0,1 н раствора тиосульфата натрия в миллилитрах, израсходованного на титрование мышьяковой кислоты, связанного с барием и стронцием.

K —коэффициент пересчета тиосульфата натрия на 0,1 н.

Во 2-ом варианте также берутся две пробы исследуемого раствора, в одной из которых производится определение суммарного количества бария и стронция арсенато-йодометрическим методом, точно так же, как показано в первом варианте анализа. В другой пробе сначала осаждается барий в виде хромата и, не отделяя осадок, из этого же раствора осаждается стронций в виде арсената. Смешанный осадок отфильтровывается, промывается, растворяется в соляной кислоте, затем производится, йодометрическое титрование освободившихся хромат- и арсенат ионов.

Для проверки вышеуказанных методов определения, при которых барий осаждается в виде хромата и из того же раствора стронций в виде арсената, было проведено ряд опытов с целью изучения влияния изменения среды маточного раствора после осаждения бария в виде хромата, а также применение 3%-ного раствора аммиака для промывания смешанного осадка.

Следует отметить, что промывание осадка хромата бария по существующим методам производится 0,6%-ным раствором уксуснокислого аммония, чем нельзя промывать осадок арсената стронция в связи с частичным растворением последнего. Поэтому была исследована возможность промывания осадка хромата бария 3%-ным раствором аммиака, который применяется для промывания арсената стронция. Это исследование подтвердило возможность промывания осадка хромата бария 3%-ным раствором аммиака.

Известно, после осаждения бария в виде хромата на отстаивание осадка что с маточным раствором затрачивается 1—3 ч. Поэтому проведена следующая серия опытов, посвященных определению влияния отстаивания после осаждения бария в виде хромата и (не отделяя осадок в том же растворе) осаждают стронций в виде арсената.

Результаты этих опытов даны табл. 1.

Как видно из таблицы, время отстаивания после осаждения бария

Таблица 1

№ оп.	Продолжительность отстаивания после осаждения, мин.		Расход 0,1 н р-ра тиосульфата натрия, мл		
	бария	стронция	практич.	теорет.	расхожд.
1	120	10	12,20	12,19	+0,01
2			12,18	.	-0,01
3	60	5	12,16	.	-0,04
4			12,20	.	+0,01
5	30		12,22	.	+0,03
6			12,20	.	+0,01
7	15		12,16	.	-0,03
8			12,20	.	+0,01
9	5		12,18	.	-0,01
10			12,12	.	+0,07

хромат ионами особого влияния на точность результатов не оказывает. Поэтому следует считать вполне возможным ограничиться отстаиванием около 5 мин. Уменьшение времени количественного осаждения бария в виде хромата (до 5 мин), по нашему мнению, объясняется понижением кислотности среды раствора после осаждения.

Для количественного осаждения стронция в виде арсената 10-минутного отстаивания вполне достаточно.

Таким образом, для определения бария и стронция при их совместном присутствии (по второму варианту анализа) можно дать следующую пропись: арсенато-йодометрический метод определения суммарного содержания бария и стронция при их совместном присутствии производится, как было уже описано.

В другой части исследуемого раствора, содержащего ионы бария и стронция, производится осаждение бария в виде хромата, не отделяя осадка, в той же пробе, осаждается стронций в виде арсената. Для этого к исследуемому нейтральному раствору прибавляют 10 мл 4 н уксусной кислоты, 10 мл 2 н раствора ацетата натрия. При перемешивании прибавляют в избытке 0,1 н раствора хромата калия. После 10-минутного отстаивания прибавляется 15—20 мл 0,5 н раствора арсената натрия и при размешивании прибавляется концентрированный аммиак по порциям до сильно щелочной реакции. После этого продолжается размешивание около 5—7 мин, затем прибавляется избыток концентрированного аммиака около 1/10 части исследуемого раствора и отстаивается осадок с маточным раствором 10 мин.

Полученный осадок отфильтровывают через пористое стекло № 4 с применением отсасывания и промывают 3%-ным раствором аммиака 6—7 раз, а затем производится определение суммарного содержания бария и стронция как было уже указано.

При определении бария и стронция по второму варианту анализа количество этих элементов в граммах рассчитывается соответственно по следующим формулам:

$$(V_1 - V) \cdot 2 K \cdot 0,006867$$

$$[V - (V_1 - V) \cdot 2] K \cdot 0,00438$$

V —количество 0,1 н раствора тиосульфата натрия, расходованного на титрование мышьяковой кислоты, связанное с барием и стронцием в миллилитрах.

Таблица 1

№ оп.	Продолжитель- ность отстаивания после осаждения, мин.		Расход 0,1 н р-ра тиосуль- фата натрия, мл		
	бария	стронция	практич.	теорет.	расхожд.
1	120	10	12,20	12,19	+0,01
2			12,18	.	-0,01
3	60	5	12,16	.	-0,04
4			12,20	.	+0,01
5	30		12,22	.	+0,03
6			12,20	.	+0,01
7	15		12,16	.	-0,03
8			12,20	.	+0,01
9	5		12,18	.	-0,01
10			12,12	.	+0,07

фактически промывают стакан и фильтр, прибавляют 25 мл бензола, 3 мл 2 н раствора щелочного калия, усиленно взбалтывают в течение 20—30 сек, разбавляют в 15 мл дистиллированной воды и титруют раствором тиосульфата натрия соответствующей концентрации.

Титрование продолжается до полного обесцвечивания слоя бензола. При этом в конце титрования, когда слой бензола окрашен в слабо-розовый цвет, после каждой капли прибавляемого раствора тиосульфата натрия производят взбалтывание в течение нескольких секунд.

Из другой части исследуемого раствора, содержащего ионы бария и стронция, производится осаждение бария в виде хромата и определение заканчивается йодометрическим титрованием хромат ионов [3].

Количество бария и стронция в граммах соответственно рассчитывается по следующим формулам:

$$V \cdot K \cdot 0,004578$$

$$\left(V_1 - \frac{3}{2} V \right) K \cdot 0,00438$$

V —количество 0,1 н раствора тиосульфата натрия, пошедшего на титрование хромата, связанного с барием в миллилитрах.

V —количество 0,1 н раствора тиосульфата натрия в миллилитрах, израсходованного на титрование мышьяковой кислоты, связанного с барием и стронцием.

K —коэффициент пересчета тиосульфата натрия на 0,1 н.

Во 2-ом варианте также берутся две пробы исследуемого раствора, в одной из которых производится определение суммарного количества бария и стронция арсенато-йодометрическим методом, точно так же, как показано в первом варианте анализа. В другой пробе сначала осаждается барий в виде хромата и, не отделяя осадок, из этого же раствора осаждается стронций в виде арсената. Смешанный осадок отфильтровывается, промывается, растворяется в соляной кислоте, затем производится, йодометрическое титрование освободившихся хромат- и арсенат ионов.

Для проверки вышеуказанных методов определения, при которых барий осаждается в виде хромата и из того же раствора стронций в виде арсената, было проведено ряд опытов с целью изучения влияния изменения среды маточного раствора после осаждения бария в виде хромата, а также применение 3%-ного раствора аммиака для промывания смешанного осадка.

Следует отметить, что промывание осадка хромата бария по существующим методам производится 0,6%-ным раствором уксуснокислого аммония, чем нельзя промывать осадок арсената стронция в связи с частичным растворением последнего. Поэтому была исследована возможность промывания осадка хромата бария 3%-ным раствором аммиака, который применяется для промывания арсената стронция. Это исследование подтвердило возможность промывания осадка хромата бария 3%-ным раствором аммиака.

Известно, после осаждения бария в виде хромата на отстаивание осадка что с маточным раствором затрачивается 1—3 ч. Поэтому проведена следующая серия опытов, посвященных определению влияния отстаивания после осаждения бария в виде хромата и (не отделяя осадок в том же растворе) осаждают стронций в виде арсената.

Результаты этих опытов даны табл. 1.

Как видно из таблицы, время отстаивания после осаждения бария

хромат ионами особого влияния на точность результатов не оказывает. Поэтому следует считать вполне возможным ограничиться отстаиванием около 5 мин. Уменьшение времени количественного осаждения бария в виде хромата (до 5 мин), по нашему мнению, объясняется понижением кислотности среды раствора после осаждения.

Для количественного осаждения стронция в виде арсената 10-минутного отстаивания вполне достаточно.

Таким образом, для определения бария и стронция при их совместном присутствии (по второму варианту анализа) можно дать следующую пропись: арсенато-йодометрический метод определения суммарного содержания бария и стронция при их совместном присутствии производится, как было уже описано.

В другой части исследуемого раствора, содержащего ионы бария и стронция, производится осаждение бария в виде хромата, не отделяя осадка, в той же пробе, осаждается стронций в виде арсената. Для этого к исследуемому нейтральному раствору прибавляют 10 мл 4 н уксусной кислоты, 10 мл 2 н раствора ацетата натрия. При перемешивании прибавляют в избытке 0,1 н раствора хромата калия. После 10-минутного отстаивания прибавляется 15—20 мл 0,5 н раствора арсената натрия и при размешивании прибавляется концентрированный аммиак по порциям до сильно щелочной реакции. После этого продолжается размешивание около 5—7 мин, затем прибавляется избыток концентрированного аммиака около 1/10 части исследуемого раствора и отстаивается осадок с маточным раствором 10 мин.

Полученный осадок отфильтровывают через пористое стекло № 4 с применением отсасывания и промывают 3%-ным раствором аммиака 6—7 раз, а затем производится определение суммарного содержания бария и стронция как было уже указано.

При определении бария и стронция по второму варианту анализа количество этих элементов в граммах рассчитывается соответственно по следующим формулам:

$$(V_1 - V) \cdot 2 K \cdot 0,006867$$

$$[V - (V_1 - V) \cdot 2] K \cdot 0,00438$$

V —количество 0,1 н раствора тиосульфата натрия, расходованного на титрование мышьяковой кислоты, связанное с барием и стронцием в миллилитрах.

V_1 —количество 0,1 н растворя тиосульфата натрия, пошедшего на титрование суммарного количества хромат- и арсенат ионов.
 K —коэффициент пересчета тиосульфата натрия на 0,1 н.
Результаты определения различных количеств бария и стронция по последней прописи приведены в табл. 2.

Таблица 2

№ оп.	Взято 0,1 н р-ра, мл		Расход 0,1 н р-ра тиосуль- фата натрия, мл		
	соли стронция	соли бария	практич.	теорет.	расхожд.
1	10,00	1,00	10,57	10,65	-0,08
2	.	.	10,51	—	-0,14
3	.	2,00	11,64	11,62	+0,02
4	.	.	11,62	—	
5	.	5,00	14,46	14,53	-0,07
6	.	.	14,58	—	+0,05
7	1,00	10,00	10,61	10,67	-0,06
8	.	.	10,58	—	-0,09
9	2,00	.	11,60	11,64	-0,04
10	.	.	11,68	—	+0,04
11	5,00	.	14,46	14,54	-0,08
12	.	.	14,58	—	+0,04

Как видно из таблицы, при десятикратном изменении концентрации ионов бария и стронция в исследуемом растворе, результаты определения по нашей прописи всегда получаются близкими к истинным: суммарным содержаниям их.

В результате многочисленных опытов нами установлена возможность арсенат-йодометрического метода определения бария и стронция при их совместном присутствии.

Выводы

1. Данна методика арсенато-йодометрического определения стронция и хроматометрического определения бария при их совместном присутствии, а также разработана методика суммарного содержания этих элементов арсенато-йодометрическим путем.

2. Применение обоих методов к суммарному определению этих элементов дает весьма точные результаты и работа выполняется в течение 30—40 мин.

ЛИТЕРАТУРА

- Шахтахтинский Г. Б., Асланов Г. А., Джагаров Г. А. Сб. молодых ученых ИНФХ АН Азерб. ССР, посв. 50-летию Октября, 1967.
- Шахтахтинский Г. Б., Асланов Г. А., Джагаров Г. А. Исследование в области неорганической и физической химии. Сб. ИНФХ Азерб. ССР. 1967.
- Кольтгоф И. М., Белчер Р., Стенгер В. А., Матсуя и Дж. Объемный анализ, т. III, практическая часть. Методы окисления—восстановления. М., стр. 403—403, 1961.

Н. Б. Шахтахтински, Н. А. Асланов, К. А. Чәфәров

Арсенат методу илә бариум вә стронсиум бир јердә олдугда онларын јодометрик тә'јини

ХУЛАСӘ

Мүәллифләр бариум вә стронсиум бир јердә олдугда, һәмин елементләри тә'јин етмәк үчүн метод ишләјиб һазырламышлар. Бу методла иш ики вариантда ичра едилер.

Биринчи вариант үзрә, тәдгиг олунан мәһлүлдан иш иүмүнә көтүрүлмүшдүр. Биринчи иүмүнәдә стронсиум вә бариум арсенат шәклиндә, икinci иүмүнәдә исә асетат туршусу мүһитиндә ялныз бариум хромат шәклиндә чөкдүрүлмүшдүр. Соңра һәр ики чөкүнү филтрләнмиш, јујулмуш вә һәлл едилдикдән соңра јодометрик тә'јин едилмишdir.

Бу методла стронсиум вә бариумун тә'јини чох садә вә нәтичәси дәғиг олмагла 30—40 дәг ичра олунур.

ХИМИЯ

Ф. Н. МАМЕДОВ, Н. Р. СУЛТАНОВА, Ф. А. МАМЕДОВ

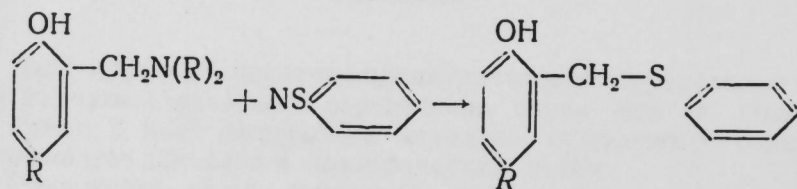
КОНДЕНСАЦИЯ ТИОФЕНОЛА С ОСНОВАНИЯМИ МАННИХА

(Представлено академиком АН Азербайджанской ССР М. Ф. Нагиевым)

Известно, что аминосоединения типа оснований Манниха и ряд четвертичных аммониевых соединений являются алкилирующими средствами [1].

Установлено, что в зависимости от радикала, отщепляющегося при нагревании оснований и четвертичных солей в состав алкилирующего соединения могут быть введены различные заместители. Эта реакция была изучена на примере взаимодействия оснований Манниха с соединениями, содержащими сульфидильную группу. При этом отщепляющийся радикал присоединяется к атому серы.

В представленной статье рассматривается реакция взаимодействия оснований Манниха с тиофенолом, приводящая к получению оксиалкилбензилтиофенола



В качестве оснований Манниха были использованы продукты конденсации *n*-трет.-алкилфенолов с формальдегидом и вторичными аминами [2]. Характеристика использованных в этой реакции оснований Манниха приведена в табл. 1.

Реакция указанных оснований с тиофенолом проводилась следующим образом.

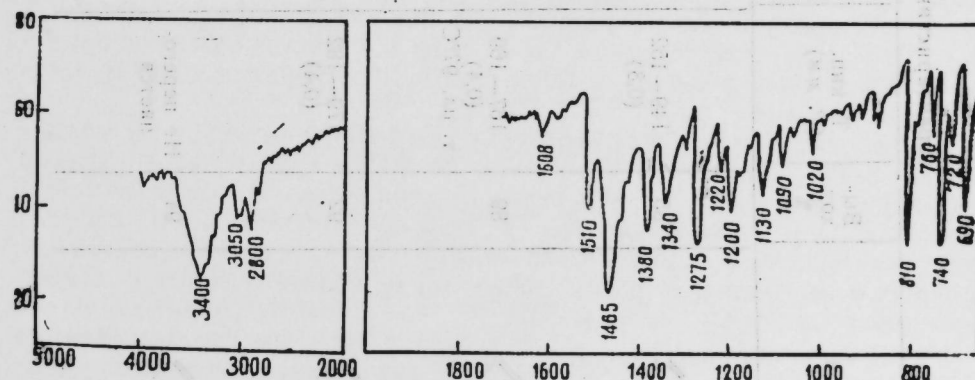
Смесь, состоящая из эквимолекулярных количеств тиофенола и основания Манниха нагревалась при 160–170°C в течение 8 ч. После охлаждения содержимое колбы обрабатывалось соляной кислотой для удаления не вступившего в реакцию аминосоединения, продукт реакции извлекался экстрагированием бензола. Бензольный раствор промывался водой до нейтральной реакции, бензол отгонялся, а продукт выделялся перегонкой под вакуумом. Некоторые представители

Характеристика исходных оснований Манниха

Формула соединений	Т. кип. (P, мм)	d_4^{20}	n_D^{20}	MR_D
	найд.	выч.		
	70 (0,9)	0,9792	1,5198	58,93 59,04
	114–116 (3,5)	0,9618	1,5114	64,61 64,10
	138–140 (3)	0,9482	1,5076	78,34 77,95
	162–164 (3)	0,9456	1,5078	91,84 91,80

синтезированных соединений представляли собой кристаллические продукты, они очищались перекристаллизацией из раствора и октана.

Характеристика синтезированных соединений приведена в табл. 2.



Структура синтезированных соединений подтверждается ИК-спектроскопией. Наличие OH группы подтверждено присутствием полосы 3340 см^{-1} , монозамещенное бензольное кольцо характеризуется наличием полос 1615, 1550, 740 и 690 см^{-1} . Полосы 812 и 880 см^{-1} характеризуют 1, 2, 4-замещенное бензольное кольцо. Полоса 1272 см^{-1} характеризует валентное колебание связи C—O.

Таким образом в результате проведенных работ нами синтезировано 4 новых не описанных в литературе оксибензилзамещенных тиофенола.

Таблица 2

Характеристика оксibenзилзамещенных тиофенола

Формула соединений	Выход, %	Т. кип. (P, мм)	d_4^{20}	n_D^{20}	Элементарный состав, %							
					найд.	выч.	С	Н	S			
	85	149–152 (0,3)	1,6260	1,1730	69,41	69,73	73,00	6,12	13,92	73,50	6,55	13,80
	89	167–169 (0,4) т. пл. 97°C	—	—	—	—	74,63	7,82	11,69	74,96	7,40	11,77
	92	179–182 (0,4)	1,5930	1,1016	88,27	88,20	75,12	7,56	11,28	75,47	7,74	11,19
	94	Не перегоняется	1,5829	Густая масса	—	—	76,26	8,35	9,87	76,77	8,59	9,75

ЛИТЕРАТУРА

1. Пат. США 2417118 16. VIII 1941. 2. Кулев А. М. Присадки к смазочным маслам. Изд-во "Химия". М., 1964.

ИНХП

Поступило 18. VI 1969

Ф. Н. Мамедов, Н. Р. Султанова, Ф. А. Мамедов

Тиофенолун маних эсасы илэ конденсацијасы

ХУЛАСЭ

Мэгалэдэ маних эсасы илэ тиофенолун реакцијасындан бэхс олунмушдур. Нэһајэт, эдэбијјатда мэ'лум олмајан 4 јени үзви бирлэшмэ синтез едилмишдир. Алымыш маддэлэри тэмизлии инфрагырмызы спектрлэ мүэjjэилэшдирilmишдир. Ајдынашмышдыр ки, нэмийн маддэлэр полимер маддэлэрдэ сабитлэшдиричи кими истифадэ олна билэр.

ОРГАНИЧЕСКАЯ ХИМИЯ

С. Д. МЕХТИЕВ, У. ПЕ ВИН, Н. П. КУРНОСОВА, М. А. ШАХГЕЛЬДИЕВ

РЕАКЦИОННАЯ СПОСОБНОСТЬ И ОРИЕНТАЦИЯ
ПРИ ЦИКЛОГЕКСИЛИРОВАНИИ ТОЛУОЛА

Циклоалкилирование ароматических соединений в присутствии катализаторов Густавсона-Фриделя-Крафтса изучалось рядом авторов, однако сделать однозначные выводы об общих закономерностях этой реакции, ее движущих силах и количественных характеристиках реакционной способности ароматических соединений из ранее [проведенных работ труда]. Исключение составляет обстоятельное кинетическое исследование Лебедева [1] по алкилированию бензола и его гомологов хлористым циклогексилом с использованием в качестве катализатора AlCl_3 .

В настоящей работе исследована некинетическим методом Ингольда (методом конкурирующих реакций)* реакционная способность толуола в процессе алкилирования его циклогексилогенидами $\text{C}_6\text{H}_{11}\text{X}$ ($\text{X} = \text{Cl}, \text{Br}, \text{J}$) в присутствии AlCl_3 и AlBr_3 в качестве катализаторов и рассмотрена роль реагента в формировании изомерного состава циклогексилтолуолов.

Кроме того, на основании результатов работы определены парциальные факторы скорости замещения водорода в бензольном кольце и факторы селективности для реакции циклогексилирования толуола. В табл. 1 приведены результаты определения относительных скоростей циклогексилирования толуола (отношение констант скоростей замещения в толуоле и в самом бензоле) и данные о распределении изомеров в циклогексилтолуолах.

Полученные нами данные согласуются с представлениями Броуна и Нельсона [2] о том, что использование катализатора симбатично ускорению электрофильного замещения изменяет соотношение изомеров.

Из таблицы видно, что AlBr_3 , как более энергичный электрофильный катализатор, снижает селективность замещения, т. е. уменьшает отношение констант скоростей циклогексилирования толуола и бензола и соответственно увеличивает количество мето-циклогексилтолуола.

Определенное влияние на соотношение изомеров в циклогексил-

* Этот метод позволяет сравнительно простым путем получить цепочную информацию о связи между строением реагирующих молекул и скоростью элементарных реакций.

Таблица 1

Относительные скорости и распределение изомеров

№ пп	Реагент	Катализатор	$K_{\text{толуола}}$	Распределение изомеров, %		
				орт-	мета-	пара-
1	Хлорциклогексан	AlCl_3	2,40	30,6	21,6	47,8
2	Бромциклогексан	AlCl_3	2,56	29,4	20,8	49,8
3	Йодциклогексан	AlCl_3	2,80	28,0	19,4	52,6
4	Хлорциклогексан	AlBr_3	1,80	27,5	25,5	47,0
5	Бромциклогексан	AlBr_3	1,96	26,6	24,1	49,3
6	Йодциклогексан	AlBr_3	2,10	25,8	23,2	51,0

толуольных фракциях оказывает характер связи $\text{C}-\text{X}$ в циклогексилгалогенидах. Причем, в последовательности $\text{Cl} > \text{Br} > \text{J}$ наблюдается увеличение содержания мета-изомера.

В табл. 2 приведены значения парциальных факторов скорости замещения (f) и факторы селективности замещения (S_f) атомов водо-

Таблица 2

Парциальные факторы скорости при циклогексилировании толуола.

№ пп*	O_f^{Me}	m_f^{Me}	P_f^{Me}	S_f
1	2,203	1,555	6,884	0,6460
2	2,257	1,597	7,649	0,6802
3	2,353	1,629	8,837	0,7342
4	1,485	1,377	5,076	0,5669
5	1,564	1,417	5,799	0,6119
6	1,625	1,462	6,425	0,6431

* № соответствует значениям в табл. 1.

рода в кольце толуола, вычисленные нами на основании изомерного состава циклогексилтолуолов.

Из таблицы видно, что парциальные факторы скорости и факторы селективности циклогексилирования толуола отчетливо изменяются, если в качестве реагента вместо $\text{C}_6\text{H}_{11}\text{Cl}$ взять $\text{C}_6\text{H}_{11}\text{J}$.

Наименьшее значение S_f наблюдается при использовании хлорциклогексана в качестве реагента и бромистого алюминия в качестве катализатора; наибольшее—для йодциклогексана и хлористого алюминия соответственно.

На рисунке представлена зависимость $\log P_f^{\text{Me}}$ от S_f . Как видно из рисунка, точки ложатся на общую прямую, что свидетельствует о сходном строении активированного комплекса, т. к. факторы селективности меньше единицы, то для обсуждаемых реагентов и катализаторов промежуточные соединения являются ионными.

Вероятно, реакция протекает через ионные пары разной степени ионности, иначе трудно понять, почему галоген, входящий в состав циклогексилгалогенида влияет на парциальные факторы скорости и селективности.

Экспериментальная часть

Опыты по циклоалкилированию проводили при 25° в реакторе с мешалкой, вращающейся со скоростью 1500 оборотов в 1 мин. Температуру реакции поддерживали водяной баней с контактным термометром, что позволяло сохранять ее постоянство в пределах $\pm 0,5^\circ$.

К смеси 0,5 м-бензола, 0,5 м-толуола и 0,005 м-катализатора за 15 мин прибавили 0,1 м-циклогексилгалогенида, перемешивали 5 мин, а затем после обычной обработки полученные алкилаты подвергали разгонке на ректификационной колонке эффективностью 40 т. т.

Продукты циклогексилирования анализировали методами инфракрасной спектроскопии и газожидкостной хроматографии. (Хроматограф "Пай", длина колонки 1,2 м, стационарная фаза-апиезон L или полиэтиленгликольадипинат на целите; расход аргона—25—60 мл/мин).

Инфракрасные спектры циклогексилзамещенных толуола были сняты на двухлучевом спектрофотометре ИКС-14 с призмой NaCl в области 900—650 см^{-1} , дающей информацию о замещении в бензольном кольце. Результаты анализа представлены в табл. 1.

Из таблицы видно, что во всех образцах моноциклогексилзамещенного толуола присутствуют три изомера: 1,4-(частота 814 см^{-1} —внеплоскостные деформационные колебания 2-х свободных атомов H), 1,3-(780 см^{-1} —колебания 3-х свободных атомов H) и 1,2-(750 см^{-1} —колебание 4-х свободных атомов H).

Относительные реакционные способности вычисляли по формуле

$$\frac{K_{\text{толуола}}}{K_{\text{бензола}}} = \lg \frac{C^{\circ}_{\text{толуола}}}{C_{\text{толуола}}} / \lg \frac{C^{\circ}_{\text{бензола}}}{C_{\text{бензола}}},$$

где $C^{\circ}_{\text{толуола}}$ и $C^{\circ}_{\text{бензола}}$ —исходные, а $C_{\text{толуола}}$ и $C_{\text{бензола}}$ —ко- нечные количества взятых в реакцию углеводородов.

Данные, представленные в табл. 1, являются средними из 3—5 определений.

ЛИТЕРАТУРА

- Лебедев Н. Н. ЖХХ 27, 2460, 1957.
- Brown H. C., Le Roil Nelson K. L. Am. chem. Soc., 75, 6292, 1953.

ИНХП

Поступило 25, VIII 1969

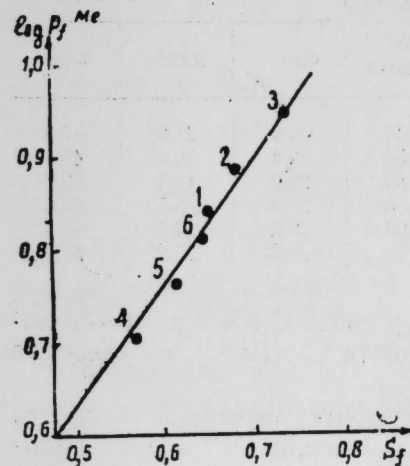


Рис. 1. Соотношение между фактором селективности и парциальным фактором скорости при циклогексилировании толуола (цифры соответствуют значениям табл. 1 и 2).

ИКС-14 с призмой NaCl в области 900—650 см^{-1} , дающей информацию о замещении в бензольном кольце. Результаты анализа представлены в табл. 1.

Из таблицы видно, что во всех образцах моноциклогексилзамещенного толуола присутствуют три изомера: 1,4-(частота 814 см^{-1} —внеплоскостные деформационные колебания 2-х свободных атомов H), 1,3-(780 см^{-1} —колебания 3-х свободных атомов H) и 1,2-(750 см^{-1} —колебание 4-х свободных атомов H).

Относительные реакционные способности вычисляли по формуле

$$\frac{K_{\text{толуола}}}{K_{\text{бензола}}} = \lg \frac{C^{\circ}_{\text{толуола}}}{C_{\text{толуола}}} / \lg \frac{C^{\circ}_{\text{бензола}}}{C_{\text{бензола}}},$$

где $C^{\circ}_{\text{толуола}}$ и $C^{\circ}_{\text{бензола}}$ —исходные, а $C_{\text{толуола}}$ и $C_{\text{бензола}}$ —ко- нечные количества взятых в реакцию углеводородов.

Данные, представленные в табл. 1, являются средними из 3—5 определений.

АЗЭРБАЙЧАН ССР ЕЛМЛЭР АКАДЕМИЯСЫНЫН МӘРҮЗӘЛӘРИ

ДОКЛАДЫ АКАДЕМИИ НАУК АЗЕРБАЙДЖАНСКОЙ ССР

Том XXVI

№ 6

1970

УДК—665. 645. 551: 66. 095253

ОРГАНИЧЕСКАЯ ХИМИЯ

Р. Г. ИСМАИЛОВ, Р. С. АЛИМАРДАНОВ, Ю. А. УСТИНЮК, Э. Х. МУСТАФАЕВ

АЛКИЛИРОВАНИЕ ОРТОМЕТОКСИТОЛУОЛА ПРОПИЛЕНОМ В ПРИСУТСТВИИ СЕРНОЙ КИСЛОТЫ

Известно, что замещение алкильной группой водорода гидроксила в фенолах подавляет их бактерицидность, в то время как замещение водорода ядра, наоборот, усиливает это свойство [1]. Поэтому введение в фенильное ядро одной или нескольких алкильных групп позволило бы получить соединения с мягким бактерицидным или бактериостатическим свойствами. С другой стороны, алкилпроизводные метиланизола обладают приятным запахом и могут найти применение в парфюмерии. Так, изомеры изопропилметиланизола имеют приятный запах, оттенки которого различаются в зависимости от взаимного расположения метильной, метоксильной и изопропильной групп в ядре бензола [2]. Однако о синтезе соединений упомянутого состава в литературе нет сведений. Лишь некоторые из них были обнаружены тонкослойной и газожидкостной хроматографией в экстрактах различных растений. 5-изопропил-2-метиланизол, например, был обнаружен в экстракте сердцевины некоторых сортов древесины, в частности, кипарисовых [3, 4, 5].

Предполагая возможность получения вышеуказанного соединения и некоторых его изомеров алкилированием ортометиланизола пропиленом, мы предприняли исследование этой реакции в присутствии серной кислоты. В сообщаемом исследовании нас интересовали не только условия максимального выхода моноизопропилметиланизола, но и возможный изомерный состав алкилата и точное строение всех получающихся соединений.

Исходный ортометиланизол получали из ортокрезола и диметилсульфата, подобно получению анизола из фенола [6]. Реакцию алкилирования проводили по обычной методике при различных условиях, изменения параметры в широких пределах. Условия наибольшего выхода моноалкилпроизводных определяли хроматографическим исследованием алкилата в каждом опыте и установили, что наибольший выход моноизопропилортометиланизола (по сумме всех изомеров) получается в реакции, проводимой при температуре 80°C, в присутствии серной кислоты 80%-ной концентрации при молярном соотношении ортометиланизол: пропилен: $\text{H}_2\text{SO}_4 = 1:2:1$ и скорости подачи пропилена 3 л/ч, при исходном количестве эфира 0,25 моля. Хрома-

тографический анализ проводился на колонке длиной 5 м, жидкой фазой служил апизон L-15% на хромосорбе W при $T=200^{\circ}\text{C}$. Газ-носитель гелий $P=1,3$ атм.

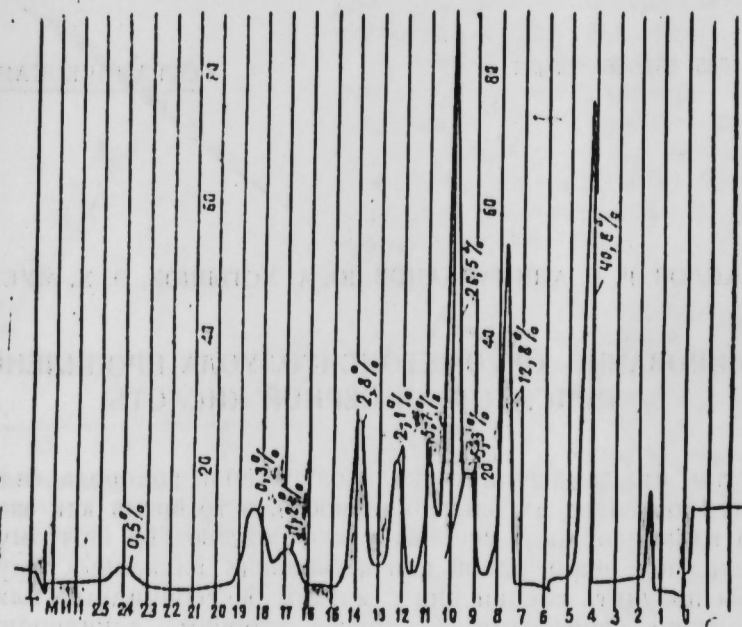


Рис. 1. Хроматограмма алкилата при оптимальных условиях проведения опыта.

Хроматограмма алкилата приводится на рис. 1, где первый пик соответствует исходному ортаметиланизолу, последующие четыре пика соответствуют изомерам моноизопропильтометиланизола, а дальше идут динизопропиляпроизводные исходного эфира. По хроматограмме в этих условиях алкилат содержит 40,8% исходного эфира, 50,3% моноалкилипроизводных и 8,9% дивалкилипроизводных.

С целью исследования состава алкилата и строения получающихся соединений была проведена фракционированная разгонка на ректификационной колонке эффективностью 40 т. т. При этом было выделено шесть фракций, для которых провели элементарный анализ, определили коэффициент лучепреломления, удельный вес, массовое число (масс-спектрально) и установили, что первая фракция с температурой кипения $42,5^{\circ}\text{C}/2,5$ мм целиком состоит из исходного эфира (единственный пик на хроматограмме), последующие четыре фракции соответствуют составу $\text{C}_{11}\text{H}_{16}\text{O}$, т. е. моноизопропилю производному, а последняя фракция соответствует составу $\text{C}_{11}\text{H}_{22}\text{O}$, т. е. динизопропилю производному исходного эфира (табл. 1). Инфракрасные спектры не смогли конкретизировать конечную структуру соединений, они лишь позволяют уточнить взаимное расположение конкретных групп. Для уточнения структур исследовались спектры протонного магнитного резонанса, которые снимались на спектрометре JNM-4H-100 с рабочей частотой 100 мгц. В качестве внутреннего эталона, применялся

гексаметилдисилоксан, сигнал которого использовался как опорный в режиме внутренней протонной стабилизации. Концентрация всех веществ в CCl_4 составляла 20% по объему.

Таблица 1

№ фр.	Т кип., $^{\circ}\text{C}/\text{м.м.}$	Хром. чистота, %	№ пика на хроматог- рамм.	$n_{D}^{20^{\circ}\text{C}}$	$d_{4^{\circ}\text{C}}^{20^{\circ}\text{C}}$	М число	MR_D	Элем. состав		По данным спектра ЯМР
								C	H	
1	42,5/2,5	100	I	—	—	—	—	—	—	Исходный о-ме- тиланизол
2	72—73,0/3	100	II	1,4980	0,9367	164	51,316	79,82	10,1	2-метил-6-изо- пропиланизол
3	83,8—84,3/3	40,60	III, IV	1,5053	0,9378	165	51,886	79,47	9,83	2-метил-4-изо- пропил- и 2-метил- 5-изопропиланизол
4	81,5—82,0/2,5	99	IV	1,5065	0,9396	164	52,0	79,92	9,91	2-метил-4-изо- пропиланизол
5	82—84/2,5	55:45	IV, V	1,5093	0,9442	164	51,871	79,26	10,07	2-метил-4-изо- пропил- и 2-метил- 5-изопропиланизол
6	96/2,5—112/5,5	70	VI	1,5010	0,9387	206	65,124	80,93	11,4	2-метил-4-, 6-ди- изопропиланизол

Теоретически подсчитано: для состава $\text{C}_{11}\text{H}_{16}\text{O}$ (моноизопропилметиланизола) $MR_D = 51,040$; $M_w = 164, 238$, эл. состав $C=80, 49, H=9,76$; для состава $\text{C}_{11}\text{H}_{22}\text{O}$ (динизопропилметиланизола) $MR_D = 64, 894$; $M_w = 206, 316$, эл. состав $C=81, 55, H=10,7$.

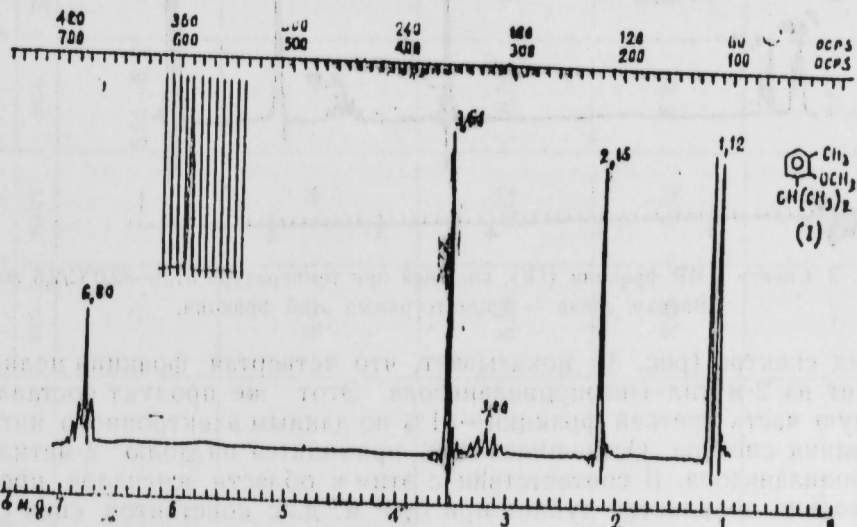


Рис. 2. Спектр ЯМР фракции (II), кипящей при температуре 72—73°C/3 мм. Вверху, слева — хроматограмма этой фракции.

В спектре ПМР 2-й фракции (рис. 2), дающей единственный пик на хроматограмме, содержатся острые синглеты протонов $-\text{CH}_3$ и $-\text{OCN}$ -групп с химическими сдвигами 2,15 и 3,64 м. д. соответственно, дублет метилов изопропильной группы с химическим сдвигом 1,12 м. д. ($^3J = 8,7$ м) и синглет метинового протона с тем же расщеплением

при 3,20 м. д. Ароматические протоны дают мультиплет с центром 6,80 м. д., представляющий собой сильно связанный ABC-систему. Вид спектра однозначно доказывает, что эта фракция целиком состоит из 2-метил-6-изопропиланизола.

В табл. 2 приведены параметры спектров ЯМР этого и других полученных соединений, а также значения химических сдвигов протонов ароматического ядра, рассчитанные по аддитивной схеме Мартина—Дейли [7]. При расчете использовались следующие значения аддитивных вкладов заместителей в экранировании протонов ароматического ядра:

$$S_{\text{OCH}_3}^{\text{OCH}_3} = +0,42$$

$$S_{\text{M}}^{\text{CH}_3} = +10$$

$$S_n^{\text{OCH}_3} = 0,33$$

$$S_0^{\text{CH}_3} = +0,17$$

$$S_M^{\text{CH}_3} = +0,13$$

$$S_n^{\text{CH}_3} = +0,17$$

$$S_0^{\text{(CH}_3)_2\text{CH}} = +0,17$$

$$S_M^{\text{(CH}_3)_2\text{CH}} = +0,13$$

$$S_n^{\text{(CH}_3)_2\text{CH}} = +0,13$$

Из таблицы 2 видно, что при наличии в соединении протона, соседнего с OCH_3 -группой в спектре присутствуют резонансные сигналы с химическими сдвигами 6,44—6,50 м. д. При указанных значениях параметров во всех случаях наблюдается хорошее согласие между рассчитанными и наблюдаемыми значениями химических сдвигов.

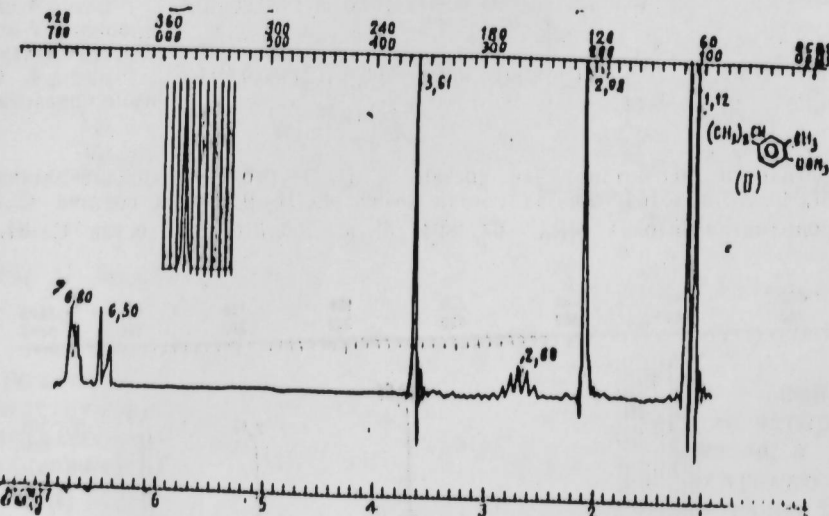


Рис. 3. Спектр ЯМР фракции (IV), кипящей при температуре 81,5—82,0°C/2,5 мм.
Вверху, слева — хроматограмма этой фракции.

Вид спектра (рис. 3) показывает, что четвертая фракция целиком состоит из 2-метил-4-изопропиланизола. Этот же продукт составляет главную часть третьей фракции—61% по данным электронного интегрирования спектра. Оставшиеся 39% приходятся на долю 2-метил-5-изопропиланизола. В соответствии с этим в области сигналов протонов кольца появляется дублет при 6,47 м. д. с константой спин-спинового взаимодействия 3 Гц. Спектр этой фракции содержит по два сигнала группы $-\text{OCH}_3$ и $-\text{CH}_3$, а также два дублета метилов изопропильной группы.

Пятая фракция также содержит два вещества—55% 2-метил-4-изопропиланизола и 45% 2-метил-3-изопропиланизола. Интерпретация спектра производится аналогично и не вызывает затруднений. Последняя, шестая фракция, содержит 71% 2-метил-4,6-динизопропиланизола с примесью 2-метил-4-изопропил- и 2-метил-5-изопропиланизола (11 и 18% соответственно).

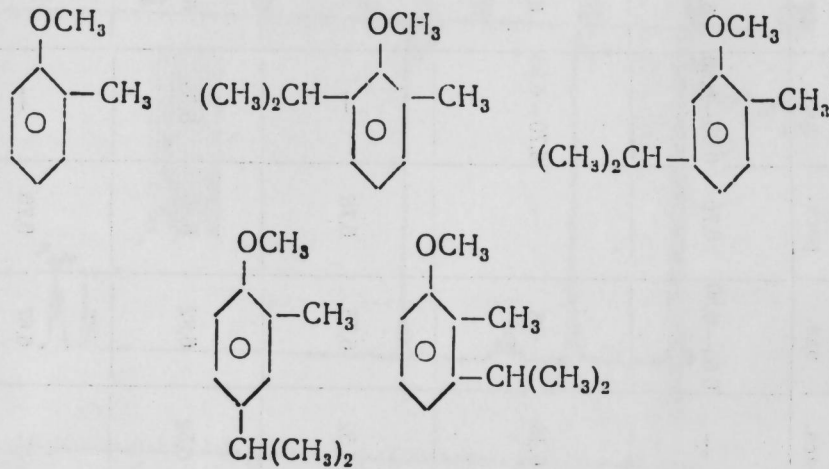
Таблица 2

Структура	Химические сдвиги							
	2 экз.	2 расч.	3 экз.	3 расч.	4 экз.	4 расч.	5 экз.	5 расч.
<chem>CC1(C)C(O)C=C1</chem>	—	—	6,65—6,80	6,76	6,65—6,80	6,61	6,65—6,80	6,80
<chem>CC1(C)C(O)C=C1</chem>	—	—	—	—	—	—	—	—
<chem>CC1(C)C(O)C=C1</chem>	6,47	6,48	—	—	6,70—6,85	6,57	6,70—6,85	6,80
<chem>CC1(C)C(O)C=C1</chem>	6,50	6,52	6,75	6,76	—	—	6,80	6,76
<chem>CC1(C)C(O)C=C1</chem>	6,44	6,52	6,82	6,60	6,65	6,57	—	—
<chem>CC1(C)C(O)C=C1</chem>	—	—	6,67	6,76	—	—	6,76	6,76
<chem>CC1(C)C(O)C=C1</chem>	—	—	—	—	—	—	—	—

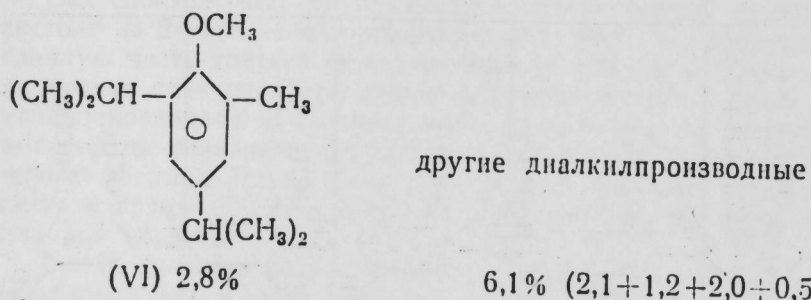
Поскольку исследуемый класс соединений синтезирован впервые и их спектры ЯМР ранее не изучались, то попутно отметим, что полученные из исследования спектров ЯМР этих соединений данные позволяют указать полезный критерий для определения структуры продуктов алкилирования метокситолуолов вообще. В том случае, когда изопропильная группа занимает орто-положение к группе CH_3O (например, у 2-метил-6-изопропил-или у 2-метил-4,6-дизопропиланизола), сигнал метинового протона расположен при 3,17—3,20 м. д. Если группа $(\text{CH}_3)_2\text{CH}$ расположена в орто-положении к метильной группе, сигнал CH -протона лежит при 3,00—3,05 м. д. Если же в орто-положении к изопропильной группе нет заместителей, то этот сигнал смещается еще дальше в сильное поле до 2,68—2,70 м.д.

Итак, при алкилировании ортометокситолуола пропиленом в присутствии серной кислоты получаются все соединенияmonoалкилпроизводных и диалкилпроизводные. Некоторые изомеры удается выделить в чистом виде.

Из сопоставления хроматограмм и спектров ЯМР алкилат и фракций можно установить, что алкилат в оптимальных условиях содержит соединения следующих структур в указанном процентном отношении:



(I) исходный эфир (II) 12,8% (III) 5,3% (IV) 26,5% (V) 5,7% 40,8%



Соединения I, II и IV выделены в чистом виде и идентифицированы. Остальные выделены, но не с достаточной степенью чистоты.

Сведения обо всех этих соединениях впервые приводятся нами.

2-метил-6-изопропиланизол (II) и 2-метил-4-изопропиланизол (IV), выделенные с хроматографической чистотой 100%, были испытаны¹, на наличие у них гермистатических свойств и было установлено, что эти соединения обладают мягкой гермистатической активностью в отношении кислотоупорных бактерий и патогенных грибков. Они *in vitro* затрудняют рост микроорганизмов в следующих концентрациях (табл. 3).

Таблица 3*

Микроорганизмы	концентрация	
	II	IV
Палочка человеческого туберкулеза (глуб. рост)	1:1600	1:3000
Палочки птичьего туберкулеза	1:200	1:800
Кислотоустойчивый сапрофит <i>B₅</i>	0	1:200
Микроспорон	1:1600	1:12000
Трихофитон	1:800	1:3000
Ахорион	1:1600	1:6000
Актиномицет	1:400	1:800
Дрожжепод. грибок (<i>Candida alb.</i>)	1:400	1:800

* Препараты испытывались, начиная с разведения 1:200.

ЛИТЕРАТУРА

1. Jonson L., Leip A., J. Am. Chem. Soc., 43, 348, 1925. 2. Thomas A. E. Helv. Chim. Acta, 48, 5, 1057—60, 1965. 3. Enzell C. Acta Chem. Scand., 14, 81—5 1960. 4. Barreto H. S., Enzell C. Acta Chem. Scand., 15, 1313—18, 1961. 5. Yves Reme Naves. Parfum. Kosmetik, 43, 461 1962. 6. Синтез орг. препаратов, т. 1, стр. 43, Изд. ИЛ.. 1949. 7. Martin J. S., Dally B. P. J. Chem. Phys., 39, 1722 1963.

ИНХП

Поступило 4. III 1970

Р. Н. Исмаилов, Р. С. Элимэрданов, Ж. А. Устинюк, Е. Х. Мустафаев

Сулфат туршусунун иштиракы илэ ортометакситолуолун пропиленлэ алкилләшмәси

ХУЛАСЭ

Тәдгигатларда сульфат туршусунун иштиракы илэ ортометакситолуолун пропиленлэ алкилләшмә реаксијасы өјрәнилмишdir. Мүәјҗәнләшдирилмишdir ки, monoизопропил төрәмәнин эн јүксәк чыхымы (алкилатын 50,3%-и) 80°C-дә 80%-ли H_2SO_4 илэ апарылан реаксијада алыныр. Ефири: пропилен: туршу мол. иисбәти 1:2:1, газын сүр'ети исә 3 л/саат-да (ефири мигдары 0,25 мол. оларкән) олмалыдыр.

Гарышығын тәркиби хроматографија, инфрагырмызы спектр вә ИМР үсуллары илэ өјрәнилмишdir. Илк дәфә оларaq 2-метил-6-изопропил-(II), 2-метил-5-изопропил-(III), 2-метил-4-изопропил-(IV), 2-метил-3-изопропил-(V) вә 2-метил-4,6-дизопропиланизол-(VI) алымышдыр. Бу маддәләрин ИМР спектрләри тәдгиг едилемиш вә белә бирләшмәләри гурулушуну мүәјҗәнләшдирмәк үчүн фајдалы гејләр верилмишdir.

Тә'жин едилемишdir ки, иүвәдә һидрокен эсасән метокси группасы параллель орта-вәзијәтләрдә икән: изопропил группасы илэ әвәз олунур. Алкилатда 12,8% II, 5,5% III, 26,5% IV, 5,7% V вә 2,8% VI, 6,1% галан дизопропил төрәмәләр, 40,8% исә көтүрүлән ефириләрdir (I).

II вә IV бирләшмәләр зәриф гохулу, туршуя дәзүмлү, бактерија вә патокен кәбәләйнә гарышы гермистатик активлијә маликдир.

¹ Авторы благодарны А. Л. Микериной (ВНИФФИ) за испытание гермистатических свойств синтезированных соединений.

ОРГАНИЧЕСКАЯ ХИМИЯ

С. И. МЕХТИЕВ, М. А. ДАЛИН, Ю. Д. САФАРОВ, А. Г. ГУСЕЙНОВ

**ИССЛЕДОВАНИЕ РЕАКЦИИ ПРИСОЕДИНЕНИЯ АММИАКА
К МЕТАКРИЛОНИТРИЛУ**

Аминопроизводные ненасыщенных алифатических нитрилов являются ценными продуктами для синтеза различных органических соединений. Имеются сообщения [1—5] о том, что аминонитрилы используются в качестве промежуточных продуктов для получения биологически активных веществ, ингибиторов коррозии, лекарственных препаратов, красителей, волокон и пластических материалов.

Разработка процесса получения метакрилонитрила (МАН) окислительным аммонолизом изобутилена [6—9] открывает широкие возможности для использования этого мономера в различных синтезах, в частности, для получения его аминопроизводных.

Имеющийся литературный материал по синтезу аминонитрилов свидетельствует о том, что реакция присоединения аммиака к МАН с образованием аминопроизводных последнего почти не изучена. Лишь в одной работе [10] имеется сообщение о возможности получения β -аминоизобутиронитрила путем взаимодействия ацетальдегида, хлоргидрата метиламина и цианистого натрия.

Нами разработан способ получения β -аминоизобутиронитрила путем присоединения аммиака к метакрилонитрилу в присутствии гидроокисей щелочных металлов [11].

В настоящей работе приводятся основные результаты исследования реакции полярного присоединения аммиака к МАН с целью получения β -аминоизобутиронитрила.

Экспериментальная часть

В опытах использован МАН, выделенный из продуктов окислительного аммонолиза изобутилена с концентрацией 99,5% вес. и следующими константами: температура кипения—91°C при 760 мм рт. ст., d_4^{20} —0,805, n_D^{20} —1,3950. В качестве катализатора применяли едкое кали 2% от веса исходного сырья. Опыты проводились в качающемся автоклаве с рабочим объемом 1 л, оборудованным терморегулятором.

Выделение непрореагировавшего аммиака и МАН из реакционной смеси осуществляли разгонкой при температуре 100°C и атмосферном

Физико-химические константы и элементарный состав аминопроизводных метакрилонитрила

Наименование продукта	Формула	Темп. кип. °С/мм рт. ст.	n_D^{20}	d_4^{20}	$M R_D$	Элементарный состав, % вес.				
						найдено				
						C	H	N	вычислено	
-аминопропионитрил	$\text{NH}_2\text{CH}_2\text{CH}(\text{CH}_3)\text{CN}$	85—90/14	1,4360	0,921	24,10	23,91	56,90	9,49	33,21	
β , β' -диминодизобутиронитрил	$\text{NH}(\text{CH}_2\text{CH}(\text{CH}_3)\text{CN})_2$	115—120/14	1,4530	0,941	43,42	43,63	62,96	8,68	27,81	
β , β' , β'' -триминодизобутиронитрил*	$\text{N}(\text{CH}_2\text{CH}(\text{CH}_3)\text{CN})_3$	—	—	—	—	—	65,80	3,20	25,68	
								66,10	8,25	25,70

* β , β' , β'' -триминодизобутиронитрил является твердым веществом с температурой плавления 63°C.

давлении. β -аминоизобутиронитрил и β, β' -имиинодизобутиронитрил были выделены путем вакуумной разгонки при остаточном давлении 14 мм рт. ст. и температуре, соответственно, 85—90°C и 115—120°C. β, β', β'' -нитрилотриизобутиронитрил был выделен обработкой остатка после вакуумной разгонки спирто-эфирным раствором.

Физико-химические константы и элементарный состав полученных аминопроизводных метакрилонитрила приведены в таблице.

Для установления оптимальных условий реакции было изучено влияние основных параметров—температуры, молярного соотношения исходных компонентов, времени реакции и концентрации аммиака в водном растворе на выход β -аминоизобутиронитрила.

Влияние температуры на реакцию присоединения аммиака к МАН изучалось в интервале 60—180°C (рис. 1). Из полученных данных видно, что с повышением температуры до 140°C увеличивается суммарная степень превращения МАН и выход β -аминоизобутиронитрила при одновременном снижении выходов β, β' -имиинодизобутиронитрила и β, β', β'' -нитрилотриизобутиронитрила.

Дальнейшее повышение температуры приводит к снижению выхода β -аминоизобутиронитрила за счет образования смолообразных

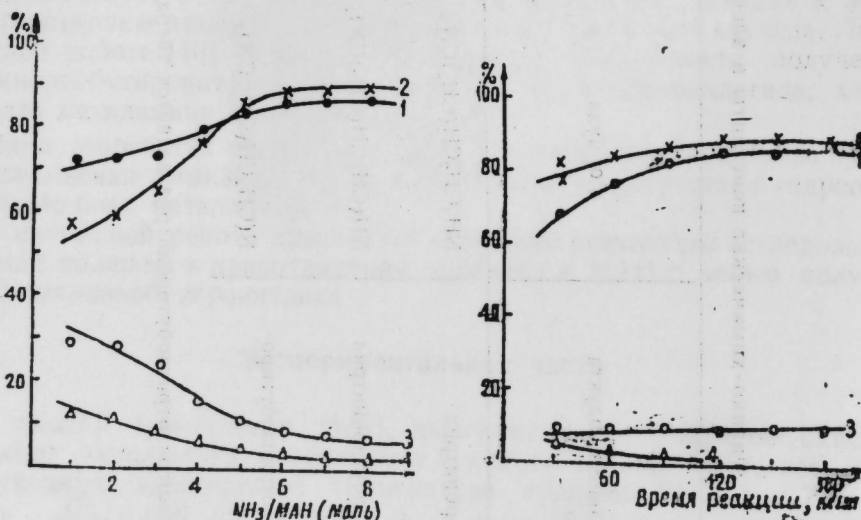


Рис. 1. Влияние температуры на результаты процесса при времени реакции 120 мин, мольном соотношении МАН: NH₃ = 1 : 6, конц. NH₃ в водном растворе 30% вес. (обозначения те же, что и на рис. 1).

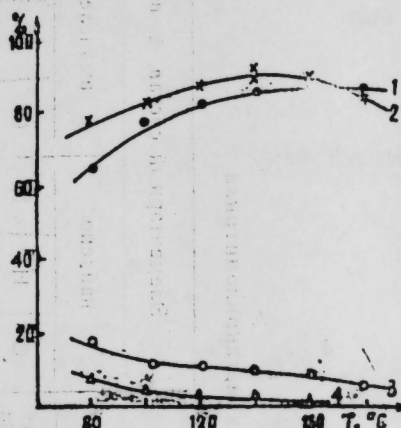


Рис. 2. Влияние молярного соотношения аммиака и МАН на результаты процесса при температуре 140°C, времени реакции 120 мин, конц. NH₃ в водном растворе 30% вес. (обозначения те же, что и на рис. 1).

продуктов (на рисунке не показано). Максимальный выход β -аминоизобутиронитрила—90% на превращенный МАН в изученных условиях имеет место при температуре 140°C.

Результаты изучения влияния молярного соотношения исходных компонентов показаны на рис. 2. Из этого рисунка видно, что максимальный выход β -аминоизобутиронитрила достигается при соотношении свыше 5 моль аммиака на 1 моль МАН. Уменьшение молярного отношения аммиака к МАН приводит к снижению выхода β -аминоизобутиронитрила за счет пропорционального увеличения β, β' -имиинодизобутиронитрила. При этом несколько уменьшается суммарная степень превращения МАН.

Влияние времени реакции на выход аминопроизводных МАН изучалось в пределах 30—180 мин (рис. 3). Как видно из этого рисунка, суммарная степень превращения МАН и выход β -аминоизобутиронитрила при времени реакции 120 мин достигают максимального значения и составляют соответственно 85 и 90%. Дальнейшее увеличение времени реакции не оказывает существенного влияния на показатели процесса.

Далее была изучена зависимость выхода β -аминоизобутиронитрила от концентрации аммиака в водном растворе в пределах 5—40% вес. Результаты опытов этой серии графически изображены на рис. 4, из которого видно, что максимальный выход β -аминоизобутиронитрила—

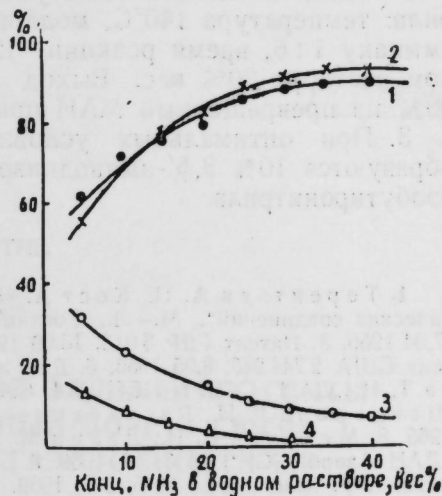


Рис. 4. Влияние концентрации аммиака в водном растворе на выход аминопроизводных МАН при температуре 140°C, времени реакции 120 мин, мольном отношении МАН: NH₃ = 1 : 6. (обозначения те же, что и на рис. 1).

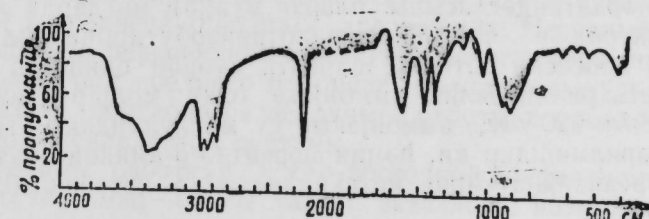


Рис. 5. ИК-спектры поглощения β -аминоизобутиронитрила.

90% при суммарной степени превращения МАН 85% имеет место при использовании не менее 30%-ного водного раствора аммиака. Уменьшение концентрации аммиака в водном растворе приводит к снижению выхода β -аминоизобутиронитрила за счет увеличения побочных продуктов реакции. При этом также наблюдается значительное снижение суммарной степени превращения МАН. Полученный β -аминоизобутиронитрил выделялся из продуктов реакции в чистом виде. Чистота его определялась методом ИК-спектроскопии в стандартных условиях в области 400—4000 cm^{-1} (рис. 5).

Выводы

1. Исследована реакция присоединения аммиака к метакрилонитрилу с целью получения β -аминоизобутиронитрила.
2. Найдены оптимальные условия получения β -аминоизобутиронитрила: температура 140°C, молярное соотношение метакрилонитрила к аммиаку 1:6, время реакции—120 мин, концентрация аммиака в водном растворе 30% вес. Выход β -аминоизобутиронитрила составляет 90% на превращенный МАН при конверсии последнего 85%.
3. При оптимальных условиях в качестве побочных продуктов образуются 10% β , β' -иминоизобутиронитрила и β , β' , β'' -нитрилопропионитрила.

ЛИТЕРАТУРА

1. Терентьев А. П., Кост А. Н. Сб. „Реакции и методы исследования органических соединений“. М.—Л., Госхимиздат, т. 2, 1952. 2. Патент США 2 742 491, 17.04.1956. 3. Патент ГДР 5013, 13.09.1954. 4. Патент ФРГ 923 065, 3.02.1955. 5. Патент США 2 744 943, 8.05.1956. 6. Далин М. А., Мехтиев С. И., Расулбекова Т. И. ДАН СССР*, 154, № 4, 854, 1964. 7. Далин М. А., Мехтиев С. И., Шендерова Р. И., Расулбекова Т. И. ДАН Азерб. ССР*, т. 21 № 6, 22, 1965. 8. Мехтиев С. И., Далин М. А., Расулбекова Т. И., Гусейнов А. Г. ДАН Азерб. ССР*, № 3, 44, 1969. 9. Мехтиев С. И., Гусейнов А. Г., Саламов Р. Г. Хим. пром., № 5, 387, 1969. 10. Chem. Abstr. 44, 3941, 1950. 11. Авт. свид. СССР, № 250.123 от 15 июля 1967 г. Бюллетень изобретений, № 26, 1969.

ВНИИОлефин

Поступило 2.VII 1969

С. И. Меңдиев, М. А. Далин, І. Ч. Сәфәров, А. Н. Һүсейнов

Аммонјакын метакрилонитрилә бирләшмә реаксијасынын тәдгиги

ХУЛАСӘ

Мәгаләдә β -аминоизобутиронитрил алмаг мәгсәди илә аммонјакын метакрилонитрилә бирләшмә реаксијасынын тәдгигинин нәтижеләри вәрилмишdir.

Мүәյҗән едилмишdir ки аммонјакын метакрилонитрилә бирләшмә реаксијасынын әсас мәңсулу β -аминоизобутиронитрилdir. Бундан әlavә, реаксија шәраитиндән асылы олараг мүәйҗән мигдарда β , β' -иминоизобутиронитрил вә β , β ', β'' -нитрилопропионитрил алыныр. Ейни заманда, просесин оптимал шәраити мүәйҗән едилмиш (температура 140°C, метакрилонитрилин аммонјака олан молјар иисбәти 1:6, реаксија мүддәти 120 дәг, аммонјакын су мәһлүлүндакы гатылығы—30%) вә көстәрилмишdir ки, һәмни шәраитдә β -аминоизобутиронитрил чыхымы реаксија кирәни метакрилонитрилә нәзәрән 90% олур.

АЗЭРБАЙЧАН ССР ӘЛМЛӘР АКАДЕМИЈАСЫНЫН МӘРУЗӘЛӘРИ

ДОКЛАДЫ АКАДЕМИИ НАУК АЗЕРБАЙДЖАНСКОЙ ССР

ТОМ XXVI

№ 6

1970

ГЕОЛОГИЯ

Г. Р. АЛИЕВ

ОСОБЕННОСТИ РАСПРЕДЕЛЕНИЯ ЗАЛЕЖЕЙ ПК СВИТЫ МЕСТОРОЖДЕНИЯ ПЕСЧАНЫЙ-МОРЕ В СВЯЗИ С ПЕРСПЕКТИВАМИ НЕФТЕГАЗОНОСНОСТИ ЕЕ

(Представлено академиком АН Азербайджанской ССР Ш. Ф. Мехтиевым)

Открытие морского нефтяного месторождения Песчаный-море свидетельствует о высокой перспективности морской части антиклинальной зоны Фатман—о. Песчаный. Эта зона представляет крупное складчатое сооружение, в период нижнего отдела ПТ подвергалась длительному устойчивому погружению и простирается от северного до южного побережья и далее на юг в Каспийское море.

В последнее время площадь Песчаный-море вошла в число морских месторождений, характеризующихся своими богатыми ресурсами и заслуженно пользующихся известностью, среди которых оно занимает одно из первых мест (по добыче нефти и газа).

Наличие промышленных залежей нефти и газа и признаков нефтегазоносности в среднеплиоценовых отложениях Песчаный-море дает основание оценить перспективы нефтегазоносности известной мощной продуктивной толщи среднего плиоцена положительно и рекомендовать дальнейшие поисково-разведочные работы в пределах морской части названной складчатой системы.

Сейсмическими работами в юго-восточной оконечности антиклинальной зоны Фатман—о. Песчаный оказалось возможным установить очертную ундуляцию ее оси на далеком юго-восточном погружении складки Песчаный-море. Здесь поисковые работы увенчались успехом в 1961—1963 гг. [1, 2], когда было выявлено новое палеоподнятие в районе скв. 26, 51 и др.

Положительные данные о нефтегазоносности подкирмакинской свиты были получены в процессе опытной эксплуатации отдельных скважин (из ПК). Так, скв. 62 (интервал 3250—3253 м), 466 (интервал 3201—3207 м) в северной части складки вошли в эксплуатацию с первоначальным суточным дебитом нефти соответственно 10 и 13 т, газа—220 и 93 тыс. м³. Аналогичные результаты также были получены в процессе опытной эксплуатации скв. 5, 6, 20, 49, 58, 63, 235, 326, 526, 527, 531 и др.

В центральной части складки промышленные притоки нефти, связанные с отложениями подкирмакинской свиты, были получены в

скв. 89 (интервал 3486—3490 м) и 91 (интервал 3553—3578 м). Они вошли в эксплуатацию с первоначальным суточным дебитом нефти соответственно 44 и 19 т, газа—70 и 250 тыс. м³.

Однако нужно отметить, что большая часть территории складки Песчаный-море (юго-восточная периклиналь) в нефтегазоносном отношении остается еще не полностью охарактеризованной, что объясняется большой сложностью ввода в эксплуатацию многих скважин (особенно по ПК). Это заключалось в том, что в начальный период разведки залежей ПТ было предположено закономерное размещение их (как верхнего, так и нижнего отдела ПТ) в сводовой части структуры. Однако пробуренные скважины оказывались безрезультатными. В дальнейшем проведение поисково-разведочных работ с более широким охватом структуры Песчаный-море, приводило к открытию богатых залежей ПТ, расположенных не на приподнятых, а в более погруженных частях структуры. А это дает основание для поисково-разведочных работ именно в юго-восточном направлении, где могут быть выявлены ловушки двух типов—литологических и структурных. В связи с этим рекомендуется, что при поисках ловушек литологического типа необходимо ориентироваться на предполагаемую зону выклинивания песчаных пачек, а ловушек структурного типа—на поднятия выявленные сейсмическими работами.

Поэтому для оценки перспектив нефтегазоносности отложений ПК свиты, нами была составлена структурная карта по кровле ПК свиты, литофациальный профиль с указанием распределения залежей (за линию уровня взята кровля ПК свиты, рис. 1), карта равной песчанистости, подсчитанные по данным электрокаротажных диаграмм и сопоставление разрезов скважин (рис. 2).

Указанные графические материалы характеризуют общие черты структурных форм, особенностей изменения лиофаций и песчанистости ПК свиты. Это отражается на тектоническом развитии структурных форм, формировавшихся одновременно с накоплением осадков продуктивной толщи и играет немалую роль в распределении и формировании нефтегазовых залежей в отложениях среднеплиоценового возраста.

Перспективы нефтегазоносности оцениваются также на основе наличия структурного осложнения в районе скв. 26, 51 и др.; довольно широкого стратиграфического диапазона нефтегазоносности отложений среднего плиоцена и ряда других благоприятных геологических условий, которые дают основание предполагать о возможности увеличения здесь балансовых запасов залежей.

В пределах Апшеронской нефтеносной области отложения продуктивной толщи занимают значительную территорию. Северная граница ее отмечается в разрезах разведочных площадей Камни Два Брата, б. Цюрупа, б. Апшеронской, западная (по ПК)—в районе Локбатан (южное крыло) и Карадаг (южное крыло), юго-восточная—протягивается вдоль Апшеронского порога к Челекану, где красноцветная (аналог продуктивной толщи) толща занимает не только тот же стратиграфический интервал, что и продуктивная, но и обладает многими ее признаками.

В последней стратиграфической схеме отложения подкирмакинской свиты отнесены к низам II ритма осадконакопления [2].

На рассматриваемой территории отложения ПК свиты представлены (по литологическому составу) в основном глинами, песками, песчанистыми глинами, песчаниками и алевритами, незакономерно переслаивающимися между собой.

В разрезе ПК свиты песчаники преобладают над другими разно-

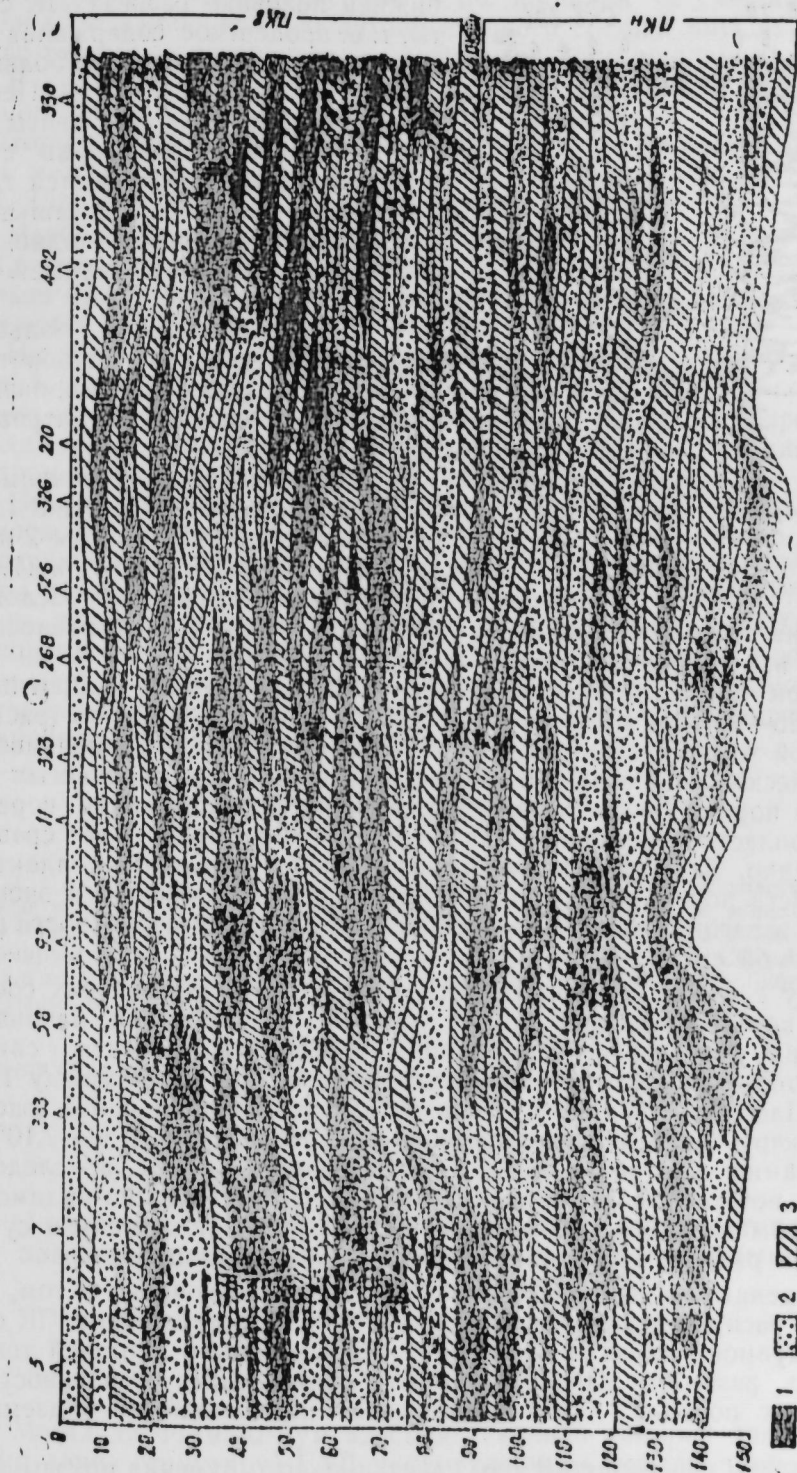


Рис. 1. Схема распределения залежей нефти в разрезе ПК свиты месторождения Песчаный-море: 1—залижи нефти; 2—пески; 3—глины.

стями пород. Мощности их колеблются в пределах 2–12 м (рис. 1 и 2) и обычно перекрываются чередующимися пачками алевролитов и глин различной мощности. Последние распределены в основном в

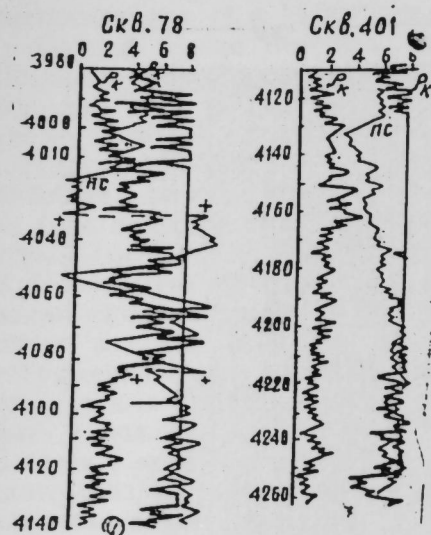


Рис. 2. Сопоставление каротажных разрезов ПК свиты.

глины на несколько нефтеносных прослоев. Мощность нефтеносных прослоев изменяется от 2 до 12 м.

Прослои песка по каротажу выражены кажущимся сопротивлением до 25–50 ом·м, а отдельные пески достигают 75–110 ом·м (рис. 2). В северной части месторождения обнаруживается часто изменчивость литологического состава (увеличение то песчаных, то глинистых материалов) пород ПК свиты, а в юго-восточном направлении чередование пропластков песчаных пачек с глинистыми происходит сравнительно редко. Здесь наблюдается значительное улучшение коллекторских свойств пород, увеличение мощности песчаных пачек и энергетических запасов, залежей, с чем связан рост нефтегазоносности рассматриваемой свиты.

Наряду с этим уместно отметить идентичность химических составов вод, которая отражает единые условия формирования, начиная с момента их образования и отложений горизонтов ПК свиты, свидетельствующие о существовании гидродинамической связи между ПК_{II} и ПК_V. Пластовые воды этих горизонтов представляют собой рассолы гидрокарбонатно-натриевого типа, минерализацией 1,0–2,10°Be. Гидродинамическая связь между горизонтами ПК свиты, а следовательно, и возможный переток жидкости из ПК_{II} в ПК_V, по-видимому, обусловлены наличием небольшой по мощности покрышки и существованием разрывного нарушения (продольных и поперечных).

Приведенные данные позволяют сделать заключение о том, что процессы распределения залежей нефти и газа в отложениях ПК свиты исследуемой площади непосредственно связаны с историей тектонического развития района, литолого-фаунистическими особенностями вмещающих пород и гидродинамическими особенностями подземных вод.

Результаты разведочных и эксплуатационного бурения показывают, что в юго-восточном направлении отложения ПК свиты находятся на больших глубинах, что подтверждается и геофизическими работами.

нижней половине разреза ПК свиты, т. е. процентное содержание их в низах свиты сравнительно больше, нежели в верхней части ее. Пески и песчаники разреза ПК свиты являются удовлетворительными коллекторами, где перекрываются глинисто-алевритовыми покрышками, что представляет собой одно из условий образования залежей нефти и газа.

В этом отношении большое практическое значение приобретает изучение условий формирования залежей ПК свиты рассматриваемого месторождения.

Залежи нефти приурочены к песчанным прослойям ПК свиты, в разрезе которой выделяются 2 продуктивных горизонта (ПК_V и ПК_{II}). Эти горизонты разделены прослойми

Результаты опытной эксплуатации дают возможность предположить, что существование здесь сложных условий распределения залежей и неравномерность насыщения отложений эксплуатационных объектов ПК свиты как по разрезу, так и по площади ее связано в первую очередь с изменчивостью литологического состава вмещающих пород и, во-вторых, с тектоническим строением месторождения.

В связи с этим степень заполненности ловушек по различным продуктивным горизонтам ПК свиты неодинакова. Так, пластины-коллекторы горизонта ПК_V содержат залежи более значительных размеров, нежели пластины-коллекторы ловушек продуктивного горизонта ПК_{II} (при аналогичных коллекторских свойствах).

Наибольшие высоты залежей отмечаются для ловушек горизонта ПК_V, глинисто-алевритовые покрышки над которыми имеют сравнительно большую мощность, а минимальные высоты — в горизонте ПК_{II}, имеющие покрышки меньшей мощности.

На неравномерное заполнение ловушек также влияет замещение одних разностей пород другими, выклинивание отдельных песчаных пачек и изменения коллекторских свойств пород по разрезу и площади, которые являются характерной особенностью природных резервуаров, вмещающих месторождения Песчаный-море.

Исходя из всего изложенного, дальнейшие перспективы нефтегазоносности ПК свиты необходимо связывать с далеким юго-восточным окончанием структуры. Рекомендуется продолжить разведочные работы на нефть и газ в отложениях ПГ в целом, в частности ПК свиты в указанной части складки на глубины порядка 3500–4500 м. Открытие новых нефтегазовых залежей здесь, и далее в юго-восточном направлении зависит от геолого-поисковых и разведочных работ, а также от степени усовершенствования строительства морских гидротехнических сооружений.

ЛИТЕРАТУРА

- Гоберман К. И. Отчет о сейсморазведочных работах на участке банка Матарова и прилегающих площадях южной части приапшеронского морского района в 1961–1962 гг., Баку, 1963.
- Мехтиев Ш. Ф. Вопросы происхождения нефти и формирования нефтяных залежей Азербайджана. Изд. АН Азерб. ССР, 1956.
- Трубкова Б. Д. Отчет о сейсморазведочных работах на площади Бибиэйбат-море—Песчаный-море, 1962–1963 гг. Баку, 1964.

Институт геологии

Поступило 28. XI 1968

Г. Р. Элиев

Гум-дәнис структурunda нефтгазлылыг перспективлиги илә
эла гәдар олары ГАД-ын нефт вә газ жатагларының язылма
хүсусијәтләри һагында

ХУЛАСЭ

Мәгәләдә Фатмајы-Гум аdasы антиклинал кәмәрин дәнис саһесинде (Гум-дәнис структуру) ГАД чөкүнүләринин нефтилийинин пајланма хүсусијәтләри, ГАД-ын нефтгазлылыг перспективлиги вә еләчә дә кәләчәк кәшфијат ишләринин истигамәти верилмишdir. Бу мәгәләдә

истисмар олунан (ГАД үзрә) гујуларын мә'луматларына вә истисмара дахил олмајан гујуларын каротаж хүсусијәтләринин анализинә әсасен јатағын узаг чәнуб-шәрг һиссәсендә ГАД чекүнтүләринин нефтгазлыг перспективлиji һағында дәгиг мә'луматлар көстәрилмишdir.

Бунунла йанаши олараг, гујуларын каротаж кәсилишләри вә сынанмасындан алышан иәтичәләр әсасында ГАД чекүнтүләринин нефтилијинин кәсилиш, саһә үзрә јајымасыны көстәрән профил (1-чи шәклә бах) тәртиб олунмуш вә гујуларын каротаж кәсилишләринин мүгајисәси (2-чи шәклә бах) өјрәнилмишdir.

АЗЭРБАЙЧАН ССР ЕЛМЛӘР АКАДЕМИЈАСЫНЫН МӘРҮЗӘЛӘРИ

ДОКЛАДЫ АКАДЕМИИ НАУК АЗЕРБАЙДЖАНСКОЙ ССР

ТОМ XXVI

№ 6

1970

ПАЛЕОНТОЛОГИЯ

Дж. А. АЛЕСКЕРОВ

К ВОПРОСУ О ФИЛОГЕНЕ АПШЕРОНСКОГО РОДА *PSEUDOCATILLUS ANDRUSSOW*

(Представлено академиком АН Азербайджанской ССР А. А. Ализаде)

В связи с нефтегазоносностью апшеронских отложений на ряде площадей Азербайджана всестороннее изучение их представляет большой научный и практический интерес. Апшеронские отложения содержат также богатую моллюсковую фауну.

Стратиграфия и моллюсковая фауна апшеронского яруса изучались Н. И. Андрусовым, Д. В. Голубятниковым, В. В. Богачевым, К. А. Ализаде, В. П. Колесниковым, Г. И. Поповым, К. М. Султановым и др. Однако до настоящего времени остается не разработанным филогенез апшеронской фауны.

Семейство *Cardiidae* в апшеронском ярусе представлено 6-ю родами. Среди них немалое значение при расчленении апшеронских отложений на мелкие стратиграфические единицы имеют представители рода *Pseudocatillus*.

Результаты исследований, проводившиеся в течение 3-х лет под руководством акад. А. А. Ализаде, позволили нам высказать определенное мнение о филогенезе этого рода, которое проводится в настоящей статье.

Название *Pseudocatillus* в 1903 г. дал Н. И. Андрусов одной из секций *Monodacna* и относил сюда поитические и киммерийские виды. В 1923 г. он отнес к этой секции следующие виды: *Monodacna bakuanus* Andrus., *M. transcaspia* Andrus., *M. laevigata* Andrus., *M. belbatica* Andrus.

В. П. Колесников расширил объем этой секции, включив в нее такие виды, как *Pseudocatillus catilloides* (Andrus.), *Ps. isseli* (Andrus.), *Ps. cariniferus* (Andrus.), *Ps. dubius* (Andrus.), *Ps. incipiens* (Andrus.), *Ps. bakuanus* (Andrus.), *Ps. transcaspius* (Andrus.), совершенно справедливо исключил из секции *Monodacna laevigata* Andrus., *M. sublaevigata* Andrus., *M. belbatica* Andrus.

По мнению В. П. Колесникова, апшеронские виды рода *Pseu-*
tillus распадаются на четыре группы: 1) *Ps. bakuanus* (Andrus.), *Ps. transcaspicus* (Andrus.); 2) *Ps. isseli* (Andrus.), *Ps. cariniferus*

(Andrus.); 3) *Ps. dubius* (Andrus.). *Ps. praelaeviusculus* (Andrus.), *Ps. incipiens* (Andrus.); 4) *Ps. catilloides* (Andrus.).

Исходной формой для каждой группы он считает первостоящий вид в указанной выше номенклатуре, а для всех групп предком — *Ps. pseudocatillus*.

О происхождении представителей этой группы впервые высказался К. А. Ализаде. По его мнению, *Monodacna aktschagilica* Alz., вероятно, составляет начальную форму ашхаронских монодакн группы *M. carinifera* Andrus., а может быть и *M. bakuana* Andrus.

Г. И. Попов для рода *Pseudocatillus* дает следующий список фауны: *Ps. bakuanus* (Andrus.), *Ps. transcaspicus* (Andrus.), *Ps. dubius* (Andrus.), *Ps. deltocurtus* Popow var. *subsimmatica* Popow, *Ps. catilloides* (Andrus.), *Ps. cariniferus* (Andrus.). Он *Ps. isseli* (Andrus.) относит к виду *Ps. cariniferus* (Andrus.).

К. М. Султанов для систематики и филогении ашхаронского рода *Pseudocatillus* принимает точку зрения В. П. Колесникова.

При выявлении генетической связи между представителями рода *Pseudocatillus* различные исследователи придерживались различных точек зрения.

Как видно из вышеизложенного, не имея в руках богатую коллекцию ашхаронских кардиид, в частности представителей рода *Pseudocatillus*, В. П. Колесников не смог дать полную генетическую схему развития этого рода и ограничился разделением их на 4 группы, указывая для каждой группы исходную форму. По мнению автора, предковой формой всех ашхаронских *Pseudocatillus* является pontическая форма *Ps. pseudocatillides* и указывает, что "... между ними должен существовать ряд киммерийских и куяльницких промежуточных звеньев" (Колесников, 1950, стр. 179). Однако о промежуточных звеньях в работе В. П. Колесникова ничего не сказано.

Основываясь на том, что представители рода *Pseudocatillus* впервые появляются в разрезе среднего ашхарона, Г. И. Попов считает, что виды *Pseudocatillus* являются "... производными от каких-то ашхаронских моллюсков, вероятнее всего, от видов рода *Monodacna*" (Г. И. Попов, 1961, стр. 165).

С другой стороны, Г. И. Попов, считая *Ps. praelaeviusculus* (Andrus.) беззубым, без достаточных оснований относит его к роду *Adacna*, включая сюда также *Ps. incipiens* (Andrus.), описывает их под общим названием *Adacna praelaeviuscula* Andrus. Далее автор указывает на близость *Adacna praelaeviuscula* и *Ps. transcaspicus* пишет, что "... эту связь мы считаем все же мало вероятнее" (Г. И. Попов, 1961, стр. 165).

Изучив все признаки представителей рода *Pseudocatillus*, имеющихся в нашей коллекции в большом количестве, а также принимая во внимание их стратиграфическое распространение, мы приходим к выводу, что генетическое развитие видов рода *Pseudocatillus* происходило в двух направлениях.

Исходной формой первой группы, выделенной нами, является *Ps. cariniferus* (Andrus.), второй — *Ps. catilloides* (Andrus.). Обе формы встречаются в разрезе нижней части нижнего ашхарона вместе с акчагыльскими представителями родов *Cardium* и *Mactra*.

В группу *Ps. cariniferus* (Andrus.) входят: *Ps. isseli* (Andrus.), *Ps. transcaspicus* (Andrus.), *Ps. bakuanus* (Andrus.), *Ps. monopteris* A. A-Z. et Aleskerov, nov. sp., *Ps. dubius* (Andrus.), *Ps. incipiens* (Andrus.), *Ps. praelaeviusculus* (Andrus.) и *Ps. gracilis* A. A-Z. et Aleskerov, nov. sp. Изменение признаков в ряде *Ps.*

cariniferus — *Ps. monopteris* происходит в сторону постепенного уменьшения выпуклости, исчезновения киля и макушки. От *Ps. cariniferus* боковое ответвление составляет *Ps. gracilis*, у которого образуется киль на переднем поле. От *Ps. dubius* развивается генетическая ветвь *Ps. dubius* — *Ps. praelaeviusculus*. Признаки здесь изменяются в сторону сильного удлинения и увеличения неравносторонности раковин.

Указывая на генетическую связь между акчагыльскими и ашхаронскими формами, А. А. Али-заде считает, что *"Cardium tantali"* весьма близок к ашхаронским *Ps. cariniferus* (Andrus.), которые, по-видимому, генетически связаны между собой" (А. А. Али-заде, 1967, стр. 152).

Таким образом выясняется, что предком группы *Ps. cariniferus*, выделенной нами, является акчагыльская форма *Cardium tantali* A. Ali-zade.

В группу *Ps. catilloides* (Andrus.) кроме него также входят: *Ps. chazarensis* A. A-Z. et Aleskerov, *Ps. caspius* A. A-Z. et Aleskerov, которые развиваются в двух направлениях. Изменение признаков генетической ветви *Ps. catilloides* — *Ps. chazarensis* происходит в сторону увеличения выпуклости, несимметричности раковины и появления выдающейся макушки. В генетической ветви *Ps. catilloides* — *Ps. caspius* признаки изменяются в сторону появления клювовидно-завернутой, выдающейся макушки, вытягивания раковины к задне-нижнему углу, увеличения выпуклости и неравносторонности раковины.

А. А. Али-заде считает, что *Cardium praepseudocatillus* A. A-Z. et *Ps. catilloides* (Andrus.) обладают многими общими признаками, которые, по-видимому, генетически сближают их.

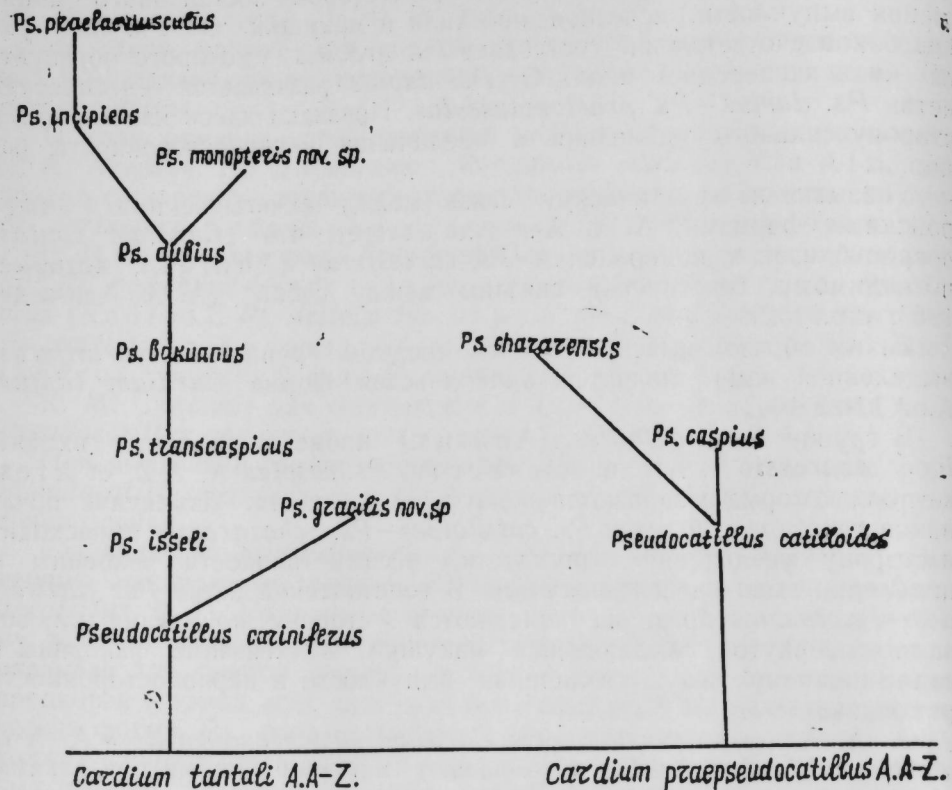
Мы полностью разделяем точку зрения А. А. Али-заде и предком группы *Ps. catilloides* (Andrus.) считаем акчагыльскую форму *Cardium praepseudocatillus* A. A-Z.

Следует отметить, что выявленные новые виды этого рода последующими исследователями по своим признакам могут быть помещены в предложенную филогенетическую схему.

Из видов рода *Pseudocatillus* — *Ps. gracilis* пока встречено в нижнеашхаронских отложениях, *Ps. cariniferus* и *Ps. catilloides* встречаются во всех 3-х подъярусах, а в верхнем ашхароне представлены в большом количестве *Ps. dubius* (Andrus.), *Ps. incipiens* (Andrus.), *Ps. monopteris* входят в состав руководящей группы среднего ашхарона, а *Ps. caspius* и *Ps. chazarensis* являются руководящими формами верхнего ашхарона.

ЛИТЕРАТУРА

1. Али-заде А. А. Акчагыл Туркменистана, т. I, изд. геол. охр. непр. Л., 1961, т. II, изд. "Недра", М., 1967. 2. Али-заде К. А. Акчагыльский ярус Азербайджана Изд. АН Азерб. ССР, Баку, 1954. 3. Али-заде К. А. К вопросу о происхождении фауны ашхаронского яруса. "ДАН Азерб. ССР", т. XVI, № 1, 1960. 4. Али-заде К. А. Темпы развития кардиид в позднецилоценовую эпоху (по материалам Азербайджана). Труды VIII сессии Всесоюзного палеонт. об-ва, Изд. "Недра", 1966. 5. Андрусов Н. И. Избранные труды, т. II, изд. АН СССР, М., 1963. 6. Богачев В. В. Руководящие окаменелости разреза Ашхаронского полуострова и прилегающих районов. Труды Азерб. нефт. ин-та, № 4, 1932 б. 7. Колесников В. П. Палеонтология СССР, т. X, ч. III, вып. 12. Изд-во АН СССР, Л. 1950. 8. Попов Г. И. Ашхаронский ярус Туркмении. Ашхабад, 1961. 9. Султанов К. М. Ашхаронский ярус Азербайджана. Азернешр, 1964.



Генетическая схема развития ашеронского рода *Pseudocatillus* Andrušsow.

Ч. Э. Элескэров

Ашерон мәртәбәси *Pseudocatillus* Andrušsow
чининин филогенезинә даир

ХУЛАСӘ

Ашерон чөкүнүләринин нефтилил-газлылығы илә әлагәдәр оларын һәртәрәфли өјрәнилмәсі нәзәри вә практики әһәмијәт кәсб едир. Үчиллик кеоложи ишләрин иәтичәси Ашерон мәртәбәси *Pseudocatillus* Andrušsow чининин иикишаф тарихи һаггында мүәжжән фикир сөйләмәјә имкан верир. Бу, яни палеонтологи мә'лумата әсасланыр.

Pseudocatillus чининин бүтүн нөвләринин хүсусијәтләри өјрәниләрәк белә иәтичәјә кәлинмишdir ки, бу чинин кеңетик иикишафы истигамәтдә олмушдур. Биринчи истигамәт Ашерон дөврүндә *Ps. cariniferus* нөвүндән, 2-чи истигамәт *Ps. catilloides* нөвүндән башлајыр. Биринчи группун иұмајәндәләри өз иикишафыны Акчагыл формасы *Cardium tantali* A. A.-z., иккинчи группун иұмајәндәләри исә *Cardium praepseudoctillus* A. A.-z. нөвүндән башлајыр. Мәгәләдә, енни заманда, һәр ики группун иикишаф хүсусијәтләри дә айынлашдырылыштыр.

АЗӘРБАЙҖАН ССР ЕЛМЛӘР АКАДЕМИЈАСЫНЫН МӘРУЗӘЛӘРИ

ДОКЛАДЫ АКАДЕМИИ НАУК АЗЕРБАЙДЖАНСКОЙ ССР

ТОМ XXVI

№ 6

1970

УДК 551.24 (479.24)

ГЕОЛОГИЯ НЕФТИ

А. С. ГАДЖИ-КАСУМОВ, А. А. ДЖАВАДОВ

О СТЕПЕНИ МЕТАМОРФИЗМА РАЗЛИЧНЫХ ФРАКЦИЙ НЕФТЕЙ АЗЕРБАЙДЖАНА

(Представлено академиком АН Азербайджанской ССР А. А. Якубовым)

Известно, что большинству месторождений Ашеронской нефтегазоносной области присуща тенденция увеличения плотности нефтей продуктивной толщи со стратиграфической глубиной, т. е. аномальное изменение. Одновременно в бензиновых фракциях увеличивается содержание простейших ароматических и метановых углеводородов, т. е. изменение углеводородного состава бензинов по разрезу здесь соответствует обычной закономерности, связанной с процессом термокаталитического метаморфизма нефтей.

Для объяснения противоречивых закономерностей залегания более тяжелых нефтей с более метаморфизованными бензинами ниже легких нефтей с менее метаморфизованными бензинами рядом исследователей [1, 2, 3] и привлечены факторы химического метаморфизма (в нижнем отделе) и адсорбционные процессы при вертикальной миграции (в верхнем отделе). В некоторых случаях аномально повышенный метаморфизм бензиновых фракций может быть также объяснен [4] все еще продолжающейся миграцией метаморфизованной нефти со стороны Южно-Каспийской впадины.

Целью настоящей работы является детализация вопроса о характере метаморфизма бензиновых фракций нефтей отдельных свит и горизонтов по разрезу продуктивной толщи, а также изучение степени метаморфизма более высококипящих фракций — лигроиновых и керосиновых.

В качестве показателей степени метаморфизма отдельных фракций нефтей рассмотрено содержание во фракциях метановых углеводородов, а также отношение суммы метановых и ароматических углеводородов к нафтеновым ($\frac{Ar + Me}{Np}$). Данные о групповом углеводородном составе отдельных фракций нефтей заимствованы из работы [5].

Имеющийся фактический материал позволяет рассмотреть характер изменения группового углеводородного состава бензиновых фракций нефтей по разрезу продуктивной толщи в пределах 4-х месторожде-

Бий-Сураханского, Калинского, Балаханы-Сабунчи-Раманинского и нибиэйбатского (последнего лишь до НКП свиты включительно).

Как видно из рис. 1, в пределах всех указанных месторождений

вниз по разрезу продуктивной толщи несмотря на утяжеление нефти довольно отчетливо отмечается возрастание степени термокатализического метаморфизма ее бензиновых фракций (отношение суммы ароматических и метановых углеводородов к нафтеновым). Аналогичное явление отмечается также и при рассмотрении характера изменения содержания в бензинах метановых углеводородов — их содержание также увеличивается вниз по разрезу продуктивной толщи.

Перейдем к рассмотрению ранее не изучавшегося вопроса — характера изменения степени метаморфизма лигроиновых фракций нефтей вниз по разрезу продуктивной толщи.

Возрастание степени метаморфизма лигроиновых фракций нефтей

Рис. 1. $\frac{Ar+Me}{Mn}$ в бензинах: 1. Сураханы; 2. Кала; 3. Балаханы-Сабунчи-Раманы; 4. Бибиэйбат.

$(\frac{Ar+Me}{Nn})$ вниз по разрезу продуктивной толщи четко выражено лишь в пределах Калинского месторождения. Сураханскому и Бибиэйбатскому месторождениям присуща лишь тенденция к такому изменению (высокие величины отношения $\frac{Ar+Me}{Nn}$ отмечаются в низах

продуктивной толщи — подкирмакинской и калининской свитах в Сураханском месторождении и НКГ и НКП свитах Бибиэйбатского месторождения).

Более отчетливое увеличение степени метаморфизма лигроиновых фракций нефтей по разрезу продуктивной толщи этих же месторождений отмечается при рассмотрении другого показателя — содержания в лигроинах метановых углеводородов. Из рис. 2 видно, что по Калининскому и Бибиэйбатскому месторождениям, несмотря на утяжеление нефти вниз по разрезу продуктивной толщи одновременно отмечается возрастание в лигроинах содержания метановых углеводородов. По Сураханскому месторождению намечается тенденция к такому изменению (максимальное содержание метановых углеводородов в лигроиновых фракциях присуще низам разреза — подкирмакинской и калининской свитах). Лигины нефтей Балаханы-Сабунчи-Раманинского

месторождения при рассмотрении характера изменения степени их метаморфизма из отмеченной тенденции выпадают. Однако при этом необходимо иметь в виду, что залежи продуктивной толщи Балаханы-Сабунчи-Раманинского месторождения в отличие от трех других рассматриваемых имеют выход на дневную поверхность, что может оказать существенное гипергенное влияние на характер изменения свойств отдельных фракций нефти.

Значительный интерес представляет рассмотрение характера изменения показателей степени метаморфизма отдельных фракций нефти не по отдельным горизонтам и свитам, а в целом сопоставление нефтей верхнего и нижнего отделов (сортовые нефти).

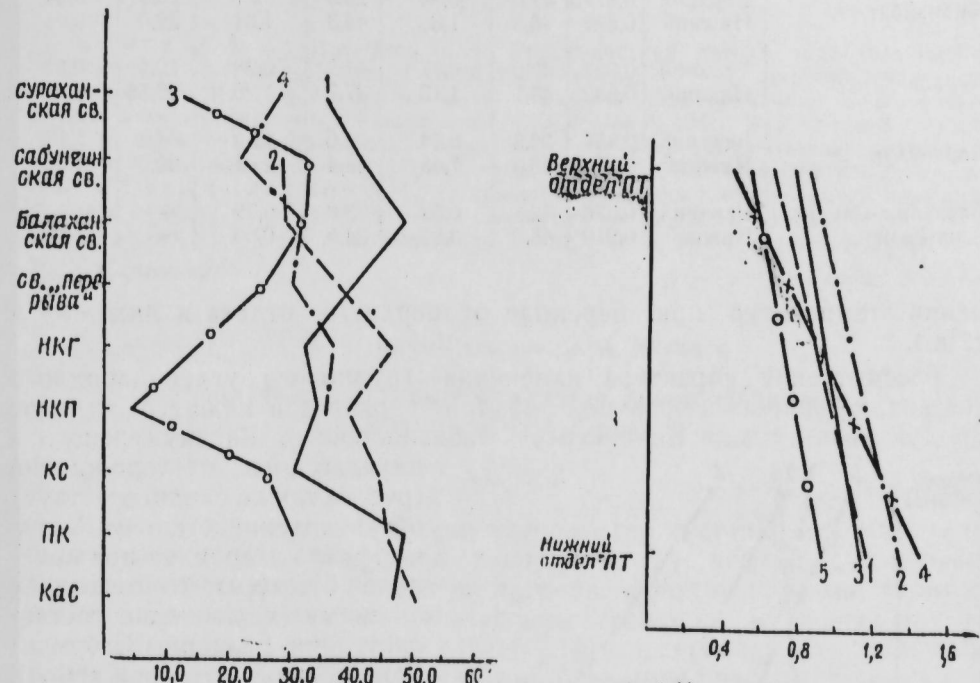
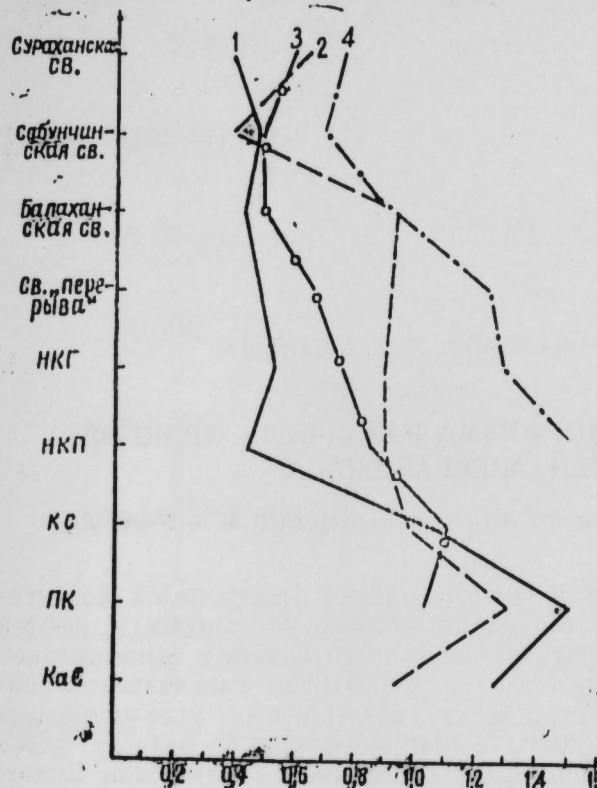


Рис. 2. Содержание метановых углеводородов в лигроинах, %: 1. Сураханы, 2. Кала, 3. Балаханы-Сабунчи-Раманы, 4. Бибиэйбат.

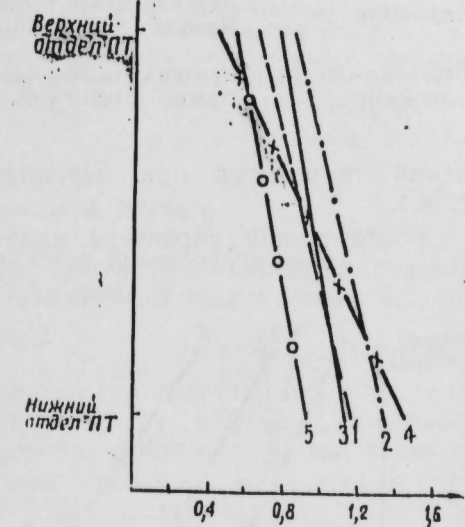


Рис. 3. $\frac{Ar+Me}{Nn}$ в бензинах: 1. Кала, 2. Бибиэйбат, 3. Карадаг, 4. Каракчукур, 5. Балаханы-Сабунчи-Раманы.

Как видно из приведенной таблицы, а также рис. 3, увеличение степени термокатализического метаморфизма бензиновых фракций нефтей при переходе от верхнего отдела к нижнему имеет место во всем пяти рассматриваемых месторождениях.

При этом обращает на себя внимание характер такого изменения. Как видно из рис. 3, прямые, соединяющие точки с показателями степени метаморфизма бензинов, располагаются параллельно или примерно параллельно друг другу, т. е. градиенты изменения показателей степени метаморфизма бензиновых фракций нефтей при переходе от верхнего отдела к нижнему примерно одинаковы (за исключением Каракчукурского месторождения). Это в определенной степени свидетельствует об определенной направленности процессов термокатализического метаморфизма в бензиновых фракциях нефтей верхнего и нижнего отделов (примерно одинаковые составы "исходных" нефтей, заполнивших ловушки при формировании залежей, градиенты изме-

Изменение степени метаморфизма различных фракций нефтей по разрезу месторождений Азербайджана

Месторождение	Отдел продуктивной толщи	Плотность нефти, $\text{g}/\text{см}^3$	Бензин		Лигрони		Керосин	
			Содержание метановых, %	$\text{Ar} + \text{Me}$ Nn	Содержание метановых, %	$\text{Ar} + \text{Me}$ Nn	Содержание метановых, %	$\text{Ar} + \text{Me}$ Nn
Кала	Верхний	0,868	38,0	0,65	27,9	0,56	33,5	1,0
	Нижний	0,880	51,0	1,15	41,6	1,07	37,7	1,22
Бибиэйбат	Верхний	0,8775	42,0	0,84	29,3	0,71	25,9	0,94
	Нижний	0,887	46,8	1,33	44,3	1,81	22,0	0,93
Карадаг	Верхний	0,904	40,0	0,77	11,6	0,28	12,5	0,52
	Нижний	0,8825	43,1	1,13	37,7	1,26	26,55	1,07
Карабухур	Верхний	0,854	28,8	0,44	39,6	1,19	34,8	1,17
	Нижний	0,878	48,0	1,45	48,4	2,64	29,0	1,30
Балаханы-Сабунчи-Раманы	Верхний	0,876	32,8	0,52	29,8	0,78	—	—
	Нижний	0,919	45,5	0,92	24,0	0,60	—	—

нения температур при переходе от верхнего отдела к нижнему и т. д.).

Рассмотрение характера изменения группового углеводородного состава лигроиновых фракций нефтей верхнего и нижнего отделов продуктивной толщи Калинского, Бибиэйбатского, Карабухурского и

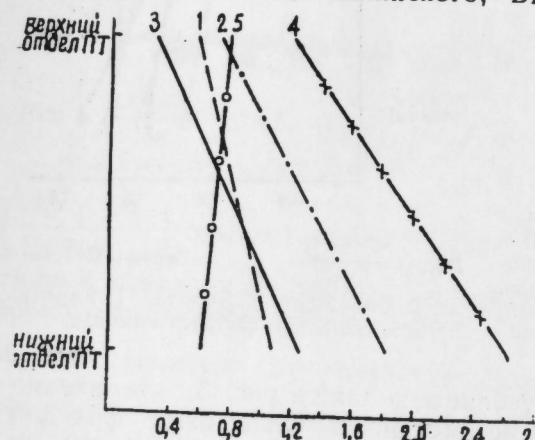


Рис. 4. $\frac{\text{Ar} + \text{Me}}{\text{Nn}}$ в лигроинах: 1. Кала, 2. Бибиэйбат, 3. Карадаг, 4. Карабухур, 5. Балаханы-Сабунчи-Раманы.

Карадагского месторождений (рис. 4) также свидетельствует об увеличении степени метаморфизма лигроинов при переходе от верхнего отдела к нижнему (исключение составляет лишь Балаханы-Сабунчи-Раманыское месторождение).

При этом обращает на себя внимание так же, как и в предыдущем случае, характер расположения прямых на графике.

Значительный интерес представляет рассмотрение характера изменения группового углеводородного состава керосиновых фракций нефтей верхнего и нижнего отделов. Как видно из таблицы, несмотря на

возрастание величины плотности нефти при переходе от верхнего отдела к нижнему по Калинскому, Карадагскому и Карабухурскому месторождениям отмечается также и возрастание степени метаморфизма их керосиновых фракций (увеличение величины отношения $\frac{\text{Ar} + \text{Me}}{\text{Nn}}$ в керосинах вниз по разрезу). При этом по Калинскому и Карадагскому месторождениям характер изменения указанного показателя подтверждается также и увеличением содержания метановых

углеводородов в керосинах при переходе от верхнего отдела к нижнему.

Таким образом, приведенный в настоящей статье фактический материал свидетельствует о том, что вниз по разрезу продуктивной толщи несмотря на увеличение плотности нефти отмечается повышенное степень термокатализитического метаморфизма не только бензиновых, но и лигроиновых фракций.

При рассмотрении характера изменения группового углеводородного состава отдельных фракций нефтей более крупного стратиграфического интервала—верхнего и нижнего отделов продуктивной толщи увеличение степени метаморфизма в ряде случаев отмечается и для керосиновых фракций.

ЛИТЕРАТУРА

1. Карцев А. А., Шугрин В. П. Геохимические методы исследования при поисках нефти и газа. «Недра», 1964. 2. Еременко Н. А. О закономерности в распределении нефтей по удельным весам в разрезе месторождений Апшеронского полуострова. «Нефтяная промышленность СССР», № 3, 1941. 3. Гаджи-Касумов А. С. О характере распределения нормальных метановых и изометановых углеводородов в бензиновых фракциях нефтей Азербайджана. «Геология нефти и газа», № 4, 1968. 4. Гаджи-Касумов А. С. О причинах различия свойств нефтей верхнего и нижнего отделов продуктивной толщи Апшеронской области. «Нефть и газ», № 12, 1966. 5. Ашумов Г. Г. Азербайджанские нефти. Изд-во АН Азерб. ССР, 1961.

НПУ Карадагнефти

Поступило 9. XI 1961

А. С. Ыачы-Гасымов, Э. А. Чавадов

Азэрбајҹан нефтинин мұхтәлиф фраксијаларында метаморфизм дәрәчәси

ХУЛАСӘ

Мәғаләдә верилмиш фактикли материаллар көстәрир ки, Мәһсүлдар гатын кәсилишиндә јухарыдан ашағы дағру нефтин сыйлығының артмасына баҳмајараг, бензин вә лигроин фраксијаларының термокателетин метаморфизләшмә дәрәчәсинин ѡуксәлмәси мүшәнидә олунур. Бунунла бәрабәр, даһа бөйүк стратиграфик интервалларда—Мәһсүлдар гатын алт вә үст шө'бәсіндә нефтин айры-айры фраксијаларының группарбонидрокен тәркибләринин дәјиши мә характери нәзәрдән кечириләркән метаморфизм дәрәчәсинин артмасы, бир сырға һалларда керосин фраксијасында да гејд олунур.

АНАТОМИЯ РАСТЕНИЙ

З. А. НОВРУЗОВА

ОСОБЕННОСТИ ФОРМИРОВАНИЯ ПОБЕГА ПРЕДСТАВИТЕЛЕЙ РОДА БОЯРЫШНИКА (*CRATAEGUS* L.) В СВЯЗИ С ЭКОЛОГИЕЙ

(Представлено академиком АН Азербайджанской ССР М. Г. Абуталыбовым)

Боярышник составляет обширный род (свыше 1200 видов), в СССР растут около 50 видов, на Кавказе и в Азербайджане виды этого рода распространены в различных условиях местообитания. Представители рода *Crataegus* известны в ископаемом состоянии из третичного периода, нижнетретичной эпохи—олигоцена [3]. За столь продолжительный период этот род несомненно подвергался влиянию резких перемен внешних условий, которые имели место в геологическом прошлом и не могли не отразиться на внутреннюю структуру видов этого рода.

В Азербайджане ряд видов боярышника приурочен к горным лесным районам—к нижнему и среднему горному; отдельные виды заходят в субальпийский горный пояс (Деревья и кустарники СССР. 1954; Флора Азербайджана, 1954).

Характерным местообитанием видов боярышников являются опушки, лесные поляны, кустарниковые заросли на склонах (*C. kyrtostyla* и др.), некоторые виды более свойственны лесам и образуют под пологом леса с низкой или средней сомкнутостью крон кустарниковый подлесок (*C. microphylla*, *C. kyrtostyla* и др.). Особую группу составляют ксерофитные виды, распространенные преимущественно в южных районах Закавказья, на сухих каменистых склонах (*C. orientalis*, *C. caucasica* и др.). Виды этой группы заходят в состав аридных редколесий или растут рассеянно на сухих каменистых склонах.

У видов *C. kyrtostyla* и *C. meyeri* особи распространены как в мезифильных, так и в ксерофильных условиях. Такие виды нами отнесены к особому экологическому типу—ксерофитондам. Ксерофитные особи ксерофитондных видов так же, как и ксерофитные виды отличаются рядом структурных особенностей (распределением сосудов, расположением перфораций сосудов, их поровостью, типами древесной и лучевой паренхимы и др.). При этом ксерофитные виды характеризуются эволюционно более подвижными признаками строения [4]. Следовательно, у ксерофитондов стебель содержит наряду с эволюционно развитыми сравнительно примитивные признаки.

Для изучения одного из основных процессов индивидуального развития у представителей рода боярышника с целью установления пути структурной специализации их вегетативных органов и степени приспособленности и приспособляемости структурных признаков к условиям существования в течение 1965—1967 гг. проводились исследования над двумя видами этого рода—боярышника восточного и боярышника согнутостолбикового, относящихся к различным экологическим типам: *C. orientalis*—к ксерофитам, *C. kyrtostyla*—к ксерофитондам. Изучались особенности развития побега—стебля и листа. Исследование проводилось на особях интродуцированных в условиях Апшерона. Работа началась с сентября 1965 г. и продолжалась по сентябрь 1967 г.

За этот период в осенние и зимние месяцы через каждый месяц, в весенние и летние месяцы—через каждые 5—10 дней брались образцы побегов, которые подвергались изучению по морфологическим данным и препарировались образцы почек, листьев и стеблей для анатомического анализа.

Сформированные одногодичные побеги б. восточного и б. согнутостолбикового покрыты перидермой; при этом, у б. восточного феллера состоит из двух рядов крупных, удлиненных перпендикулярно к эпидермису клеток, тогда как у б. согнутостолбикового—эти клетки сплюснутые и направлены параллельно эпидермису. Колленхиматический слой у б. восточного расположен плотнее, чем у б. согнутостолбикового. Островки склеренхимных клеток у первого расположены также плотнее, чем у второго вида. У б. восточного, в отличие от б. согнутостолбикового, в коровой части встречаются идиобласти с ромбовидными кристаллами, реже друзы. В структурных элементах флоэмы— ситовидные трубки, клетки-спутники, флоэмная паренхима и лучи, а также камбиональная зона существенных различий не проявляют. Сердцевина у первого—многоугольная, у второго, в основном, округлая.

В листе б. восточного палисадная ткань состоит из 3-х слоев и часто занимает почти всю толщину листа, тогда как у б. согнутостолбикового палисадная ткань состоит из двух слоев, при этом второй слой состоит из низких клеток—1:1,5 или 1:2, верхний слой высотой клеток приравнивается к клеткам палисадной ткани второго вида, т. е. 1:3 и 1:4. В отличие от второго, на поверхности листа у первого встречаются волоски. Тип устьиц у первого ранункулонидный и кольцеклетный, у второго—только ранункулонидный. Количество устьиц в поле зрения у первого вида в два раза больше, чем у второго.

Строение проводящих пучков у сравниваемых видов отличается количественными признаками; б. восточный отличается более отчетливыми структурными элементами проводящих пучков.

Формирование побега—у б. восточного заложение вегетативных почек происходит на две недели раньше, чем у б. согнутостолбикового (в начале июня) и почки в 1,5 раза крупнее, чем у второго (2×2 мм). У первого листовых зачатков—10, у второго—8 пар. У первого почки распускаются в конце апреля, у второго—в начале апреля. У второго вида верхушечные почки высыхают или отмирают; у первого от верхушечных почек побег отрастает на целую неделю раньше, чем от пазушных.

У б. восточного листья оформляются во второй половине или в конце мая. Стебель завершает развитие в первой половине июня (продолжительность роста и развития—45 дней). У б. столбикового побег оформляется в середине июня (продолжительность роста и раз-

вития—60—70 дней). Заложение перидермы отмечено в конце мая; у второго—в начале июня.

Выявленные особенности у б. восточного—больший объем перидермы, колленхимы, механической ткани—в стебле, палисадной ткани, проводящих пучков—в листе, а также ранее заложение вегетативных почек, перидермы, короткая продолжительность роста и развития почек и побега и другие признаки развития указывают, что данный вид формировался в ксерофильных условиях.

Особенности развития побега б. согнутостолбикового свойственны мезофитам, что подтверждает формирование этого вида в мезофильных условиях. Однако некоторые особенности б. согнутостолбикового, так же как отмирание верхушечных почек и др. есть признак приспособления этого мезофита к сравнительно ксерофильным условиям.

Результаты исследования водопроводящего комплекса видов боярышников (З. А. Новрузова, 1967) показали, что б. восточный характеризуется эволюционной подчиненностью признаков строения (кольце-сосудистость, простые перфорации сосудов на поперечных их стенках, наличие волокон либриформы, квадратно-гомогенных лучей, кольце-клетный тип устьиц и др.). Б. согнутостолбиковый характеризуется примитивными признаками строения (рассеяннососудистость, метатрахеальная паренхима, гетерогенные лучи, только ранункулонидный тип устьиц и др.) и некоторыми подчиненными признаками (очередная межсосудистая поровость, вазицентрическая паренхима и др.).

Как видно, в ксерических условиях формируются виды с эволюционно-подчиненными признаками строения. Наличие, наряду с примитивными признаками у б. согнутостолбикового, также подчиненных структурных элементов характеризует его приспособляемость, а следовательно и пластичность этого вида, обуславливающих его широкое распространение.

Анализ анатомического исследования вегетативных органов в их индивидуальном развитии у представителей рода *Crataegus* приводит к следующим основным выводам.

1. Структурные элементы стебля и листа дифференцируются по меристемой, в основном, примитивными признаками, следовательно, специализация происходит в процессе развития вида.

2. Ксероморфогенез способствует формированию у растений эволюционно-подчиненных эндоморфологических признаков.

ЛИТЕРАТУРА

1. Дендрофлора Кавказа, т. IV. Изд. „Мецниереба“. Тбилиси, 1965.
2. Деревья и кустарники СССР, т. IV, Изд. АН СССР. М.—Л., 1958.
3. Касумова Г. М. История изучения флоры кайнозойских отложений Азербайджана. „Уч. зап. АГУ“, 1961.
4. Новрузова З. А. Водопроводящий комплекс древесных и кустарниковых растений в связи с экологией. Изд. АН Азерб. ССР, 1967.
5. Флора Азербайджана. Изд. АН Азерб. ССР, т. V, 1954.

Институт ботаники

Поступило 29. III 1968

3. Э. Новрузова

Еколохи шәрантлә әлагәдәр олараг бә'зи јемишан
(*Crataegus* L.) чинсләриндә зоғларын әмәләкәлмә хүсусијәтләри

ХÜLASӘ

Јемишан нөвләринин кениш јајымасы бу нөвүн мухтәлиф еколохи типләринин олмасы илә әлагәдардыр. Биткиләрин векетатив органларынын ихтисаслашма јолларыны, шәрантә ујгунашмаларыны вә

ујгунашма габилијәти дәрәчәсини өјрәнмәк мәгсәди илә мухтәлиф еколохи типли 2 нөвүн зоғлары үзәриндә мугајисәли анатомик тәдгигат апарылышыдыр: ксерофит—*C. orientalis* вә ксерофитонд—*C. kyrrostyla*.

Нәтичәдә Шәрг јемишанынын көвдәсниндә йүксәк һәчмли перидерм, колленхим вә механики тохумалар, јарпагда йүксәк һәчмли чәпәри паренхим вә өтүрүчү тохумалар, буидан башга, векетатив тумурчугларын, перидермин тез бүнөврә гојмасы вә тумурчугларын, зоғларын аз мүлдәтдә иикишаф етмәси бу нөвүн ксерофит шәрантдә әмәлә кәлиб формалашмасыны көстәрир. Эјри Іумурталыглы нөвүн тәпә тумурчугларынын сөнмәси вә с. әламәтләр бу мезофит нөвүн ксерофит шәрантә ујгунашмасыны көстәрир.

Индивидуал иикишаф дөврүндә апарылыш тәдгигатлардан айдынлашыр ки, көвдә вә јарпаг гурулуш элементләри илк меристемдән, әсас е'тибарилә, ибтидан әламәтләри илә ајрылыр. Демәли, ихтисаслашма нөвләрини иикишаф дөврләриндә әмәлә кәлир.

Гураглыг мәнбәji биткиләрдә тәкамүлчә ирәлиләмиш гурулуш элементләрнин төрәнмәснә сәбәб олур.

МИКРОБИОЛОГИЯ

Т. А. МАРТИРОСОВА-МЕЛКУМОВА, В. Д. ТАГИЕВ

**ИЗУЧЕНИЕ ИЗОЭЛЕКТРИЧЕСКОЙ ЗОНЫ РАЗЛИЧНЫХ
ПО АКТИВНОСТИ ШТАММОВ КЛУБЕНЬКОВЫХ БАКТЕРИЙ**

(Представлено академиком АН Азербайджанской ССР М. К. Ганиевым)

В настоящее время многие исследователи уделяют большое внимание разработке ускоренных методов определения активности клубеньковых бактерий.

Довольно часто для этой цели ученые используют различные биохимические признаки: интенсивность дыхания [1, 4], дегидрогеназную активность [5, 7], содержание аминокислот и витаминов [1, 3] и другие.

В литературе имеются указания на наличие корреляции между биохимическими особенностями бактерий и их азотфиксющую способностью. Определенный интерес представляют данные, полученные З. М. Яковлевой [8] при изучении изоэлектрической точки тканей клубенька, образованных штаммами различной эффективности. По ее данным, положение изоэлектрической точки в кислой зоне коррелирует с высокой активностью, в щелочной зоне свидетельствует о низкой степени эффективности штамма.

В. К. Шильникова [6], проанализировав большое количество литературных данных, с целью выявления наиболее достоверного критерия эффективности при отборе клубеньковых бактерий, пришла к заключению, что наряду с окислительной активностью наиболее перспективным является состояние изоэлектрической точки клубеньков. Однако эксперименты В. Т. Емцева и В. К. Шильниковой [2], а также З. М. Яковлевой [9] показали, что корреляция между активностью и состоянием изоэлектрической зоны далеко не всегда отмечается.

Для определения физиологического состояния клубеньковых бактерий в условиях симбиоза, нами также был применен этот метод.

Исследования проводились с клубеньками люцерны и гороха, образованных различными штаммами в полевых условиях Ханларского района Азербайджанской ССР.

Семена люцерны инокулировались следующими штаммами клубеньковых бактерий, выделенных в различных экологических условиях Азербайджана:

10 — выделен из каштановой почвы Шамхорского района, малоактивный.

28 — выделен из каштановой почвы Акстафинского района, активный.

20в — выделен из каштановой почвы Нагорного Карабаха, активный.

39 — выделен из темно-каштановой почвы Казахского района, высокоактивный.

Семена гороха инокулировались следующими штаммами:

9_в — выделен из светло-каштановой почвы Кировабадской зоны, высокоактивный.

17_в и 12_а — выделены из каштановой почвы Нагорного Карабаха, средней активности.

Для определения изоэлектрической точки клеток клубеньковых бактерий непосредственно в ткани предварительно готовили ряд последовательных смесей (цитро-фосфатный буфер Мак — Ильвейна) от pH 2,2 до pH. Затем буферные смеси разливали в стеклянные бюксы по 9,95 мл и добавляли к смесям по 0,05 мл водного раствора 0,1% эозина (кислая краска) и еще 9,95 мл смесей, к которым добавляли по 0,5 мл 0,01% раствора метиленовой сини (основная краска).

Затем делали продольные тонкие срезы из основания, срединной части и верхушки клубенька, которые погружались (по 3—4 среза) в каждый буферный раствор.

Результаты опытов по определению изоэлектрической зоны клубеньковой ткани люцерны и гороха представлены в табл. 1, 2.

Таблица 1
Изоэлектрические зоны клубеньков, образованных на корнях гороха

Изученные объекты	Изоэлектрич. точки в pH бактерий				
	Контроль	Номера штаммов гороха	9 _в *	12 _а *	17 _в *
Из ткани:					
основания					
клубенька	6,9—7,5	7,2—7,6	7,7—7,2	6,9—7,0	
середины	7,2—6,2	5,8—6,0	5,8—6,2	5,7—6,7	
верхушки	6,0—6,2	4,0—4,2	4,6—4,8	4,2—4,6	

Таблица 2
Изоэлектрические зоны клубеньков, образованных на корнях люцерны

Изученные объекты	Изоэлектрич. точки в pH бактерий					
	Контроль	Номера штаммов люцерны	10	28	20 _в *	39
Из ткани:						
основания						
клубенька	6,6—7,2	5,8—6,0	5,6—6,4	6,4—7,2	5,6—7,0	
середины	6,2—7,0	4,9—5,2	4,2—4,4	4,3—4,6	5,2—5,6	
верхушки	5,2—6,0	4,8—5,0	4,1—4,3	4,2—4,6	4,7—4,9	

Рассматривая данные табл. 2 можно заключить, что в клубеньках, образованных спонтанными расами (контроль), а также малоактивным штаммом (№ 10), изоэлектрическая точка ткани находится в более щелочной зоне, чем в клубеньках, образованных активными штаммами.

Наиболее четкие результаты получены при изучении изоэлектрической зоны клубеньков гороха (табл. 1). Эти данные дают основание

проводить корреляцию между активностью испытанных штаммов и данным показателем.

Однако, сравнивая показатели изоэлектрических зон различных по активности штаммов клубеньковых бактерий люцерны, не удалось выявить устойчивой связи между показателями изоэлектрической зоны и степенью активности. Так, например, штамм клубеньковых бактерий люцерны № 39 по эффективности занимает первое место, тем не менее изоэлектрическая точка ткани клубенька смешена в щелочную зону.

На основании полученных данных мы пришли к заключению, что изоэлектрическая точка не всегда может быть достоверным показателем активности штамма.

ЛИТЕРАТУРА

- Гаркавенко А. И. Изучение активных и малоактивных клубеньковых бактерий. Автореф. канд. дис., ВНИИ с.-х. микроб., М., 1962.
- Емисев В. Т., Шильникова В. К., Громыко Е. П. Естественная инокуляция растений кормовых бобов и фасоли в дерно-подзолистых почвах. Изв. ТСХА, № 4, 55–64, 1963.
- Машустин Е. Н., Шильникова В. К. Азотфикссирующая активность клубеньковых бактерий и ее показатели. В сб. IX Международный микробиологический конгресс. 1966.
- Федоров М. В., Ласло Д. Азотфикссирующая активность клубеньковых бактерий гороха и вики в клубеньках в разные фазы развития бобового растения. Изв. ТСХА, № 2, 1956.
- Шильникова В. К., Агаджанян К. Г. Исследование дегидрогеназной активности различных по эффективности штаммов клубеньковых бактерий. Изв. ТСХА, вып. 3, 1965.
- Шильникова В. К. Критерии эффективности клубеньковых бактерий. Изв. ТСХА, № 4, 1965.
- Шмидт Э. Ф. Дифференциация штаммов клубеньковых бактерий на основании данных по активности "бессубстратных" дигидраз. Микробиология, 33, № 2, 1964.
- Яковлева З. М. Состояние клубеньковых бактерий в условиях симбиоза и фиксации молекулярного азота. Изв. АН СССР, серия биол., 2, 1957.
- Яковлева З. М. Изоэлектрическая точка клубеньковых бактерий. Изв. АН СССР, серия биол., № 4, 1959.

Институт зоологии

Поступило 24. IV 1968

Т. А. Мартиросова-Мелкумова, В. Ч. Тағыев

Мүхтәлиф фәал јумручуг бактерија штаммларынын изоелектрик зонасынын өјрәнилмәси

ХҮЛӘСӘ

Мұасир дөврдә тәдгигатчылары лабораторија шәраитіндә јумручуг бактеријаларын фәаллышыны тез тә'жін етмәк марагландырыр. Бұ мәсәдә бир чох биокимjәви анализләрдән истифадә олунмуш вә мүхтәлиф нәтичәләр әлдә едилмишdir.

Әдәбијаттарда көстәрилір ки, бактеријаларын биокимjәви хүсүсілләтілә азотофиксәтмә фәаллышы арасында мүәjjән хүсуси вәйдәтлик варды.

Јумручуг бактеријаларын изоелектрик зонасыны өјрәнмәк мәсәди илә Ханлар раionунун неjvандарлыг совхозунда 10, 28, 20, 39, гарајонча вә 9 „в“, 17 „в“, 12 „а“ јемнохуду штаммлары илә гоулмуш тәчрүбәләрдән нұмунәләр көтүрүлүб анализ едилмишdir.

Нәтичәләрдән мүәjjән олунмушдур ки, изоелектрик зона штаммларын фәаллышыны әкс етдирмир. Іем нохуду јумручугларындан алымыш нәтичәдә фәаллышы әкс олундуғу налда, гарајончада бу биокимjәви әламәт фәаллышы дәрәсіндән асылы оларға әкс тәрәфә һенәлмишdir.

АЗЭРБАЙЧАН ССР ЕЛМЛӘР АКАДЕМИЈАСЫНЫН МӘРҮЗӘЛӘРИ

ДОКЛАДЫ АКАДЕМИИ НАУК АЗЕРБАЙДЖАНСКОЙ ССР

ТОМ XXVI

№ 6

1970

РАСТЕНИЕВОДСТВО

С. Ю. АЛИЕВ

РАСПРЕДЕЛЕНИЕ МАССЫ, ПОВЕРХНОСТИ И ДЛИНЫ КОРНЕЙ У СИНУЗИИ ЭФЕМЕРОВ В КАРГАННО-ПОЛЫННОЙ ПОЛУПУСТЫНЕ

(Представлено академиком АН Азербайджанской ССР А. М. Кулиевым)

Надземная часть растительности карганно-полынной полупустыни ботаниками изучена хорошо, а подземная часть недостаточно; проводившиеся исследования в основном относятся к морфологическому изучению подземных частей (Бейдеман, 1934; Беспалова, 1962; Абдуев, 1963; С. Ю. Алиев, 1968). Карганно-полынная полупустыня является одной из наиболее распространенных формаций полупустынной растительности Кура-Араксинской низменности, а также Ширвани. Видовой состав карганных сообществ, по сравнению с эфемерово-полынной беден.

В синузии эфемеров карганно-полынной полупустыни доминирующим видом является мортук восточный (*Eremopyrum orientale*), здесь в травостое отсутствует злак — эфемеронд-мятник луковичный (*Poa bulbosa var vivipara*), имеющий массу нитевидных корней, а процент участия в травянистое эгилопса цилиндрического (*Aegilops cylindrica*) незначительный.

В исследовании подземной части растений был применен модифицированный М. С. Шалытом (1950, 1960) метод Н. А. Качинского (1925), о чем более подробно изложено нами в статье, посвященной количественной характеристике подземных частей эфемерово-полынной полупустыни (С. Ю. Алиев, 1967). Пробы брались в четырехкратной повторности. Корневая система каргана изучалась лишь в морфологическом отношении, материалы исследований отражены в предыдущих статьях.

В почвенном профиле карганной полупустыни выделяются следующие горизонты: 0–14 см серый, тяжело-суглинистый, крупнокомковатый, хорошо выражены мелкие комочки, влажный, масса корней, переход не ясный; 14–32 см — от верхнего горизонта отличается своей светлой окраской, влажный, переход резкий; 39–55 см — серый, глинистый, корней мало, влажноватый, плотный, переход постепенный; 55–80 см — серый, тяжело-суглинистый, плотный, сухой, переход ясен.

Таблица 2

Распределение массы, поверхности и длины корней в почве под синузией эфемеров на площадках в 1 м² (карганино-полынная полупустыня). Ширванская степь. Керарский ботанический стационар.

единичные корешки в верхних частях горизонта; 80—100 см—серый, глинистый, сухой, очень плотный, корней нет.

Сокращенный анализ водной вытяжки, приводимый в табл. 1, показывает относительную засоленность в верхних и особенно в средних

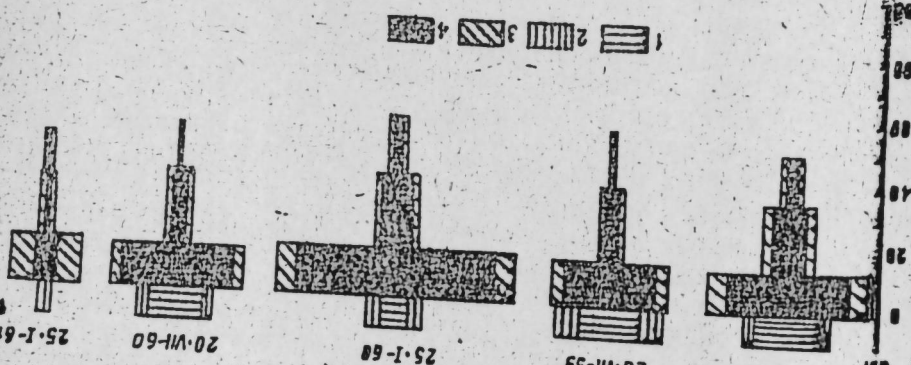
Таблица 1

Сокращенный солевой состав водной вытяжки в лугово-сероземной почве керарского ботанического стационара (карганино-полынная полупустыня)

Глубина	Плотный остаток	Водные вытяжки, %—(числитель) и м. экв—(знаменатель)		
		CO ₃	HCO ₃	Cl
0—13	0,136	Нет	0,035 0,05	0,053 1,50
13—35	0,130	Нет	0,043 0,70	0,024 0,69
35—51	1,082	Нет	0,021 0,35	0,051 1,44
51—78	0,964	Нет	0,021 0,35	0,076 2,13
78—100	0,570	Нет	0,023 0,38	0,076 2,13

горизонтах. Плотный остаток в первых двух верхних горизонтах составляет 0,136 %, с углублением наблюдается значительное возрастание.

Из табл. 2 и рисунка видно, что глубина проникновения корней эфемеров синузии не превышает 45—50 см*. Основная масса кор-



Распределение массы корней синузии эфемеров в почве по сезонам (на 1 м²). Ширванская степь, карганино-полынная полупустыня: 1—надземная масса; 2—мертвый покров; 3—действительные корни; 4—недеяельные корни.

ней расположена в первом приповерхностном горизонте мощностью до 13—15 см и колеблется в пределах 47,30—166,9 г или 68,8—84,2% от всей массы корней поверхность 2,33—8,87 м² или 58,5—84,02% от

* В нижней части III горизонта корни эфемеров и эфемерондов почти отсутствуют.

Дата	№ ямы	Мощн. гориз., см	Вес корней		Поверхность корней		Длина корней		Соотношение деятельных и недеяельных корней, %		
			г	% от общего веса корней	м ²	% от общей поверхности корней	м	% от общей длины корней	по весу	по поверхности	по длине
25.I 1959	12	0—13	82,7	71,4	5,31	60,8	11515,3	55,6	77,1	91,6	96,17
		13—35	24,6	66,3	0,49	56,3	458,5	46,3	22,9	8,4	3,83
		35—51	22,8	19,7	2,34	26,8	6182,5	29,9	68,7	88,6	94,30
		51—78	10,4	28,0	0,30	34,5	373,9	87,8	31,3	11,4	5,70
		78—100	2,1	5,7	0,08	9,2	158,0	15,9	17,0	6,8	5,00
	93	0—51	115,8	100,0	8,74	100,0	20698,9	100,0	75,7	90,9	95,43
		39—57	37,1	100,0	0,87	100,0	990,4	100,0	24,3	9,1	4,57
		0—15	61,3	78,0	4,00	69,4	7798,4	62,6	77,4	90,9	95,35
		15—39	17,9	88,2	0,40	87,0	380,0	81,4	22,6	9,1	4,65
		40—59	12,7	16,2	1,26	21,9	3228,0	25,9	85,8	96,2	97,99
20.VII 1960	109	0—57	4,6	5,8	0,50	10,9	66,0	14,2	14,2	3,8	2,01
		39—57	0,3	1,5	0,01	8,7	1434,7	11,5	93,9	98,0	98,57
		0—57	78,6	100,0	5,76	100,0	12461,1	100,0	79,5	92,6	96,39
		39—57	20,3	100,0	0,46	100,0	467,0	100,0	20,5	7,4	3,61
		0—16	137,5	80,6	8,24	72,2	18013,4	68,6	82,4	92,9	96,1
	160	29,4	86,0	0,63	80,8	574,2	73,3	17,6	7,1	2,09	
		16—40	24,2	14,2	2,20	19,3	5501,8	21,0	85,5	94,8	97,28
		40—59	8,8	5,2	0,97	8,5	2730,3	10,4	92,7	97,0	98,03
		0—59	170,6	100,0	11,41	100,0	26245,5	100,0	83,3	93,6	97,10
		34,2	100,0	0,78	100,0	782,9	100,0	16,7	6,4	2,90	
20.VII 1960	166	0—14	76,6	81,7	5,18	77,0	10609,6	73,4	84,8	94,7	98,39
		14—39	13,8	86,7	0,29	85,3	173,7	73,6	15,2	5,3	1,61
		39—54	14,7	15,7	1,34	19,9	3282,4	22,7	88,6	97,1	98,57
		0—54	1,9	12,0	0,04	11,8	47,5	20,1	11,4	2,9	1,43
		2,5	2,6	0,21	3,1	571,8	3,9	92,6	95,5	97,46	
	182	0,2	1,3	0,01	2,9	14,9	6,3	7,4	4,5	2,54	
		93,8	100,0	6,73	100,0	14463,8	100,0	85,6	95,2	98,39	
		15,8	100,0	0,34	100,0	236,1	100,0	14,4	4,8	1,61	
		0—13	14,9	78,4	1,39	75,5	3280,7	70,5	31,5	59,7	73,92
		32,4	78,1	0,94	70,1	1157,7	59,9	68,5	40,3	26,08	
25.I 1961	182	13—36	2,9	15,3	0,32	17,4	970,5	20,9	29,9	52,5	65,34
		36—50	6,8	16,4	0,29	21,6	514,8	26,7	70,1	47,5	31,66
		1,2	6,3	0,13	7,1	400,4	8,6	34,3	54,2	60,72	
		2,3	5,5	0,12	8,3	259,0	13,4	65,7	45,8	39,28	
25.I 1961	182	0—50	19,0	100,0	1,84	100,0	4651,6	100,0	31,4	57,9	70,66
		41,5	100,0	1,34	100,0	1931,5	100,0	68,6	42,1	29,34	

Примечание: Верхняя строка—действительные корни, нижняя—недеяельные.

всей поверхности, а длина 4437,4—18587,6 м или 50,9—77,0% от всей длины корней.

Общая масса корней в 1 м² площади, в зависимости от времени наблюдения колеблется в пределах 60,5—204,8 г, общая поверхность 3,18—12,9 м², а общая длина 6583,1—27028,4 м. Корни распространяются в пределах I—III горизонтов. В третьем горизонте находится по массе 2,7—12,4 г, или 2,5—7,3%, поверхности 0,22—1,17 м², или 3—11%, а по длине 586,1—3159,1 м или 5,1—15,2% от всей массы поверхности и длины корней.

Сравнение процентных отношений распределения подземной фитомассы, ее поверхности и длины в III горизонте ясно показывает, что в эфемеровой синузии карганио-полынной полупустыни процент участия корней несколько выше, чем в том же горизонте в приводимой нами ранее эфемеровой и эфемерово-полынной полупустынях (С. Ю. Алиев, 1967, 1968).

Сопоставляя результаты количественного учета эфемеровой синузии карганио-полынного фитоценоза с эфемеровым (С. Ю. Алиев, 1968) видим, что в данном фитоценозе запас общей фитомассы гораздо меньше. Здесь обращает на себя внимание также незначительная поверхность и длина корней. Это объясняется преобладанием в подземной фитомассе фракций „толстых корней“.

Соотношение деятельности и недеятельности корней (табл. 2, рисунок) по всему профилю таково: деятельности корней по массе 31,4—85,6% по поверхности 57,9—95,2%, а по длине 70,66—98,39%, недеятельных по массе 14,4—68,6%, по поверхности 4,8—42,1% и по длине 1,61—29,34%.

Приводимые нами данные о поверхности корней в карганий-полупустыне в десятки раз меньше поверхности корней в луговых и степных сообществах (Шалыт, 1950), но значительно меньше, чем в пустынных (Рустамов, 1963, а, 1963, б) и полупустынных (С. Ю. Алиев, 1967, 1968).

В эфемеровой синузии карганио-полынной полупустыни запас подземной фитомассы на 1 м² площади (в зависимости от времени исследования) составляет 60—240 г, поверхность 3—12 м², длина 6583—27028 м. Все эти табличные показатели резко отстают от таковых, приводимых ранее в эфемерово-полынным и эфемеровом фитоценозе.

Основная масса корней сосредоточена в слое почвы 0—15(16) см: по массе до 84%, по поверхности 81%, по длине 74%, в последнем горизонте находится всего лишь 2—7% от общей массы, 0,22—1,17% общей поверхности, 5—15% общей длины корней.

Максимальное количество подземной фитомассы, как и в других фитоценозах, наблюдается зимой (в январе) пока свои корректиры не внесет засуха.

ЛИТЕРАТУРА

- 1 Алиев С. Ю. Количество характеристика и динамика подземной части эфемерово-полынной полупустыни Ширвана. Изв. АН Азерб. ССР. серия биол. наук, 1. Баку, 1967. 2. Качинский Н. А. Корневая система растений в почвах подзолистого типа. Тр. Московск. опытн. ст., вып. 7, ч. 1, М. 1925. 3. Рустамов И. Г. Количественная характеристика подземной части осоково-эфемеровых полынников Краснодарского плато. Изв. АН Туркм. ССР. серия. биол. наук. Ашхабад, 1963. 4. Шалыт М. С. Методика изучения морфологии и экологии подземной части отдельных растений и растительных сообществ, 1960.

Институт почвовед. и агрохимии

Поступило 23. VIII 1968

С. Ю. Элиев

Гараганлы-юшанлыг јарымсәрасынын ефемер синузиясында көк күтләсинин, сәттинин вә узунлуғун пајланмасы

ХУЛАСӘ

Мәгаләдә гараганлы-юшанлыг фитосенозунун ефемер синузиясында көк күтләсинин, сәттинин вә узунлуғун пајланмасындан бәһс олунмуштур. Апарылан тәдгигаттардан ашағыдақы иәтичеләр чыхарлымышды:

1. Бу синузияда бүтүн мүшәндә мүддәтләриндә јералты күтләнин мигдары 60—240 г, сәтни 3—12 м², узунлуғу исә 6583—27028 м. арасында дәжишир ки, бу үч көстәричилијә көрә һәмин синузия ефемерлик вә ефемерли-юшанлыг фитосенозларындан кери галыр.

2. Көкләрин әсас һиссәси (кутләнин 84, сәттинин 81, узунлуғун 74%-и) галынлығы 15—16 см олан үст гатда јерләшир. III горизонта күтләнин 6, сәттин 1, 2, узунлуғун исә 15%-ә гәдәринә тәсадүф олунур.

Көк күтләсинин ән чох топланмасына бир гајда олараг тыш заманы тәсадүф едилир. Күтләнин гыш заманы азалмасына исә һәр 4—5 зилдән бир баш верән гураглыг сәбәб олур.

ТОРПАГШУНАСЛЫГ

Ш. М. ГУЛИЈЕВ

**БӨҮҮК ГАФГАЗЫН (АЗЭРБАЙЧАН ССР) БӘ'ЗИ ТОРПАГЛАРЫНДА
МАНГАН ВӘ БОРУН МҮТӘНӘРРИК ФОРМАСЫНЫН МИГДАРЫ**

(Азэрбајчан ССР ЕА академики Н. Э. Әлијев төгдим етмишdir)

Кәнд тәсәрүфаты биткиләриндән јүксәк вә кејфијјатли мәңсул алмаг үчүн микроелементләрдән макрокүбрәләр фонуна истифадә олуималыдыр. Испат едилмишdir ки, мангандын вә борун элементләри биткиләр үчүн мүһум гида элементләри группана дахилдир. Һәмmin микроелементләрдә нормал гидаланмајан биткиләрин инкишафы зәйфләйир вә мәңсулдарлығы кәскин сурәтдә ашағы дүшүр. Торпагда мангандын кифајэт гәдәрдирсә, биткиләрдә һәмmin элементләрин мигдары артыг олур вә дикәр элементләрин мәнимисәнилмәси әмсалы јүксәлир. Мангандын күбрәсисин тәтбиги дә онун биткиләрдә чох топланмасына шәрант ярадыр [4].

Мангандын биткиләрдә ферментләрин (пероксидаза вә с.) активлијини артырып, фотосинтез процесиндә, азот мүбадиләсисинде иштирак едир вә сулукарбонларын синтезини сүр'әтләндирir.

Алманијада [8] вә башга өлкәләрдә [9,10] торпагда мангандын чатышмадыгда биткиләрдә (вәләмир вә с.) "боз золаглылыг" хәстәлији башверир. Торпагда мангандын нормадан чох олмасы да биткиләрдә мәнфи тә'сир едир. Мангандын чохлукунун биткиләрдә зәһәрли тә'сиринә Һавај адаларында вә йер күрәсисин башга јерләриндә тәсадүф едилir [5,11].

Борун элементи биткиләрдә маддәләр мүбадиләсисини низамлајыр, кенератив органларын әмәлә кәлмәсиси, фотосинтезин сүр'әтинә вә дикәр физиологи-биокимјеви процессләре мүсбәт тә'сир едир. Борун элементи биткиләрдә ән мүһум ролу нуклеин мүбадиләсисини нормал кетмәсисинде иштирак етмәсidiр. Борун элементи чатышмадыгда чуфундуруда өзек чүрүмәси, күл кәләмдә гонурлашма, кәтанда бактериоз, түтүндәч үч һиссәсиси гурумасы, күнәбаханда гонурлашма хәстәлиji мүшәнидә едилir вә с. [1,2,3].

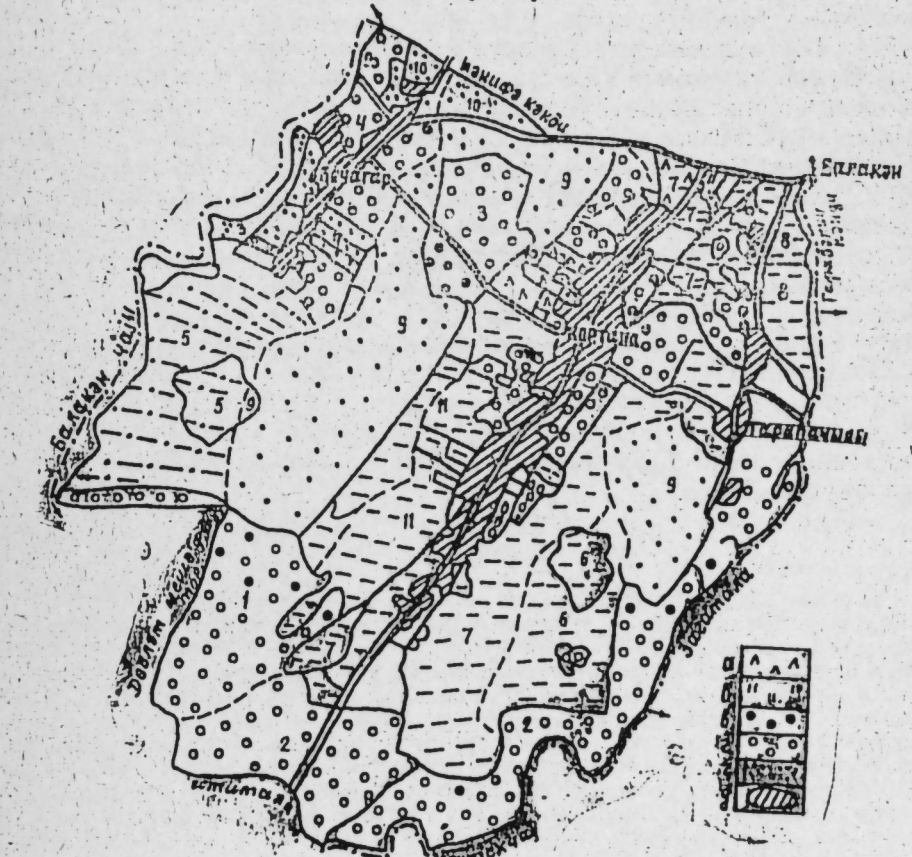
Көрүндүjу кими, мангандын вә борун элементләринин торпагдакы мигдарындан асылы олараг кәнд тәсәрүфаты биткиләринин инкишафы вә мәңсулдарлығы мұхтәлиф олур. Буна көрә дә һәр бир рајонун торпагларында микроелементләр тәдгиг едилмәдән онлара күбрә вермәк олмаз. Йухарыда көстәриләнләри нәзәрә алараг Азэрбајчанын Шәки-Загатала зонасынын бә'зи торпагларында мангандын вә борун элементи

мәңсулдарлығы өјрәндик. Һәмин зонада биткиләрин җемләндирilmәсисинде тәркибиндә мангандын вә борун полимикрокүбрәләрдән истифадә едилмәси мәңсулдарлығы хејли артырыр [6,7].

Бөյүк Гафгазын (Азэрбајчан ССР) бә'зи торпагларында (Балакән рајонунун Корталы кәндиде) мангандын вә борун элементләринин мүтәнәррик мигдарын тә'жин етмәк үчүн 100 әдәд гарышыг торпаг нүмүнәси анализ едилмишdir. Нүмүнәләр торпағын 0—30 см-лик үст гатындан көтүрүлмүшdir. Торпагда микроелементләрин мигдары Н. Н. Күләһмәдовун методу илә тә'жин олунмушdir. Корталы кәндидинин ("Коммунизм" колхозу) үмуми саһәси 2128 ha, о чумләдән әкин саһәси 1200,7, бичәнәк 3,3, өрүш 19,4, бағлар 215,2, мешә вә коллоглар 478,9, сү алтында олар саһәләр 74,1, йашајыш мәнтәгәсисинин саһәси исә 136,4 ha-дыр.

Колхоз шималдан чәниба азмали дүзәнликдә јерләшишdir. Торпагемәләкәтирән сүхурлар әсасән аллүвиал чөкүнтуләртән ибәрәтдир. Әкин үчүн истифадә едилән торпаглар азот вә фосфорун биткиләр тәрәфиндән мәнимисәнилә билән мигдарына көрә зәиф вә ортадәрәчәдә тә'мин олунмуш несаб едилir. Һумусун мигдары ән чоху 3%-дән артыг дејилdir. Торпаглар механики тәркибчә јүнкүл, орта вә ағыр килличәлиdir.

Колхозда әсасән түтүн, пајызлыг буғда, гарбыдалы, аз саһәдә исә тәрәвәз вә дикәр биткиләр бечәрилир.



Шәкил: Азэрбајчан ССР Балакән рајонунун Корталы кәндиде «Коммунизм» колхозу торпагларынын борун мангандын тә'минолуума картограммы (тәртиб едени Ш. М. Гулијев, 1968; Кировабад торпаг экспедијасынын торпаг планы харитасы әсасында).

а—өрүш; б—бичәнәк; в—бағ; г—мешәлик; д—коллог; ж—кәнд.

Анализләриңи нәтиҗәсү көстәрди ки, Кортала кәндинин әразисиндә яылыш торпагларда манган вә борун мүтәһәрrik мигдары кәнд тәсәррүфаты биткиләринин тәләбатыны өдәјәчәк мигдардан аздыр. Бүтүн торпаглар тәркибләриндә манган вә бор елементләринин мигдарына, микрокүбрәләрә тәләбкарлығына көрә 3 группа бөлүнмүш вә буилара әсасән 1: 1000 мигјасында картограм тәртиб едилмишdir (шәкел бах).

Шәкилдә 1, 2 вә 3 рәгәми илә көстәрилән торпаглар мешә алтында яылдырылдан бечәрилән торпаг группаларына дахил едилмәшишdir.

Биринчи группа дахил едилән ағыр килличәли чәмән (4), јүнкүл килли вә ағыр килличәли аллювиал чәмән (9), гумлу аллювиал чәмән (10) торпагларда манган 0,6—14,4 (орта несабла 5, 93), борун мигдары исә 0,5—2,6 мг/кг-дыр (орта несабла 1,56). Бу торпаглар мангана чох зәиф, борла зәиф тә'мин олунмуш несаб едилдијинә көрә манган күбрәсинә чох јүксәк, бора исә јүксәк дәрәчәдә тәләбкардыр. Нектара тә'сирдичи маддә несабы илә 3,0 кг манган, 2,0 кг бор күбрәси верилмәси мәсләһәтdir.

Икинчи группа орта килличәли зәиф шоракәтләшмиш чәмән (5) торпаглары дахилдир. Бу торпагларда манган 9,0—15,7 (орта несабла 12,35), борун мигдары исә 0,5—2,0 мг/кг (орта несабла 1,25) олмагла, манган вә бор елементләрилә зәиф тә'мин олунмушлар. Нәр икнеге элементин күбрәсинә јүксәк дәрәчәдә тәләбкардырлар (нектара- 2,5 кг манган, 2,0 кг бор).

Үчүнчү группа дахил едилән орта килли аллювиал түнд чәмән (6), јүнкүл килли түнд чәмән (7), јүнкүл килличәли аллювиал түнд чәмән (8) вә орта килли, зәиф шоракәтләшмиш чәмән торпагларда (11) манган 0,6—13,0 (орта несабла 6,31), борун мигдары исә 0,5—4,0 мг/кг-дыр (орта несабла 2,15). Бу торпаглар мангана чох зәиф, бор елементи илә орта дәрәчәдә тә'мин олундуруна көрә, мұвағиғ оларал, манган күбрәсинә чох јүксәк, бор күбрәсинә орта дәрәчәдә тәләбкар несаб едилir. Нектара 3,0 кг манган вә 1,5 кг бор күбрәса верилмәси мәсләһәтdir.

Көрүндүjу кими, Балакән районундакы „Коммунизм“ колхозунун (Кортала кәndi) торпаглары манган елементинин биткиләр тәрәфиндән мәнимсәнилән мигдары илә чох зәиф вә зәиф, бор елементи илә зәиф вә орта дәрәчәдә тә'мин олунмушлар. Одур ки, биткиләрдән јүксәк вә кеjфиjәтli мәңсүл алмаг үчүн нәмин микроэлементчәр тәтбиg едилмәlidir. Бу заман исә тәртиб едилмиш картограмдан истифадә олунмалыдыr.

ӘДӘБИЙЛАТ

1. Школьник М. Я., Маевская А. Н., Соловьева Е. А., Косицын А. В. Бор и нуклонный обмен. Микроэл. и естеств. радиоактивн. почв. Материалы 3-го межвузов. совещания. Ростов, 1962. 2. Шерстнев Е. А. К вопросу об участии бора в обмене нуклонных кислот у растений. Микроэл. и естеств. радиоактивн. почв. Материалы 3-го межвузов. совещания. Ростов, 1962. 3. Кубаленко А. П., Сидоршина Т. Н. Влияние борных удобрений на физиологические процессы и повышение продуктивности сахарной свеклы и свекловичных семян. Микроэл. в с/х и медицине. Материалы IV Всесоюзн. совещания по микроэл. Киев, 1963. 4. Берния Д. Ж. Марганец и железо в почвах и растениях. Микроэл. и урожай. Тр. лаб. биохимии почв и микроэл. АН Латвийской ССР. Рига, 1961. 5. Пейве Я. В. Содержание доступных растениям форм микроэлементов в почвах СССР. Сб. „Микроэлементы в растениеводстве“. Рига, 1958. 6. Куллиев Ш. М. Эффективность полимикроудобрений под культуру табака. Тез. докл. IV совещания Закавказья. „Агрономия“. Посвящен 100-летию со дня рожд. акад. Д. Н. Прянишникова. Баку, 1965. 7. Куллиев Ш. М. Влияние полимикроудобрений на развитие и урожай риса. „Изв. АН Азерб. ССР. серия биол. наук“, 1965, № 5. 8. Finck A. Die Bindungsformen des Mangans in Boden. Z pflanzenernähr., Düng., Bodenkunde, 1956, 118, 1. 9. Heintre

S. Q. Manganese deficiency in peas and other crops in relation to the availability of soil manganese. J. agric. Sci., 1946, 36, 10. Heintre C. Q. Readily soluble manganese of soils and marsh spot of peas. Agric. Sci., 1938, 28, 11. Fujimoto C. K. and Sherman Y. D. Behaviour of manganese cycle. Soil sci., 1948, 66.

Торпагшунаслыг вә агрокимja институту

Алынышдыр 20. VI 1968

Ш. М. Куллиев

Содержание подвижных форм марганца и бора в некоторых почвах Большого кавказа (в пределах Азербайджана).

РЕЗЮМЕ

Наши исследования отражают содержание подвижных форм марганца и бора в почвах колхоза „Коммунизм“ (с. Кортала Белоканского района). Для определения подвижных форм марганца и бора использовалось более 100 почвенных образцов пахотного слоя.

По принятой градации на данной территории выделено три группы почв: 1) тяжело-суглинистые луговые; легко-глинистые и тяжело-суглинистые аллювиально-луговые и песчаные аллювиально-луговые почвы с содержанием подвижной формы марганца 0,6—14,4 мг/кг (в среднем—5,93); бора 0,5—2,6 мг/кг (в среднем 1,56). Эти почвы обеспечены марганцем очень слабо, бором—слабо. Потребность в марганцевых удобрениях очень высокая, борных—высокая (марганец действующего начала—3,0, бор—2,0 кг/га; 2) средне-суглинистые слабосолонцеватые луговые с содержанием марганца 9,0—15,7 мг/кг (в среднем 12,35), бора—0,5—2,0 мг/кг (в среднем 1,25). Эти почвы обеспечены марганцем и бором слабо. Потребность в марганцевых и борных удобрениях высокая (марганец—2,5; бор—2,0 кг/га; 3) средне-глинистые аллювиальные темно-луговые легкоглинистые темно-луговые; легко-суглинистые аллювиальные темно-луговые и средне-глинистые слабосолонцеватые луговые почвы, с содержанием марганца—0,6—13,0 мг/кг (в среднем 6,31), бора—0,5—4,0 мг/кг (в среднем 2,15). Эти почвы обеспечены марганцем очень слабо, бором—средне. Потребность в марганцевых удобрениях очень высокая, борных—средняя (марганец—3,0; бор—1,5 кг/га).

УДК 631.41+631.432.1

ПОЧВОВЕДЕНИЕ

С. А. КУРБАНОВ

ИЗМЕНЕНИЕ МЕЛИОРАТИВНЫХ УСЛОВИЙ В СВЯЗИ С РЕЖИМОМ
УРОВНЯ ГРУНТОВЫХ ВОД НА ПРИМЕРЕ ПОДГОРНОЙ РАВНИНЫ

(Представлено академиком АН Азербайджанской ССР В. Р. Волобуевым)

В одной из подгорных равнин Азербайджана на всем ее пространстве имеются грунтовые воды, циркулирующие в толще делювиально-пролювиальных отложений. Глубина залегания грунтовых вод в отдельных районах этой равнине очень различна. Она уменьшается от предгорий к низменности.

Согласно данным первых гидрогеологических исследований (1942), ближе к горным образованиям, т. е. в наиболее высоко расположенной зоне, они залегали на глубине около 40 м.

Питание грунтовых вод в предгорной части осуществляется за счет атмосферных осадков, а в более низко расположенной зоне за счет избыточных вод орошения. Но, насколько можно судить по остаткам старых каналов, в далеком прошлом орошалась более возвышенная часть подгорной равнины, там имеются следы древних каналов—Едди-булак и Хорнаджи. Режим грунтовых вод более постоянный в отложениях наклонной равнине, где действуют постоянные естественные факторы. Режим грунтовых вод в низменной части подгорной равнине более динамичен за счет влияния поверхностных водотоков и оросительных вод. Колебание уровней грунтовых вод при наличии грунтов с повышенной фильтрацией довольно резкое.

Так, при повышении грунтовых вод во время работы каналов в середине лета и снижению их к осени, амплитуда колебаний достигает 1,0—1,5 м.

За последние годы выше существующего канала, в полосе до 2—3 км шириной, построено много каналов машинного орошения.

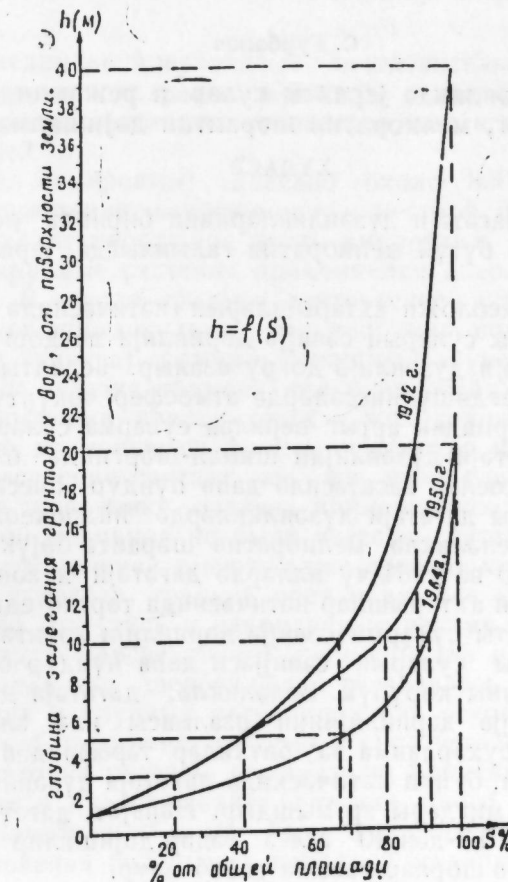
Вода по этим каналам подается до отметки 23 м. Подача большого количества воды на орошение земель в этой подгорной равнине существенно нарушила гидрогеологические условия и значительно ухудшила мелиоративную обстановку на подгорной равнине.

Это ухудшение мелиоративной обстановки выразилось в общем подъеме грунтовых вод в пределах подгорной равнине, в связи с чем произошло перемещение солей в верхние, ранее не засоленные, горизонты почв.

Так, сопоставление карт гидроизогипс и глубин грунтовых вод по данным съемок 1942, 1950 и 1964 г. г. обнаружило увеличение площади земель с более высокими грунтовыми водами в пределах равнинны, расположенной выше магистрального канала, о чем убедительно свидетельствуют таблица и рисунок.

Распределение площадей по глубине залегания грунтовых вод в подгорной равнине выше магистрального канала

№ п/п	Глубина залегания уровня грунтовых вод, м от поверх- ности земли	1942 г.		1950 г.		1964 г.	
		площадь, га	% от общей площади	площадь, га	% от общей площади	площадь, га	% от общей площади
1	1,00—3,00	7 700	20,80	7 800	21,20	12 60	34,00
2	3,00—5,00	7 800	21,20	7 500	20,20	14 60	39,50
3	5,00—10,00	9 600	26,00	15 500	41,80	4 30	11,60
4	10,00—20,00	7 900	21,30	6 200	16,80	5 50	14,90
5	20,00—40,00	4 000	10,70	—	—	—	—
Итого:		37 000	100	37 000	100	37 000	100



Распределение площадей в подгорной равнине по глубине залегания грунтовых вод за период 1942—1964 гг., % к общей площади.

Из сопоставления некоторых имеющихся данных анализов минерализации грунтовых вод с глубиной залегания их устанавливается, что минерализация находится в теснейшей зависимости от глубины залегания грунтовых вод, т. е. с уменьшением глубины залегания их возрастает степень минерализации.

Так, степень минерализации грунтовых вод в подгорной равнине выше магистрального канала, отличается большим разнообразием и колеблется в пределах 0,3—40 г/л. При этом существенно то, что наибольшая минерализация отмечается в полосе несколько выше магистрального канала. Таким образом, зона наиболее активного проявления процессов засоления почв протягивается полосой выше существующего магистрального канала.

В повышении минерализации грунтовых вод, очевидно, особую роль играет влияние существующего канала, который „отжимается“ потоком грунтовых вод, пополненных инфильтрационными водами и замедляет их отток вниз по уклону местности, этим создает застойный режим в зоне выше магистрального канала.

ЛИТЕРАТУРА

1. Воловусев В. Р. Мугань и Сальянская степь. Почвенно-мелiorативный очерк. Баку, 1948.
2. Воловусев В. Р. Генетические формы засоления почв Кура-Араксинской низменности. Баку, 1965.

Институт почвоведения и агрохимии

Поступило 17. IX 1964

С. Гурбанов

Дағәтәји дүзәнликдә јералты суларын режимиңдән асылы олараг, мелиоратив шәрантиң дәжишилмәси

ХУЛАСӘ

Азәрбајчанын дағәтәји дүзәнликләриниң бириндә делүвиал-пролувиал чөкүтүләрдә бүтүн мелиоратив галыныгда, јералты сулар җаялышы.

Биринчи һидрокеологи ахтарышларын иәтичәсендә мүәյҗән едилмишdir ки, јералты суларын сәвијјә дәринлиji дағдәшү јамачлыгдан башлајараг дағәтәји дүзәнлиjә доғру азалыр. Јералты суларын режимиң, әсасән, дағдәшү һиссәләрдә атмосфер чөкүтүләри, дағәтәји дүзәнликдә исә нормадан артыг верилән суварма сулары тә'сир едир. Соң заманлар дағәтәји дүзәнлиjин шимал-шәргинде олан Ана суварма каналындан насослар васитәсилә даһа һүндүр һиссәләрә галдырылан суварма сулары дағәтәји дүзәнликләрдә һидрокеологи шәранти дәжишдириши вә беләликлә, мелиоратив шәранта бөյүк тә'сир көстәрмишdir. 1942, 1950 вә 1964-чу илләрдә дағәтәји дүзәнликдә апарылыш һидрокеологи ахтарышлар иәтичәсендә тәртиб едилмиш „һидроизогипс“ илә јералты суларын сәвијјә дәринлиji хәритәләрини мүгәйсә етдикдә, јералты суларын сәвијјәси даһа һүндүр олан торпаг саһәләринин артдығыны көрүрүк. Беләликлә, дағәтәји дүзәнликдә јералты суларын сәвијјә дәринлиjинин азалмасы илә әлагәдар олараг јералты сулардан бухарланма вә биткиләр тәрәфиндән мәнимсәнилмә просеси күчләнмиш, бунун иәтичәсендә дағәтәји дүзәнликтәki јералты суларда дузларын мигдары артмышы.

Нәһајәт, дағәтәји дүзәнликдә дузларын мигдары 0,3-дән 40 г/л-э гәдәр дәжишилр ки, бу да торпагын икинчи дағә шорлашмасына сәбәб олур.

АЗӘРБАЙЧАН ССР ЕЛМЛӘР АКАДЕМИЈАСЫНЫН МӘРУЗӘЛӘРИ

ДОКЛАДЫ АКАДЕМИИ НАУК АЗЕРБАЙДЖАНСКОЙ ССР

ТОМ XXVI

№ 6

1970

ФАРМАКОЛОГИЯ

И. А. ДАМИРОВ, Д. З. ШУКЮРОВ

НЕКОТОРЫЕ ПЕРСПЕКТИВНЫЕ РАСТЕНИЯ НАРОДНОЙ МЕДИЦИНЫ АЗЕРБАЙДЖАНА

(Представлено академиком АН Азербайджанской ССР С. М. Асадовым)

Народная медицина Азербайджана исключительно богата как по видовому составу используемых растений, разнообразию форм применения, сложности некоторых препаратов, так и по диапазону курируемых болезней.

Нами (И. А. Дамировым) записано около 800 видов народных лекарственных растений, относящихся к местной флоре. Кроме того в рецептуру входит небольшое число импортных восточных пряностей. Культивируемые растения применяются довольно широко (около 150 видов). В народе придают диетическое, а также и целебное значение ряду овощных культур, как, например, шпинату, крес-салату, траве кишнеца (киндза), которые известны в науке своей высоковитаминностью. Они издавна применяются в Азербайджане в пищу, особенно при малокровии,avitaminозах и желудочных заболеваниях.

Повсеместно применяются фрукты. Несмотря на их разнообразие и богатство, население считает все же необходимым употребление свежих плодов шиповника, издавна применявшихся еще в то время, когда в научной медицине не были известны витамины. Многообразное лечебное применение имеют также древние культурные растения, как пшеница, виноград, греческий орех и др. Все эти факты заставляют внимательно отнести к накопленным веками народным наблюдениям и выявлению перспективных растений для нашей медицины.

Народная медицина Азербайджана развивалась в двух направлениях. В городах и крупных поселениях она основывается на средневековой арабской медицине, которая в свое время достигла высокого расцвета. Достаточно указать, что великий Авиценна продолжительное время врачевал в Азербайджане. Осталось много медицинских книг-лечебников „Карабадини“ и др. Арабское влияние видно по сложности приготовления рецептов в народной медицине, широкому применению импортных растений, как корица, куркума („золотой корень“), имбирь и по ассортименту растений, также широко применяемых в Средней Азии, Иране и других соседних странах, имеющий даже такое же название.

Другое направление сложилось в далеких горных поселениях,

куда едва проникала арабская культура. Это медицина пастухов и горных поселенцев, берущих лекарства из окрестной флоры.

В настоящее время границы этих двух медицин стушевываются, но кое-какие отголоски можно проследить.

Остановимся на сложности рецептуры. Для наружных средств (лечения ран, язв, экземы и прочее) имеются специальные прописи. На раны кладут примочки из отвара растений, используют присыпки, приготовляемые из сухих листьев и корней, истолченных в порошок и просеянных через тонкое сито или же свежие листья, траву толкуют и сырью массу накладывают на раны. Обычно, это дубильносодержащие вяжущие средства, например, дуб, гравилат или бактерицидные, чаще всего листья греческого ореха, содержащие дубильные вещества, каротин и бактерицидный юглон, а также листья хны. Нашим врачам следовало бы обратить внимание на греческий орех и хну. Хну особенно широко используют для лечения гнойных ран и различных кожных заболеваний, как экзема, мокрый лишай и др. Для лечения язв и кожных заболеваний чаще всего приготавливают мази, состоящие из тонкого порошка растений растертого с маслом или курдючным салом. Иногда из отвара делают примочки, загущенные пшеничной мукой. При ожогах применяют пасту из порошка чечевицы.

Для лечения чесотки и других кожных болезней приготавливают кустарным способом дегтеобразный продукт. Гнойные раны и язвы часто лечат свежей толченой травой и растениями семейства лотиковых, содержащих анемонол (ветреница, пульзатилла и др.).

Для наружного применения приготавливают розовую воду, перегнанную на кустарных установках из лепестков столовой розы. С древних времен розовая вода считается дезинфицирующим средством и широко используется для умывания, профилактики, особенно после посещения больных.

Лекарства для внутреннего употребления тоже применяются по-разному. В простейшем случае из растений делают водные настои или отвары. Часто приготавливают настой на покупной или самогонной водке, иногда дистилляты, например, из сережек козьей ивы для лечения сердечных болезней. Для лечения кашля часто варят густые соки плодов, иногда с сахаром — „дошаб“ и „бекmez“.

Для лечения желочно-каменной болезни и болезней селезенки дают траву дымянки в виде чая или делают сок из свежей травы, который смешивают с сывороткой козьего молока и пьют по столовой ложке. Дымянка одинаково ценится как в Азербайджане, так и Средней Азии, где ее называют „царская трава“. Для внутреннего применения часто употребляют пилюли домашнего производства, замешанные на муке.

Итак, мы видим характерную для народной медицины сложность рецептуры.

В народной медицине Азербайджана применяется много растений при различных заболеваниях. Согласно нашим записям, больше всего имеет место использование желудочно-кишечных средств.

Не останавливаясь на горько-пряных растениях, повышающих аппетит, на многочисленных дубильносодержащих, вяжущих и других растениях, обратим внимание на некоторые растения, применяемые при язве желудка. Например, корни верблюжьей колючки (*Alhagi pseudalhagi*), растущей обильно в низменных полупустынных районах; свежие плоды тута белого, широко культивируемого в Азербайджане, плоды богаты сахарами и пектиновыми веществами; клубни салепа (разные виды ятрышника и любки); благодаря большому содер-

жанию слизи отвар их действует обволакивающе; применяется отвар листьев подорожника.

Много средств имеется для лечения дыхательных путей и ряд растений специально для лечения туберкулеза. От кашля применяют различные слизистые растения, как отвар корней трагаканта, семена айвы и корни хатьмы, заменяющие алтей, эфирно-масличные растения — цветки шелковой акации, розы, веточки кипариса и другие в виде сиропов; сапониновые растения, например, плющ, створки гледичии, качим и др. При туберкулезе — хвош, камыш (как содержащие растворимую кремнекислоту), щавель (хризантемол), корни ежевики, свекловичный сок и др. При воспалении легких, помимо других, лекарств, обязателен шпинат.

Для укрепления организма и лечения малокровия применяют виноград и его препараты. Большое число растений применяется при болезнях почек, главным образом виды зонтичных, от болезней печени и желчи (при наличии камней): марена, солодка, портулак, володушка, шиповник, лист персика.

Сравнительно меньше средств известно для лечения сердечно-сосудистых заболеваний. Мало применяется ядовитых сердечных растений, предпочитают инжир, листья тута, козью иву и другие безвредные средства.

Много средств рекомендуется против лихорадки и малярии.

Для лечения начальной формы сахарного диабета в народной медицине Азербайджана издавна используются козлятник восточный, гранат, бузина черная, артишок, солодка, дуб обыкновенный и восточный, кизил, сумах, малина, виноград, шпинат огородный, черноголовник мохнатоплодный и многобрачный, фасоль обыкновенная, шиповник, крапива, двудомная, девясил высокий, лук, чеснок и др. Интересно отметить целый ряд растений, применяемых от укусов бешеных собак, змей, пчел, например, цикламен (сапонины), чеснок, щавель, козлятник и т. д. Отголоском арабской медицины можно считать значительное число растений, применяемых при глазных болезнях (донник, барбарис, греческий орех), для улучшения зрения — крапиву, шиповник (каротиновые). Кроме того, как и во всех народных медицинах, имеются средства от ревматизма, для лечения женских заболеваний, противоглистные и др. Известно много растений антибиотического действия. Например, от кори, грибковых заболеваний, антибактериальных и др.

Такое богатство народных знаний позволяет предполагать возможность выявления перспективных растений.

Из числа перспективных растений народной медицины свыше 25 видов нами изучались. На кафедре фармакогнозии проводились физико-химические, микроскопические и фармакологические исследования, а также подбор рациональных извлекателей для приготовления галеновых препаратов.

Этот обзор можно было бы продолжить и расширить. Но наша цель обратить внимание врачей и фармацевтов на изучение и использование богатого ассортимента лекарственных средств народной медицины Азербайджана.

AMI им. Нариманова

Поступило 14. IX 1969

Азәрбајҹанын халг тәбабәти мүхтәлифи влу дәрман биткиләрилә соң дәрәчә зәнкандир. Бурада 800-дән артыг биткидән мүхтәлиф хәстәликләрдә истифадә едилир. Биткиләрдә назырланан дәрман нөвләри вә препаратлары да өзүнүн орижиналлығы вә мүхтәлифлиji илә нәзәри чәлб едир. Узун мүддәт әрзиндә апардыгымыз тәдгигатлар көстәрир ки, Азәрбајҹанын халг тәбабәтиндә истифадә олунан биткиләр ичәрисиндә бир сыра гијмәтли вә тәбабәт үчүн перспективли биткиләр вардыр. Бунларын елми чәһәтдән һәртәрәфли өјрәнилмәсүнин чох бөјүк әһәмијәттөн вардыр. Азәрбајҹан халг тәбабәтинин ре-септурасы хүсусида нәзәри чәлб едир. Мәсәлән, дәри јараларыны (дәмров, готур, сарыјара, екзема вә с.) сагалтмагдан өтрут хүсуси нүсхәләр вардыр. Бу мәгсәдлә ајры-ајры биткиләрдән порошок, мәл-һәм, дәмләмә, биширмә, гатранлы чыхарыш (тинктура) назырламагдан башга, тәзә топламыш биткиләрдән ширәләр назырланыбы йара-ларын үстүнә гојулур. Бактерисид тә'сири биткиләрдән, мәсәлән, нар, палыц, гозагачыны йарпағы, йөвшан, хинә вә с. бу мәгсәд үчүн ишләдилүр. Харичи дезинфексијаедици дәрман мәгсәдилә гызыл күлүн сујундан (кулаб) даһа чох истифадә едилир.

Дахили хәстәликләрин мүаличәсүндә дә чох мүрәккәб вә орижи-нал ресептләр мөвчуддур. Бурада чај кими дәмләнә вә биширмәләрдән башга дестиллат, этирли сулар, спиртли чыхарышлардан истифадә олуунур. Мәсәлән, үрәк ағылары заманы иjdә вә јемишиан чичәјинин дәмләмәси, өскүрәј гарышы мејвә ширәләрндин „дошаб“ вә „бәкмәз“, хүсуси „нејва руб“ ишләдилүр. Өд кисәсүндә даш бағлајан заман шаһтәрә отундан, гарғыдалы сачагындан, бојаготу көкүндән чај на-зырлајыбы ичиirlәр. Шәкәр хәстәлијинде пәрпәрәноту, сумаг вә зогал мејвәләри, турш нарын ширәси ишләдилүр.

Азәрбајҹанын халг тәбабәтиндә эксәр биткиләрдән мә’дә-бағырсағ хәстәликләриндә, мә’дәнин һәэмольма просесини яхшылашдырмаг мәгсәди илә, яхуд исчала вә дизентерија гарышы, мә’дә јараларын-да, вәрәмдә, тәнәффүс јолларынын илтиhabында бөјрәк хәстәли-ләрндиндә вә с. истифадә олуунур. Халг тәбабәтинин дәрман биткиләрни һәртәрәфли өјрәнмәк, онларын кимjәви хасселәрни вә мүаличәчылыг елминин ән вачиб мәсәләләрндиндән биридир.

Т. ГУСЕЙНОВА

О НЕКОТОРЫХ СТИЛИСТИЧЕСКИХ ОСОБЕННОСТЯХ ТРЕТЬЕЙ СИМФОНИИ ДЖЕВДЕТА ГАДЖИЕВА

(Представлено академиком АН Азербайджанской ССР М. А. Усейновым)

Лауреат Государственной премии, народный артист республики Джевдет Гаджиев является одним из талантливейших композиторов Азербайджана. Народно-реалистические основы, выработанные в азербайджанской музыке основоположником азербайджанского профессионального музыкального искусства Узеиром Гаджибековым получили свое дальнейшее развитие в творчестве Джевдете Гаджиева (как и в музыке большого отряда видных азербайджанских композиторов), который придал им новое выражение и расширил круг своих тем и творческих задач в соответствии с требованиями нашей действительности.

Формирование творчества Гаджиева протекало в 30—40-е годы—время становления и развития азербайджанской профессиональной музыки. Прочная опора на азербайджанскую народную музыку, традиции русской музыкальной классики и лучшие достижения советской музыки обусловили „яркую художественность произведений, демократичность языка и большое профессиональное мастерство Гаджиева“.¹

Среди широкого круга затронутых композитором музыкальных жанров и форм большое место занимает симфонический жанр, являющийся наиболее близкой ему сферой высказывания, в области которого особенно примечательны его достижения.

Джевдет Гаджиев—автор целого ряда интересных симфонических произведений—таких, как Первая и Третья симфонии, симфоническая поэма „За мир“, Четвертая симфония „Памяти Ленина“ и др.

В своей симфонической музыке Гаджиев обращается к актуальнейшим темам современности. Живая действительность с ее многообразными явлениями, событиями, насыщенная борьбой народов с колониализмом, наша советская действительность, советский человек с его богатым духовным миром, оптимистическим мировосприятием—таковы темы многих симфонических произведений Гаджиева.

Третья симфония (сив—минор)—является одним из лучших симфонических произведений Джевдете Гаджиева. Написанная в 1947 г.

¹ Е. Г. Мурадова. Джевдет Гаджиев. Азерисшр, 1662, стр. 3.

симфония была представлена молодым композитором в качестве дипломной работы при окончании Московской консерватории (сочинение было оценено на "отлично").

Третья симфония сыграла определенную роль в эволюции стиля Гаджиева.

Светлый и очень рельефный материал симфонии, ее яркий национальный колорит, художественные образы, отдельные стилистические особенности явились отражением многих характерных черт музыки Гаджиева конца тридцатых и сороковых годов. Этим произведением завершается ранний период творчества композитора, период полных настойчивых поисков в области создания современного, национального по духу произведения. Это сочинение в определенной степени вобрало в себя и преломило ряд черт, выраженных в произведениях композитора, окружающих симфонию.

В Третьей симфонии окончательно определяется и становится ведущей (в его зрелом творчестве) излюбленная тема композитора — образ нашего современника, человека советской эпохи с его богатым внутренним миром, воплощающего в себе характерные черты нашей советской действительности. И в каждом из его сочинений эта тема (образ советского человека — труженика, неутомимого борца за мир) воплощается в самых различных образно-драматургических аспектах, приобретая с каждым разом все большее "общественное и этическое звучание".

На характере музыки Третьей симфонии, ее образно-эмоциональном содержании существенно сказалась атмосфера конца 40-х годов в нашей стране. Это были годы огромного духовного подъема советских людей, одержавших победу в Великой Отечественной войне, время небывалого трудового энтузиазма и устремленности к большим свершениям. И музыка симфонии пронизана как бы живым дыханием, бурным ритмом живой действительности; она излучает энергию, оптимизм советского человека (отсюда существенное значение народно-массовых жанров, к которым обращается композитор для воплощения стихий народно-массовых картин). Утверждение жизни, ее светлых сторон путем показа контрастных явлений в самых различных жизненных ситуациях — такова общая концепция Третьей симфонии.

Это произведение привлекает внимание стройностью конструкции. В целом симфония представляет собой трехчастный цикл, имеющий, однако, элементы четырехчастного построения: скерцозная середина второй медленной части является как бы самостоятельной частью симфонического цикла (скерцо симфонии).

Драматургия симфонии основывается на широком показе, сопоставлении и развитии различных тем-образов на протяжении всего цикла. Части цикла, контрастные между собой, вместе с тем, отличаются большим внутренним единством. Целостности цикла способствуют многочисленные образные и интонационно-тематические связи.

Отточенность и уравновешенность композиционных пропорций, лаконизм выражения мысли, ясная группировка тематизма, динамичное целеустремленное развитие — эти качества симфонии приближают ее к классическим образцам симфонизма. Но Дж. Гаджиев, опираясь на традиции азербайджанского искусства, творчески и вместе с тем, свободно использует принцип классической симфонии.

Третья симфония, своеобразно сочетающая в себе эпическое и психологическое начало, еще далека от монументальных философских глубоких концепций зрелого Гаджиева, но тем не менее здесь определяются некоторые черты его симфонического мышления, принцип

формообразования и развития тематизма. В становлении и развитии тематизма симфонии уже заметную роль играют вариационные принципы развития, являющиеся важнейшим средством развития, образов этого произведения. При этом вариационный метод развития осуществляется композитором в разнообразном плане.

1. Темброво-фактурная вариационность.
2. Свободная песенно-мелодическая вариантность, тесно связанная с принципом вариантности в азербайджанской народной музыке.

3. В симфонии имеет место и более сложный метод вариационного преобразования, когда в результате активного вариационного развития тема приобретает совершенно новые качества, превращаясь в новый художественный образ.

В Третьей симфонии обнаруживается заметно возросшее мастерство Гаджиева в полифонических приемах развития. Полифония — один из ведущих факторов музыкального формообразования, приобретает важнейшее значение в симфонической драматургии этого цикла, способствующая всестороннему раскрытию его идеино-образного содержания. Высокая полифоническая культура, свойственная его многим крупным произведениям, обусловлена, с одной стороны, глубокими связями с "полифоническим потенциалом" народного искусства, а с другой стороны, благотворным влиянием полифонического искусства Дмитрия Шостаковича и полифонических традиций русской школы, например, Танеева, Чайковского, Скрябина.

В музыке Третьей симфонии мы сталкиваемся с различными видами полифонической разработки тематизма. Здесь мы находим примеры остинатной полифонии, уходящей своими корнями в азербайджанское народное инструментальное искусство. Композитор прибегает к сложным разновидностям остинатно-полифонических образований. Следует отметить, что скрытые в азербайджанской народной музыке элементы полифонического многоголосья находят свое интересное и своеобразное развитие в музыке композитора, превращаясь в одно из самых активных средств в раскрытии образного содержания музыки.

В разработке тематизма симфонии существенную роль играют приемы имитационной полифонии. При этом он прибегает к самым различным типам имитаций, каждая из которых играет определенную драматургическую роль в становлении и развитии художественных образов этого произведения.

В динамическом развертывании интонационно-тематического материала симфонии заметную роль играет и наиболее сложная разновидность имитационного письма — канон. Канонические образования, сосредоточиваясь в основном в разработочных частях цикла, появляются в наиболее "ответственных" и напряженных участках симфонического развертывания, непосредственно участвуя при больших нарастаниях, подготавливая кульминационные вершины.

В симфонии Гаджиева мы находим развернутые подголосочные формы полифонии (главным образом во II части симфонии). Причем, подголосочная ткань в таких построениях, представляющая собой ансамбль развернутых мелодических линий с широким "интонационным профилем", всегда заметно активизирует общий процесс интонирования.

В симфонии отмечаются и примеры использования композитором контрастно-полифонических приемов. Контрастно-полифонические образования в данном сочинении направлены не на выявление каких-либо конфликтных, противоборствующих сил, а на создание единого и целостного образа.

* * *

В музыке симфонии обнаруживаются многообразные связи с азербайджанским национальным искусством. Не прибегая к цитированию подлинных фольклорных оборотов, Гаджиев глубоко индивидуально и свободно преломляет традиции азербайджанского народного искусства.

Национальное начало в симфонии проявляется в трех основных качествах:

1. В претворении отдельных характерных особенностей жанров азербайджанской народной музыки, таких, как мугам, азербайджанская лирическая песня, народное танцевальное искусство.

2. В ладово-интонационной основе тематизма симфонии.

3. В принципах мелодического развертывания.

Интонационный материал симфонии обнаруживает тесные связи с национальными ладами азербайджанской народной музыки. Как известно, в азербайджанской музыке ладовые проявления очень интересны и многообразны. Отлично ощущая природу национальных ладов, композитор обогащает народно-национальную ладовую систему, пользуясь ею в симфонии как активным средством формообразования. Вслушиваясь в музыку симфонии, мы сталкиваемся с интересной и выразительной системой активного развития ладов, глубоко национальных по своей структуре. Здесь мы легко ощущаем интонационную природу азербайджанских ладов (с характерными для них мелодическими оборотами и опеванием устоев) таких, как "Чаргях", "Сегях", "Раст", "Шур". Более того, для обогащения мелодической ткани композитор часто прибегает к принципу ладовых отклонений (модуляций). "Переливы" разноплановых по выразительному значению ладов в большой степени освежают мелодизм симфонии, вносят новые оттенки в ее эмоциональный строй.

Важно отметить, что Гаджиев не ограничивается лишь показом той или иной стороны лада, его отдельных интонационных проявлений; национальная ладовость симфонии выступает в органическом синтезе с современной интонационной сферой.

Такова тема главной партии финала, где композитор интересно соединяет национально-ладовые элементы с интонациями советских массовых песен.

Гармонический язык симфонии определяется во многом тесной взаимосвязью с национально-ладовой спецификой этого сочинения. Нередко гармонические функции обогащаются элементами народных ладов, т. е. включением в гармонические комплексы отдельных ступеней звукоряда ладов (например, в главной, побочной партиях I части). Часто наблюдаются в симфонии секундовые и кварт-квинтовые созвучия, своими истоками идущие в ашугскую инstrumentальную музыку, также гармонии субдоминантовой сферы.

Национальный элемент в тематизме симфонии проявляется и в принципах мелодического развития. Известно, что народно-национальной азербайджанской музыке (большей частью) свойственно секвентно-вариантное развертывание небольших мелодических звеньев, часто сочетающихся с активным мелизматическим "оплетанием" мелодической линии. Помимо этого, в развитии мелодизма азербайджанской музыки характерной чертой является и вариантная повторность кратких мелодических ячеек, которые варьируются одновременно и ритмически.

В мелодическом развитии тематизма симфонии описанные выше свойства азербайджанской народной музыки находят свое яркое выражение.

Т. М. Һүсейнова

Чөвдәт Һачыјевин Учүнчү симфонијасының бә’зи
хүсусијәтләри

ХУЛАСӘ

Дөвләт мұкафаты лауреаты, республиканы халг артисти Чөвдәт Һачыјев Азәрбајчаның исте’дадлы бәстәкарларындан бириди. Үзејир Һачыјевла Азәрбајчан профессионал мусиги сәнәтинин классики халг реалист ән’әнәләри Чөвдәт Һачыјевин Яарадычылығында өзүнүң сонракы инкишафыны тапмышыр. О, бу ән’әнәләре јени мәэмүн вермиш вә мұасир дөврүн тәләбләринә көрә өз ѡарадычылығы даирәсіни кенишләндирмишdir. Бәстәкарын йарадычылығында мұхтәлиф мусиги жаңрлары вә формалары да инкишаф етмишdir. Симфоник жаңр саһәсіндә онун наилијәтләри хүсусилә бөյүкдүр.

Ч. Һачыјевин йарадычылығында Учүнчү симфонија хүсуси јер тутур. Бәстәкарын дүнјакөрушүнүң әсас хүсусијәтләри — Совет халгынын һәјат сәһнәләри, никбин руһы, ѳарадычылығ гүввәти бу әсәрдә кениш шәкилдә шәрһ олунмушшур. Учүнчү симфонија Ч. Һачыјев үсүлбунун инкишафында мүәјжән рол ојнамышыр. Бу әсәрдә мүәллифин симфоник тәфәккүрү, формааратма принципләри, тематизмниң инкишафы өз әксини тапмышыр. Учүнчү симфонијаның полифоник приложмарының инкишафында Ч. Һачыјевин усталығы бир даһа өзүнү көстәрир.

Симфонијада Азәрбајчан милли мусигисинин сый әлагәси һисс олунур. Бунунда белә, мүәллиф фолклордан ситатлар кәтирмир, онун көзәл ән’әнәләриндән мәһәрәтлә истифадә едир.

УДК 9.001

ИСТОРИЯ НАУКИ

М. Н. РАГИМОВА, И. Р. СЕЛИМХАНОВ

К ХИМИЧЕСКОМУ ИССЛЕДОВАНИЮ НЕКОТОРЫХ ДРЕВНИХ
МЕДНО-СВИНЦОВЫХ ИЗДЕЛИЙ КАВКАЗА

(Представлено академиком АН Азербайджанской ССР М. А. Каракаем)

В древности, свинец наряду с медью широко применялся в быту народов Закавказья. Это объясняется прежде всего тем, что месторождения свинцовых руд—свинцового блеска (PbS) и церуссита ($PbCO_3$) в пределах Большого и Малого Кавказа имеют большое распространение [2], а выплавка из них металлического свинца может производиться весьма примитивным способом. В древности его выплавляли из свинцового блеска или из белой свинцовой руды—церуссита в глиняных сосудах.

В Закавказье, по имеющимся у нас данным, древнейшие изделия из свинца найдены в памятниках III тыс. до н. э. [3], а в Турции—на поселении Чатал-Уйюк, датированном VII—VI тыс. до н. э. [4].

Химические анализы древних медных сплавов показали, что свинец в древние времена применялся в качестве приплава к меди вместо дефицитного олова [5].

По анализам М. Берто [6], найденная в Уре „статуэтка женщины, держащей на голове корзину“, датированная 2600 лет до н. э., отлита из медно-свинцового сплава, содержащего около 18% свинца.

В древнем Египте медно-свинцовые сплавы использовали для отливки украшений, сосудов и предметов ритуального назначения [7].

По нашим спектральным анализам, среди кавказской бронзы мало сплавов меди со свинцом (таблица).

Предметы содержат 0,64—2,4% свинца, 0,009—0,2% олова, 0,04—0,46% мышьяка, а прочих элементов еще меньше.

Ограниченнное применение для легирования одного свинца без других приплавов, объясняется тем, что сплавы меди со свинцом не обладают необходимой прочностью [8]. Отливки из свинцовой бронзы поддаются ковке только вхолодную, что затрудняло их отковку. Приготовление же свинцовой бронзы с большими долями свинца требует специального мастерства, так как из-за разницы удельных весов меди (8,93) и свинца (11,34) легко происходит расслаивание жидкого металла. Поэтому только при малых присадках одного свинца отливки получаются однородными, а при больших он вытапливается из меди. Присутствие других добавок уменьшает вероятность его чрез-

Результаты спектрального анализа медно-свинцовых предметов

№ п/п	Предмет	II тыс. до н. э.												III—I тыс. до н. э.																
		Cu	Sn	Pb	Zn	As	Sb	Ag	Au	Bi	Ni	Co	Fe	Mo	P	Os _{II}	O _{II}	Sn	Pb	Zn	As	Sb	Ag	Au	Bi	Ni	Co	Fe	Mo	P
1	Наконечник стрелы, вес 6 г	97,5	0,25	1,3	0,2	0,1	0,04	0,002	0,05	0,08	0,01	0,004	0,09	0,01	0,05	0	0	0	0	0	0	0	0	0	0	0	0	0	0	
2	Наконечник стрелы, вес 3,9 г	95,7	0,015	2,4	0,2	0,13	0,05	0,026	0	0,016	0,07	0,014	0,16	0	0	0	0	0	0	0	0	0	0	0	0	0	0	0		
3	Браслет, вес 12 г	96,78	0,0N	1,61	0,0N*	0,28	0,0N	+**	0,001	0,00N	0,0N	0,0N	—***	—	—	—	—	—	—	—	—	—	—	—	—	—	—	—	—	
4	Браслет, вес 48 г	95,70	0,0N	0,77	0,21	0,46	0,0N	+	0,001	0,00N	0,0N	0,0N	—	—	—	—	—	—	—	—	—	—	—	—	—	—	—	—	—	
5	Браслет, вес 54,5 г	98,54	0,009	0,64	0,21	0,04	0,07	+	0	0,001	0,007	0,005	—	—	—	—	—	—	—	—	—	—	—	—	—	—	—	—	—	
6	Меч																													

Причина 1—из раскопок И. И. Мешанинова в Кызыл-Ванке (Нах. АССР); 2—внекомплексная находка на холме Узун-тепе, сел. Новогорка (Азерб. ССР); 3—внекомплексная находка на холме Узун-тепе, в сел. Хачбулаг Азерб. ССР; 4, 5—из раскопок Г. И. Ионе в Минигенчуре, курган 1*, 6—внекомплексная находка, там же.

* / N — величина от 1 до 10;
** / + — элемент присутствует;
*** / — — элемент отсутствует.

мерной ликвации, которая портит отливку ([8], стр. 431). Ф. Тавадзе и Т. Сакварелидзе [9] отметили отсутствие в медно-свинцовых сплавах явления расслаивания. Это они объясняют тем, что в данных сплавах, видимо, кроме свинца содержатся большие примеси других элементов. Поэтому наблюдается присутствие больших долей свинца преимущественно в медных изделиях с приплюсами, например, мышьяка, сурьмы, олова, цинка и др. В данном случае свинец играет роль частичного заменителя дефицитного олова.

На Кавказе медно-свинцовые изделия с приплюсами и других элементов бытуют с III тыс. до н. э.

Согласно результатам спектрального анализа некоторых медно-свинцовых бронз с приплюсами других металлов можно заключить, что: 1) в медно-свинцовых сплавах III тыс. до н. э. и III-II тыс. до н. э. свинец содержится в меди совместно с мышьяком (Pb 3,6–14,7%; As 1,5–6,0%); 2) в медно-свинцовых сплавах II тыс. до н. э. наряду со свинцом в меди много олова (Pb 5,5–6,8%, Sn 2,5–5,1%); 3) в медно-свинцовых сплавах II-I тыс. до н. э. свинец в меди содержится одновременно с оловом, мышьяком и сурьмой (Pb 2,64–19,5%; Sb 0,2–2,91%; Sn 0,89–13,67%; As 0,4–1,4%); 4) в медно-свинцовых сплавах I–IV вв. н. э. зачастую наблюдается большое количество цинка (до 7,0%).

ЛИТЕРАТУРА

1. Лурье И., Ляпунова К., Матье М. Пиотровский Б., Флитнер Н. Очерки по истории техники древнего Востока. Изд. АН СССР, М.-Л., 1940 стр. 199.
2. Эфендиев Г. Х. Гидротермальный рудный комплекс сев.-вост. части Малого Кавказа. Изд-во АН Азерб. СССР, 1957.
3. Абубулатов О. А. Энеолитическая культура Азербайджана. Материалы по археологии Дагестана, Махачкала, 1961, стр. 68.
4. Mellart J. Excavations at Catal-Huyuk, 1963. Third Preliminary Report. "Anatolian Studies", vol. XIV, 1964.
5. Кашкай М. А., Селимханов И. Р. Исследование металлических изделий древнего Миннечаура эпохи развитой бронзы. Изд-во АГУ, 1959, стр. 29.
6. Bergelot M. Archeologie et Histoire des Sciences, Amsterdam, philopress, 1968, стр. 79. Reprinted from, 1906.
7. Лукас А. Материалы и ремесленные производства древнего Египта. Лондон, 1948, стр. 375–376.
8. Бочвар А. А. "Металловедение". Металлургизд., 1956, стр. 431, 473.
9. Тавадзе Ф., Сакварелидзе Т. Бронзы древней Грузии. Изд-во АН Груз. ССР. Тбилиси, 1959, стр. 50–51.

Институт истории

Поступило 18. X 1969

М. Н. Рәнимова, И. Р. Сәлимханов

Гафгазын бә'зи гәдим мис-гургушун мә'мұлаттарынын кимjәви.
тәдгигинә даир

ХУЛАСӘ

Археологи абидәләрин тәдгиги көстәрди ки, гәдим дөврдә гургушун да мис илә бәрабәр мәишәтиң бириңи металларындан олмуш-дур.

Элдәки мә'луматлара көрә, Загафазијада гургушундан илк дәфә назырланныш гәдим әшжалар бизим ер. әв. III миниллијә аид абидәләрдән әлдә едилмишdir. Гәдии мис әринтиләринин кимjәви тәдгигидән айынлашды ки, гәдимдә баһалы метал олан галајы әвәз ет-мәк үчүн онун мис илә әринтисиндән истифадә едирмишләр.

Тәдгигатлар нәтижесинде биз Гафгаз түнчлары ичәрисинде 6 әшja

аярымышыг. Хронология әсасен онлар бу шәкилдә јөрләшдирил-мишdir: а) ер. әв. II миниллијинә аид 1 әшja; б) ер. әв. II—I минил-никләр аид 5 әшja.

Анализләр көстәрди ки, әшжаларын тәркибиндә гургушун 0,64–2,4, галај 0,009–0,2, мәркүш 0,04–0,46% вә чүз'и мигдарда дикәр ашгар-лар варды.

Гургушунун мәһдуд һалда тәтбиғ едилмәси, бу әринтини лазыны давамлылыға малик олмасы, сојуг һалда дөјүлүб назырланнымасы вә мүхтәлиф хүсуси чәкијә малик олмасы тәдричән араданчыхма просесини баш вермәси илә әлагәдәрдүр. Башга әринтиләрин, мәсәлән, мәркүш, сурмә, галај, синк вә с. әlavә едилмәси араданчыхма про-cessини арадан галдырыр. Мис-гургушун әшжаларында һәмин элемент әринтиләринин лазыны мигдарда олмасы буныла изаһ едилir.

Палеонтология

Ч. Э. Элескеров. Абшерон мартебэси <i>Pseudocatillus Andrušow</i> чинснини филогенезинэ дайр	57
--	----

Нефт қеолокијасы

А. С. Начы-Гасымов, Э. А. Чавадов. Азэрбајҹан нефтинин мұхтәлиф фраксијаларында метаморфизм дәрәчәси	61
--	----

Битки анатомијасы

З. Э. Новрузова. Екологи шәрәнтлә әлагәдар олараг бә'зи јемишан (<i>Crataegus L.</i>) чинсләриндә зөғларының әмәләкәлмә хүсусијәтләри	66
---	----

Микробиология

Т. А. Мартirosова-Мелкумова, В. Ч. Тарыев. Мұхтәлиф фәал жумручуг бактерија штаммларының изоелектрик зонасының өјрәнилмәсі	70
--	----

Биткичилик

С. Ж. Элијев. Гараганлы-Јөвшанлыг јарымсәһрасының ефемер сипузијасында көк күтләснини, сәтнини вә узуилуғуну пајлаимасы	73
---	----

Торпагшұнаслыг

Ш. М. Гулијев. Бөյүк Гафгазын (Азэрбајҹан ССР) бә'зи торпагларында мангандың вә борун мұтаһәрrik формасының мигдары	78
---	----

Торпагшұнаслыг

С. Гурбапов. Дағәтәни дүзәнливкәдә јералты суларын режиминдең асылы олараг, мелиоратив шәрәнтиң дејишилмәсі	82
---	----

Фармакология

И. А. Дамиров, Ч. З. Шукuros. Азэрбајҹан халғ тәбабетиниң бә'зи перспектив биткиләри	85
--	----

Мусиги инчәсәнәти

Т. М. Һүсеинов. Чөвдәт Ычајевин Учунчү симфонијасының бә'зи хүсусијәтләри	89
---	----

Елм тарихи

М. Н. Рәһимова, И. Р. Сәлиханов. Гафгазын бә'зи гәдим мис-гур-гушун мәмұлатларының кимжәви тәдгигине дайр	94
---	----

МУНДӘРИЧАТ

Ријазијјат

Э. И. Ибраһимов, Н. Н. Сәфәров, Т. М. Һәмидов. Үфги боруларда гарышылыгы һәлл олмајан маје гарышының һәрәкәти һагында	3
Р. С. Эфедиев. Бир өлчүсү галан өлчүләринең иисбәтән чох кичик олан областларда 2 m тәртиби сабит әмсаллы еллиптик типли тәнглик үчүн гојулмуш сәрхәд мәсәләснини кичик параметрә көрә асимптотикасы	9

Астрономија

М. Э. Мәммәдов. Һипотетик каметләрин кәмијјәт анализинең көрә каметләрин әмәлә кәлмәсі һагында олан иәзәрийәләрин тәдгиги	15
---	----

Физика

Ә. Н. Рустэмов, И. К. Қаримов, Л. М. Вәлиев, С. Х. Баһаев, П. Г. Ибраһимова. Мангандың вә никел теллуридләри монокристалларының електрик хассәләри	19
--	----

М. Э. Һәшилов, М. А. Мәммәдов, Т. Н. Мәммәдзәдә, З. Д. Нуријева. «Гарадағиенф» нефт емулсијасының адсорбсијаедици тәбәгәнниң давамлылығындан асылы олараг деемулсија просесинин өјрәнилмәсі	22
---	----

Аналитик кимја

Н. Б. Шаттахтински, Н. А. Асланов, К. А. Чәфәров. Арсенат методу илә барнум вә стронциум бир јердә олдугда онларың јодометрик тә'јини	27
---	----

Кимја

Ф. Н. Мәммәдов, Н. Р. Султанова, Ф. А. Мәммәдов. Тиофенолун маних әсасы илә конденсацијасы	32
--	----

Ұзын кимја

С. Д. Мендиев, У. Певин, Н. П. Куриосова, М. А. Шаһкәлдинев. Толуолун спиклоhekсанлашмасы заманы онун реаксија габилијәти вә ориентасијасы	36
--	----

Р. Н. Исмайлов, Р. С. Элимәрданов, Ж. А. Устынук, Е. Х. Мустафаев. Сулфат түршүсүнүн иштиракы илә ортометакситолуолун про-пиленлә алкилләшмәсі	39
--	----

С. И. Мендиев, М. А. Далин, Ж. Ч. Сәфәров, А. Н. Һүсеинов. Аммоијакын метакрилнитрилә бирләшмә реаксијасының тәдгиги	46
--	----

Кеолокија

Г. Р. Элијев. Гум дәнис структурунда нефтгазлылыг перспективлији илә әлагәдар олараг ГАД-ын нефт вә газ јатагларының јајылма хүсусијәтләри һагында	51
--	----

МУНДЭРИЧАТ

Ријазијјат

Э. И. Ибраһимов, Н. Н. Сәфәров, Т. М. Нәмидов. Уғы борулар-да гарышылыглы һәлл олмајан маје гарышынын һәрәкәти һагында 3

Р. С. Эфәнидиев. Бир өлчүсү галан өлчүләриңе иңбәтән чох кичик олан областларда 2 м тәртибли сабит эмсаллары еллиптик түпли тәнлик учун гојулмуш сәрһәд мәсәләсинин кичик параметрә көрә аснитотикасы 9

Астрономија

М. Э. Мәммәдов. Һипотетик камелләрни кәмијјэт анализине көрә камет-ләрни эмәлә көлмәси һагында олан иәзәрийјеләрин тәдгиги 15

Физика

Ә. Н. Рустэмов, И. К. Кәримов, Л. М. Вәлиев, С. Х. Бајаев, П. Г. Ибраһимова. Мангани, дәмир вә никел теллуридләри монокристалла-рынын электрик хассасләри 19

М. Э. Нәшилов, М. А. Мәммәдов, Т. Н. Мәммәздәдә, З. Д. Нуриева. «Гараадағнефт» нефт емулсијасынын адсорбсијаедиң тәбәгәнин да-вамлылыгындан асылы олараг деемулсија просесинин өјрәнилмәси 22

Аналитик кимја

Н. Б. Шаһтахтински, Н. А. Асланов, К. А. Чәфәров. Арсе-нат методу илә бариум вә стронциум бир јердә олдугда онларын јодометрик тә'жини 27

Кимја

Ф. Н. Мәммәдов, Н. Р. Султанова, Ф. А. Мәммәдов. Тиофенолун маних эсасы илә конденсасијасы 32

Үзви кимја

С. Д. Мәһдиев, У. Певин, Н. П. Қуриосова, М. А. Шаһкәлди-јев, Толуолун сиклоексанлашмасы заманы онун реаксија габилијјети вә ориен-тасијасы 36

Р. Н. Исаев, Р. С. Элимәрданов, Ж. А. Устынук, Е. Х. Мустафаев. Сулфат туршусунун иштиракы илә ортометакситолуолун про-цисленлә алкиллашмәси 39

С. И. Мәһдиев, М. А. Далин, Ж. Ч. Сәфәров, А. Н. Нүсеинов. Аммојакын метакрилнитрилә бирләшмә реаксијасынын тәдгиги 46

Кеолоџија

Г. Р. Элиев. Гум дәниз структурунда нефтгазлылыг перспективлији илә әлагәдар олараг ГАД-ын нефт вә газ јатагларынын яјылма хүсүннәтләри һаг-ында 51

Палеонтолоџија

Ч. Э. Эләскәров. Абшерон мәртәбәсі *Pseudocatillus Andrušow* чинслини филокенезинә даир 57

Нефт қеолоџијасы

А. С. Һачы-Гасымов, Э. А. Чавадов. Азәрбајҹан нефтиниң мұхтәлиф фраксијаларында метаморфизм дәрәчәси 61

Битки анатомијасы

З. Э. Новрузова. Еколоџи шәрәнтлә әлагәдар олараг бә'зи јемишан (*Crataegus L.*) чинсләриндә зөгларын әмәләкәлмә хүсүннәтләри 66

Микробиолоџија

Т. А. Мартirosова-Мелкумова, В. Ч. Тағыев. Мұхтәлиф фәал јумрұчуг бактерија штаммларының изоелектрик зонасының өјрәнилмәси 70

Биткичилек

С. Џ. Элиев. Гараганлы-յөвшанлыг жарымсәһрасының ефемер сипузијасында көк күтләснин, сәтнин вә узуулуғын пајланмасы 73

Торпагшұнаслыг

Ш. М. Гулиев. Бөйүк Гафгазын (Азәрбајҹан ССР) бә'зи торпагларында мангай вә боруи мұтәһәрик формасының мигдары 78

Торпагшұнаслыг

С. Гурбапов. Дағатәji дүэлилекдә јералты суларын режиминде асылы олараг, мелиоратив шәрәнтиң дәжишилмәси 82

Фармаколоџија

И. А. Дәмиров, Ч. З. Шукурев. Азәрбајҹан халг тәбабәтинин бә'зи перспектив биткиләри 85

Мусиги инчәсәнәти

Т. М. Нүсеинов. Чөвдәт Һачыевин Үңүнчү симфонијасының бә'зи хүсүннәтләри 89

Елм тарихи

М. Н. Рәһимова, И. Р. Сәлимханов. Гафгазын бә'зи гәдим мис-гур-гушун мә'мұлатларының кимјәви тәдгигина даир 94

СОДЕРЖАНИЕ

Математика

Э. И. Ибрагимов, Г. Г. Сафаров, Т. М. Гамидов. Об установившемся движении гетерогенных смесей в горизонтальных трубах	3
Р. С. Эфедиев. Асимптотика решения по малому параметру краевой задачи эллиптического уравнения 2-го порядка в тонких областях	9

Астрономия

М. А. Мамедов. Анализ некоторых гипотез происхождения комет на основании результатов численного анализа гипотетических комет	15
--	----

Физика

А. Г. Рустамов, И. Г. Керимов, Л. М. Валиев, С. Х. Бабаев, П. Г. Ибрагимова. Электрические свойства монокристаллов теллуридов марганца, железа и никеля	19
М. А. Ашимов, М. А. Мамедов, Т. Н. Мамедзаде, З. Д. Нуриева. Исследование процесса дезэмulsации нефтяных эмульсий НПУ «Карадагнефть» в зависимости от прочности адсорбционной пленки	22

Аналитическая химия

Г. Б. Шахтахтинский, Г. А. Асланов, Г. А. Джазаров. Арсенатный метод юодометрического определения бария и стронция при их совместном присутствии	27
--	----

Химия

Ф. Н. Мамедов, Н. Р. Султанова, Ф. А. Мамедов. Конденсация тиофенола с основаниями Манниха	32
--	----

Органическая химия

С. Д. Мехтиев, Н. П. Курикова, М. А. Шахгельдиев. Реакционная способность и ориентация при циклогексилировании толуола	36
Р. Г. Исмаилов, Р. С. Алимарданов, Ю. А. Устинюк, Э. Х. Мустафаев. Алкилирование ортометокситолуола пропиленом в присутствии серной кислоты	39
С. И. Мехтиев, М. А. Далин, Ю. Д. Сафаров, А. Г. Гусейнов. Исследование реакции присоединения аммиака к метакрилонитрилу	46

Геология

Г. А. Алиев. Особенности распределения залежей ПК свиты месторождения Песчаный-море в связи с перспективами нефтегазоносности ее	51
--	----

Палеонтология

Дж. А. Алекскеров. К вопросу о филогене аштеронского рода <i>Pseudocatillus Andrussov</i>	57
---	----

Геология нефти

А. С. Гаджи-Касумов, А. А. Джавадов. О степени метаморфизма различных фракций нефти Азербайджана	61
--	----

Анатомия растений

З. А. Новрузова. Особенности формирования побега представителей рода боярышника в связи с экологией	66
---	----

Микробиология

Т. А. Мартиросова-Мелкумова, В. Д. Тагиев. Изучение изозелектрической зоны различных по активности штаммов клубеньковых бактерий	70
--	----

Растениеводство

С. Ю. Алиев. Распределение массы, поверхности и длины корней у синузии эфемеров в карганино-полынной полупустыне	73
--	----

Почвоведение

Ш. М. Кулев. Содержание подвижных форм марганца и бора в некоторых почвах Большого Кавказа (в пределах Азербайджана)	78
--	----

С. А. Курбанов. Изменение мелиоративных условий в связи с режимом уровня грунтовых вод на примере подгорной равнины	82
---	----

Фармакология

И. А. Дамиров, Д. З. Шукюров. Некоторые перспективные растения народной медицины Азербайджана	85
---	----

Искусство музыки

Т. Гусейнова. О некоторых стилистических особенностях третьей симфонии Джевжета Гаджиева	89
--	----

История науки

М. Н. Рагимова, И. Р. Селимханов. К химическому исследованию некоторых древних медно-свинцовых изделий Кавказа	94
--	----

49 коп.

WILSON AND SCHAFFER

Индекс
76355